



# Constructie Berekening

## KLANT

Xtensief BV

## GEMAAKT DOOR

Theo Meijer Constructeur HTI

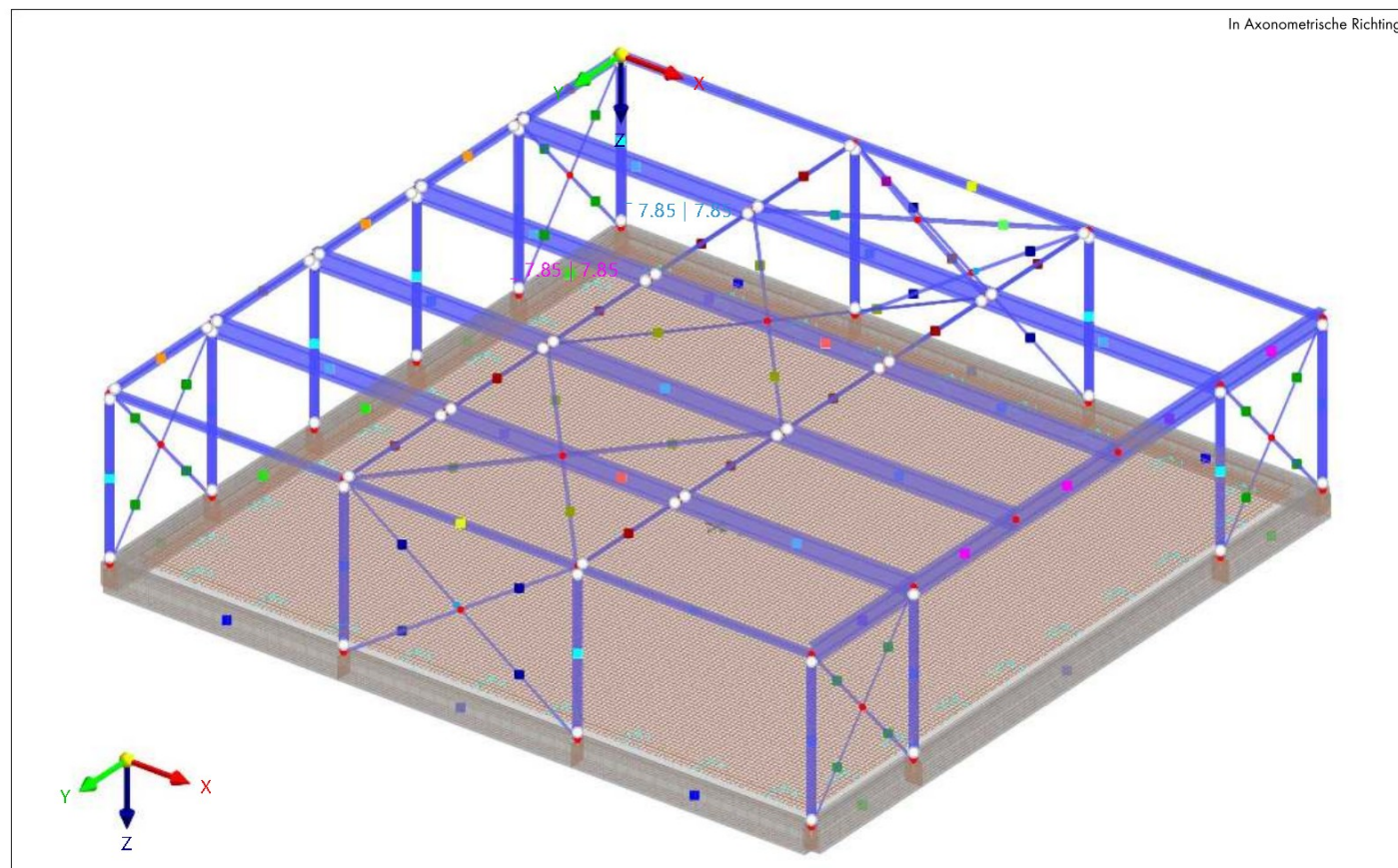
## Hoofdstukken

|   |                                |   |    |
|---|--------------------------------|---|----|
| 1 | Basis Objecten                 | ■ | 3  |
| 2 | Types voor Vlakken             | ■ | 4  |
| 3 | Types voor Betonontwerp        | ■ | 4  |
| 4 | Belastinggevallen & Combina... | ■ | 5  |
| 5 | Last Wizards                   | ■ | 25 |
| 6 | Lasten                         | ■ | 39 |

## PROJECT

Beek- en Donk, nieuwbouw tankstation Esso Visser

## MODEL



## INHOUD

|       |  |    |        |   |    |
|-------|--|----|--------|---|----|
| A     | Model - Location                             | 3  | 6.1    | BG1 - Eigen Gewicht + Permanent                         | 39 |
| B     | Belastinggevallen & Combinatie Instellingen  | 3  | 6.1.1  | Vlaklasten  | 39 |
| 1     | Basis Objecten                               | 3  | 6.1.2  | BG1: Belasting, In Axonometrische Richting              | 40 |
| 1.1   | Materialen                                   | 3  | 6.2    | BG2 - Sneeuw  | 40 |
| 1.2   | Doorsnedes                                   | 3  | 6.2.1  | BG2: Belasting, In Axonometrische Richting              | 40 |
| 1.3   | Diktes                                       | 4  | 6.3    | BG3 - Wind Loodrecht op Wand 1 (A-B)   0°   Geval w+    | 41 |
| 1.4   | Vlakken                                      | 4  | 6.3.1  | BG3: Belasting, In Axonometrische Richting              | 41 |
| 1.5   | Model, In Axonometrische Richting            | 4  | 6.4    | BG4 - Wind Loodrecht op Wand 1 (A-B)   0°   Geval w-    | 41 |
| 2     | Types voor Vlakken                           | 4  | 6.4.1  | BG4: Belasting, In Axonometrische Richting              | 41 |
| 2.1   | Steenvlakken                                 | 4  | 6.5    | BG5 - Wind Loodrecht op Wand 2 (B-C)   90°   Geval w+   | 42 |
| 3     | Types voor Betonontwerp                      | 4  | 6.5.1  | BG5: Belasting, In Axonometrische Richting              | 42 |
| 3.1   | Vlakwapening                                 | 4  | 6.6    | BG6 - Wind Loodrecht op Wand 2 (B-C)   90°   Geval w-   | 42 |
| 3.2   | Betonduurzaamheden                           | 5  | 6.6.1  | BG6: Belasting, In Axonometrische Richting              | 42 |
| 3.3   | Wapeningsrichtingen                          | 5  | 6.7    | BG7 - personen  | 43 |
| 4     | Belastinggevallen & Combinaties              | 5  | 6.7.1  | Knooplasten   | 43 |
| 4.1   | Belastinggevallen                            | 5  | 6.7.2  | Staaflasten   | 43 |
| 4.2   | Acties                                       | 6  | 6.7.3  | BG7: Belasting, In Axonometrische Richting              | 43 |
| 4.3   | Ontwerpsituaties                             | 6  | 6.8    | BG8 - Wind Loodrecht op Wand 3 (C-D)   180°   Geval w+  | 44 |
| 4.4   | Actiecombinaties                             | 7  | 6.8.1  | BG8: Belasting, In Axonometrische Richting              | 44 |
| 4.5   | Belastingcombinaties                         | 18 | 6.9    | BG9 - Wind Loodrecht op Wand 3 (C-D)   180°   Geval w-  | 44 |
| 4.6   | Statische Berekeningsinstellingen            | 24 | 6.9.1  | BG9: Belasting, In Axonometrische Richting              | 44 |
| 4.7   | Stabiliteit Berekeningsinstellingen          | 24 | 6.10   | BG10 - Wind Loodrecht op Wand 4 (D-A)   270°   Geval w+ | 45 |
| 4.8   | Combinatiewizards                            | 25 | 6.10.1 | BG10: Belasting, In Axonometrische Richting             | 45 |
| 4.8.1 | Combinatiewizards - Begintoestand Onderdelen | 25 | 6.11   | BG11 - Wind Loodrecht op Wand 4 (D-A)   270°   Geval w- | 45 |
| 5     | Last Wizards                                 | 25 | 6.11.1 | BG11: Belasting, In Axonometrische Richting             | 45 |
| 5.1   | Staaflasten van Vlaklast                     | 25 | 6.12   | BG16 - Veranderlijk b.g.                                | 46 |
| 5.2   | Windlasten                                   | 26 | 6.12.1 | Vlaklasten  | 46 |
| 5.2.1 | Windlasten - Wind in Richting                | 26 | 6.12.2 | Vrije Geconcentreerde Lasten                            | 46 |
| 5.2.2 | Windlasten - Belaste Wand/Dak                | 26 | 6.12.3 | Vrije Rechthoekige Lasten                               | 46 |
| 5.2.3 | Windlasten - Genereer in Belastinggevallen   | 26 | 6.12.4 | BG16: Belasting, In Axonometrische Richting             | 46 |
| 5.2.4 | Windlasten - Parameters                      | 27 |        |   |    |
| 5.2.5 | Windlasten - Resultaten                      | 27 |        |   |    |
| 6     | Lasten                                       | 39 |        |   |    |

A

## MODEL - LOCATION

## Locatie



|              |                 |
|--------------|-----------------|
| Land         | : Nederland     |
| Straat       | : Bosscheweg    |
| Postcode     | : 5741          |
| Stad         | : Beek en Donk  |
| Status       | : North Brabant |
| Breedtegraad | : 51.551 deg    |
| Hoogtegraad  | : 5.619 deg     |
| Hoogte       | : 11.000 m      |

B

## BELASTINGGEVALLEN &amp; COMBINATIE INSTELLINGEN

## Instellingen &amp; Opties



Combinatiewizard en classificatie volgens de norm is actief

Combinatie wizard is actief

## Statistieken

|                                  |       |
|----------------------------------|-------|
| Belastinggevallen                | : 12  |
| Acties                           | : 5   |
| Ontwerpsituaties                 | : 4   |
| Actiecombinaties                 | : 180 |
| Belastingcombinaties             | : 90  |
| Resultaatcombinaties             | : 0   |
| Combinatie Wizards               | : 2   |
| Relatie tussen Belastinggevallen | : 0   |
| Relatie tussen Belastinggevallen | : 0   |

1


## Basis Objecten

1.1

## MATERIALEN

## Legenda

 Betoninstellingen

| Materiaal Nr. | Materiaalnaam                           | Materiaal Type | Berekening Model             | Opties  |
|---------------|---|----------------|------------------------------|---|
| 1             | S235JR   Isotroop   Lineair Elastisch   | Staal          | Isotroop   Lineair Elastisch |   |
| 2             | C30/37   Isotroop   Lineair Elastisch   | Beton          | Isotroop   Lineair Elastisch |  |
| 3             | B500S(A)   Isotroop   Lineair Elastisch | Wapeningsstaal | Isotroop   Lineair Elastisch |   |

1.2

## DOORSNEDES

SHS

140x140x5



IPE 400

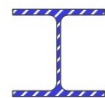


R\_M1

400/500



HE 140 A



CHS 76.1x3



FL 60x8



L 60x60x6



| Doorsnede Nr. | Materiaal Nr. | Doorsnede Type  | Productie Type | $I_x$ [cm <sup>4</sup> ]<br>$A$ [cm <sup>2</sup> ] | $I_{y_{lu}}$ [cm <sup>4</sup> ]<br>$A_{y_{lu}}$ [cm <sup>2</sup> ] | $I_{z/v}$ [cm <sup>4</sup> ]<br>$A_{z/v}$ [cm <sup>2</sup> ] | Globale Maatvoering<br>b [mm] h [mm] |       |
|---------------|---------------|---|----------------|--|--|--|--------------------------------------|-------|
| 1             | 1             | SHS 140x140x5   1 - S235JR<br>Genormd - Staal         | Koudgevoemd    | 1256.00  | 791.00   | 791.00   | 140.0                                | 140.0 |
|               |               |   |                | 26.40  | 11.40  | 11.40  |                                      |       |
| 2             | 1             | IPE 400   1 - S235JR<br>Genormd - Staal               | Warmgewalst    | 51.08  | 23130.00   | 1318.00  | 180.0                                | 400.0 |
|               |               |   |                | 84.46  | 45.34  | 33.80  |                                      |       |
| 3             | 2             | R_M1 400/500   2 - C30/37<br>Parametrisch - Massief I |                | 547416.75  | 416666.67  | 266666.67  | 400.0                                | 500.0 |
|               |               |   |                | 2000.00  | 1666.67  | 1666.67  |                                      |       |
| 4             | 1             | HE 140 A   1 - S235JR<br>Genormd - Staal              | Warmgewalst    | 8.13   | 1033.00  | 389.30   | 140.0                                | 133.0 |
|               |               |   |                | 31.40  | 21.46  | 7.04   |                                      |       |
| 5             | 1             | CHS 76.1x3   1 - S235JR<br>Genormd - Staal            | Koudgevoemd    | 92.20  | 46.10  | 46.10  | 76.1                                 | 76.1  |
|               |               |   |                | 6.89   | 3.45   | 3.45   |                                      |       |
| 6             | 1             | FL 60x8   1 - S235JR<br>Genormd - Staal               | Warmgewalst    | 0.94   | 0.26   | 14.40  | 60.0                                 | 8.0   |
|               |               |   |                | 4.80   | 4.00   | 4.00   |                                      |       |
| 7             | 1             | L 60x60x6   1 - S235JR<br>Genormd - Staal             | Warmgewalst    | 0.90   | 36.14  | 9.44   | 60.0                                 | 60.0  |
|               |               |   |                | 6.91   | 2.91   | 3.23   |                                      |       |



## 1.3



## DIKTES







| Dikte Nr. | Type                                    | Toegewezen aan Vlak Nr. | Materiaal | Symbol | Dikte Waarde | Eenheid | Knopen | Richting |
|-----------|---|-------------------------|-----------|--------|--------------|---------|--------|----------|
| 1         | Gelijkmatig   d : 180.0 mm   2 - C30/37 |                         |           |        |              |         |        |          |
|           | Gelijkmatig                             | 1                       | 2         | d      | 180.0        | mm      |        |          |







## 1.4

## VLAKKEN

## Legenda

 Betonduurzaamheid (Betoncontrole) Geïntegreerde Objecten

| Vlak Nr. | Rand Lijnen   | Stijfheid Type | Geometrie Type | Dikte | Materiaal | Positie | Opties  |
|----------|---|----------------|----------------|-------|-----------|---------|---|
| 1        | 417,517-520,516,515,412,514,513,4<br>11,512,511,410 | Standaard      | Vlak           | 1     | 2         | XY      |       |

 Ontwerpeigenschappen  Raster voor Resultaten  Steunvlak  Surface Reinforcement Table  Wapening Richting - Onder  
 Wapeningsrichting - Boven

## 1.5

## MODEL, IN AXONOMETRISCHE RICHTING

Zichtbaarheidsmodus

In Axonometrische Richting

## Kleuren van weergegeven objecten

Knoop | Beeldscherm eigenschappen

Lijn | Beeldscherm eigenschappen

Staf | Doorsnede

1 - SHS 140x140x5

2 - IPE 400

3 - R\_M1 400/500

4 - HE 140 A

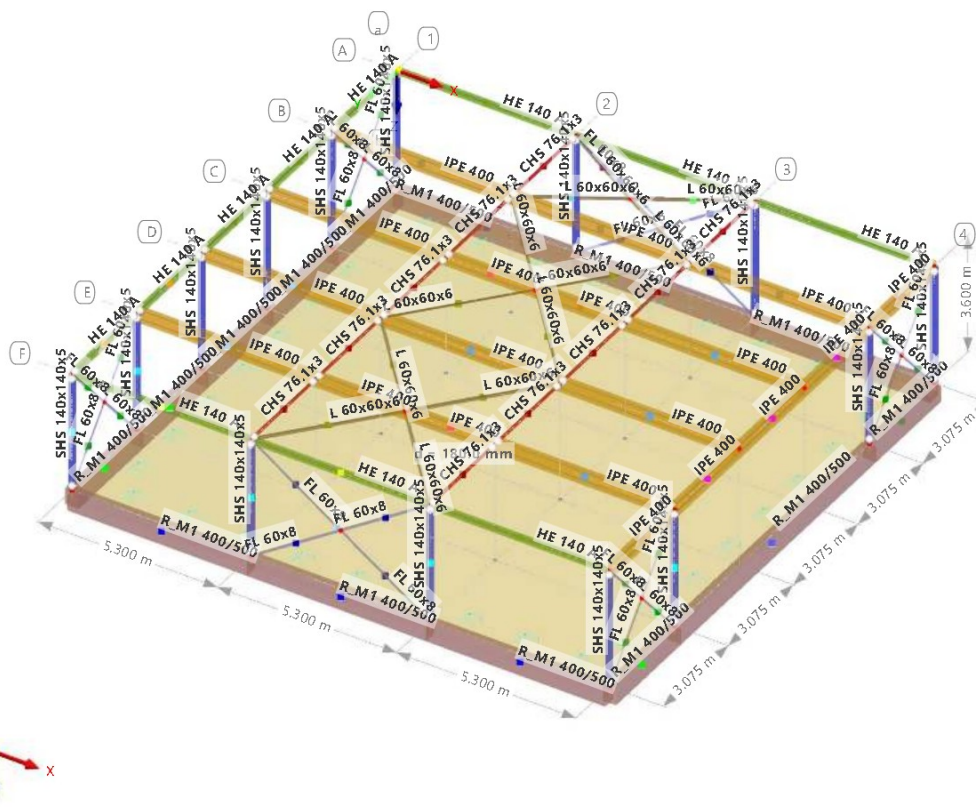
5 - CHS 76.1x3

6 - FL 60x8

7 - L 60x60x6

Vlak | Materiaal

2 - C30/37



## 2 Types voor Vlakken

## 2.1

## STEUNVLAKKEN

| Steun Nr. | Vlakken Nr. | $C_{u,x}$ [kN/m <sup>2</sup> ] | Translatieveer $C_{u,y}$ [kN/m <sup>2</sup> ] | $C_{u,z}$ [kN/m <sup>2</sup> ] | Afschuifveer $C_{v,xz}$ [kN/m] | $C_{v,yz}$ [kN/m] |
|-----------|-------------|--------------------------------|---|--------------------------------|--------------------------------|-------------------|
| 1         | 1           | 2000.00                        | 2000.00                                       | 20000.00                       | 2000.00                        | 2000.00           |

## 3 Types voor Betonontwerp

## 3.1

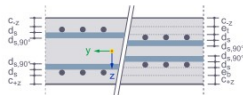
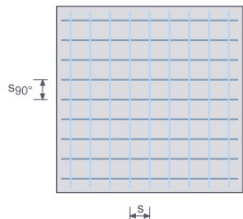
## VLAKWAPENING

| Wap. Nr. | Omschrijving   | Symbol | Waarde | Eenheid |
|----------|--|--------|--------|---------|
| 2        | Op Vlak   Wapening   $d_s$ : 10.0 mm   $s$ : 0.100 m   $d_{s,90^\circ}$ : 10.0 mm   $s_{90^\circ}$ : 0.100 m   Boven (-z)   Onder (+z) (Vlakken : 1) |        |        |         |
|          | Toegewezen aan Vlak Nr.  | 1      |        |         |



## 3.1

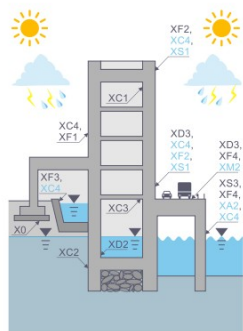
## VLAKWAPENING

Locatie Type 'Op Vlak' |  
Oplijning 'Boven (-z)' en 'Onder (+z)'Wapeningstype 'Staven met |  
extra dwarswapening'

| Wap. Nr. | Omschrijving                               | Symbol                              | Waarde                                      | Eenheid            |
|----------|--|-------------------------------------|---|--------------------|
|          | Locatie type                               |                                     | Op Vlak                                     |                    |
|          | Materiaal                                  |                                     | 3 - B500S(A)   Isotroop   Lineair Elastisch |                    |
|          | Wapeningstype                              |                                     | Wapening                                    |                    |
|          | Toegewezen aan zijde                       |                                     | Boven (-z)   Onder (+z)                     |                    |
|          | Staafdiameter                              | $d_s$                               | 10.0  | mm                 |
|          | Hoh afstand                                | s                                   | 0.100                                       | m                  |
|          | Extra dwarswapening ingeschakeld           | <input checked="" type="checkbox"/> |   |                    |
|          | Additionele wapeningsdiameter              | $d_{s,90°}$                         | 10.0  | mm                 |
|          | Additionele wapeningsafstand               | $s_{90°}$                           | 0.100                                       | m                  |
|          | Bovenlijning ingeschakeld                  | <input checked="" type="checkbox"/> |   |                    |
|          | Onderlijning ingeschakeld                  | <input checked="" type="checkbox"/> |   |                    |
|          | Bovenste extra offset aan betonnen dekking | $e_b$                               | 0.0   | mm                 |
|          | Onderste extra offset aan betonnen dekking | $e_o$                               | 0.0   | mm                 |
|          | Wapeningrichting type                      |                                     | In wapening richting                        |                    |
|          | In wapeningsrichting van ontwerp           | $a_{s,1}$                           |   |                    |
|          | Wapeningshoeveelheid                       | $a_{s,1}$                           | 15.71                                       | cm <sup>2</sup> /m |
|          | Wapeningshoeveelheid                       | $a_{s,2}$                           | 15.71                                       | cm <sup>2</sup> /m |
|          | Wapeningshoeveelheid                       | $a_{s,1,-z}$                        | 7.85  | cm <sup>2</sup> /m |
|          | Wapeningshoeveelheid                       | $a_{s,1,+z}$                        | 7.85  | cm <sup>2</sup> /m |
|          | Wapeningshoeveelheid                       | $a_{s,2,-z}$                        | 7.85  | cm <sup>2</sup> /m |
|          | Wapeningshoeveelheid                       | $a_{s,2,+z}$                        | 7.85  | cm <sup>2</sup> /m |
|          | Staafdiameter   Auto                       | <input type="checkbox"/>            |   |                    |
|          | Hoh afstand   Auto                         | <input type="checkbox"/>            |   |                    |
|          | Additionele wapeningsdiameter   Auto       | <input type="checkbox"/>            |   |                    |
|          | Additionele wapeningsafstand   Auto        | <input type="checkbox"/>            |   |                    |

## 3.2

## BETONDURZAAMHEDEN



| Cond. Nr. | Omschrijving  | Symbol                   | Waarde                  | Eenheid |
|-----------|---|--------------------------|-------------------------|---------|
| 1         | XC2 (Staven : 5-8, 112-121   Vlakken : 1)                               |                          |                         |         |
|           | Toegewezen aan Staven Nr.   |                          | 5-8, 112-121            |         |
|           | Toegewezen aan Staafverzameling Nr.                                     |                          |                         |         |
|           | Toegewezen aan Vlak Nr.   |                          | 1                       |         |
|           | Corrosie veroorzaakt door carbonatatie                                  |                          | XC2 – Nat, zelden droog |         |
|           | Constructieklasse type  |                          | Volgens de norm         |         |
|           | Verleng de levensduur van het ontwerp van 50 tot 100 jaar ingeschakeld  | <input type="checkbox"/> |                         |         |
|           | Positie van wapening niet beïnvloed door constructieproces ingeschakeld | <input type="checkbox"/> |                         |         |
|           | Speciale kwaliteitscontrole van productie ingeschakeld                  | <input type="checkbox"/> |                         |         |
|           | Luchtinsluiting van meer dan 4% ingeschakeld                            | <input type="checkbox"/> |                         |         |
|           | Toeslag voor afwijkingstype   |                          | Volgens de norm         |         |

## 3.3

## WAPENINGSRICHTINGEN

| Richting Nr. | Type                        | Vlakken | Wapeningricht. rotatie om z gerela. aan x $\phi_1$ [deg] | $\phi_2$ [deg] | $\Delta\phi_2$ [deg] |
|--------------|-----------------------------|---------|--|----------------|----------------------|
| 1            | 1ste Wapeningsrichting in x | 1       |  |                |                      |

## 4 Belastinggevallen &amp; Combinaties

## 4.1

## BELASTINGGEVALLEN

| BG Nr. | Instel.  | Waarde  | Eenheid | Te Berek.                           |
|--------|--|---|---------|-------------------------------------|
| 1      | <input checked="" type="checkbox"/> Eigen Gewicht + Permanent  |   |         |                                     |
|        | Berekening type  | Statische Berekening  |         | <input checked="" type="checkbox"/> |
|        | Instellingen voor statische berekening   | SB1 - Geometrisch lineair   <input checked="" type="checkbox"/> |         |                                     |
|        | Actiecategorie   | <input checked="" type="checkbox"/>                             |         |                                     |
|        | Eigen-gewicht - Factor in richting X   | 0.000   | --      |                                     |
|        | Eigen-gewicht - Factor in richting Y   | 0.000   | --      |                                     |
|        | Eigen-gewicht - Factor in richting Z   | 1.000   | --      |                                     |
| 2      | <input checked="" type="checkbox"/> <input checked="" type="checkbox"/> Sneeuw   |   |         |                                     |
|        | Berekening type  | Statische Berekening  |         | <input checked="" type="checkbox"/> |
|        | Instellingen voor statische berekening   | SB1 - Geometrisch lineair   Newton-Raphson                      |         |                                     |
|        | Actiecategorie   | QS - Sneeuw- / IJslasten - H <= 1000 m                          |         |                                     |
| 3      | <input checked="" type="checkbox"/> <input checked="" type="checkbox"/> Wind Loodrecht op Wand 1 (A-B)   0°   Geval w+ |   |         |                                     |
|        | Berekening type  | Statische Berekening  |         | <input checked="" type="checkbox"/> |
|        | Instellingen voor statische berekening   | SB1 - Geometrisch lineair   Newton-Raphson                      |         |                                     |
|        | Actiecategorie   | QW - Wind   |         |                                     |
| 4      | <input checked="" type="checkbox"/> <input checked="" type="checkbox"/> Wind Loodrecht op Wand 1 (A-B)   0°   Geval w- |   |         |                                     |

**BELASTINGEN**

4.1

**BELASTINGGEVALLEN**

| BG Nr. | Instel.   | Waarde   | Eenheid | Te Berek.                           |
|--------|---|--|---------|-------------------------------------|
|        | Berekening type                                     | Statische Berekening                             |         | <input checked="" type="checkbox"/> |
|        | Instellingen voor statische berekening              | SB1 - Geometrisch lineair   Newton-Raphson       |         |                                     |
|        | Actie categorie                                     | Qw Wind  |         |                                     |
| 5      | Qw Wind Loodrecht op Wand 2 (B-C)   90°   Geval w+  |  |         |                                     |
|        | Berekening type                                     | Statische Berekening                             |         | <input checked="" type="checkbox"/> |
|        | Instellingen voor statische berekening              | SB1 - Geometrisch lineair   Newton-Raphson       |         |                                     |
|        | Actie categorie                                     | Qw Wind  |         |                                     |
| 6      | Qw Wind Loodrecht op Wand 2 (B-C)   90°   Geval w-  |  |         |                                     |
|        | Berekening type                                     | Statische Berekening                             |         | <input checked="" type="checkbox"/> |
|        | Instellingen voor statische berekening              | SB1 - Geometrisch lineair   Newton-Raphson       |         |                                     |
|        | Actie categorie                                     | Qw Wind  |         |                                     |
| 7      | EH personen   |  |         |                                     |
|        | Berekening type                                     | Statische Berekening                             |         | <input checked="" type="checkbox"/> |
|        | Instellingen voor statische berekening              | SB1 - Geometrisch lineair   Newton-Raphson       |         |                                     |
|        | Actie categorie                                     | EH Opgelegde lasten - categorie H: daken         |         |                                     |
| 8      | Qw Wind Loodrecht op Wand 3 (C-D)   180°   Geval w+ |  |         |                                     |
|        | Berekening type                                     | Statische Berekening                             |         | <input checked="" type="checkbox"/> |
|        | Instellingen voor statische berekening              | SB1 - Geometrisch lineair   Newton-Raphson       |         |                                     |
|        | Actie categorie                                     | Qw Wind  |         |                                     |
| 9      | Qw Wind Loodrecht op Wand 3 (C-D)   180°   Geval w- |  |         |                                     |
|        | Berekening type                                     | Statische Berekening                             |         | <input checked="" type="checkbox"/> |
|        | Instellingen voor statische berekening              | SB1 - Geometrisch lineair   Newton-Raphson       |         |                                     |
|        | Actie categorie                                     | Qw Wind  |         |                                     |
| 10     | Qw Wind Loodrecht op Wand 4 (D-A)   270°   Geval w+ |  |         |                                     |
|        | Berekening type                                     | Statische Berekening                             |         | <input checked="" type="checkbox"/> |
|        | Instellingen voor statische berekening              | SB1 - Geometrisch lineair   Newton-Raphson       |         |                                     |
|        | Actie categorie                                     | Qw Wind  |         |                                     |
| 11     | Qw Wind Loodrecht op Wand 4 (D-A)   270°   Geval w- |  |         |                                     |
|        | Berekening type                                     | Statische Berekening                             |         | <input checked="" type="checkbox"/> |
|        | Instellingen voor statische berekening              | SB1 - Geometrisch lineair   Newton-Raphson       |         |                                     |
|        | Actie categorie                                     | Qw Wind  |         |                                     |
| 16     | ED Veranderlijk b.g.                                |  |         |                                     |
|        | Berekening type                                     | Statische Berekening                             |         | <input checked="" type="checkbox"/> |
|        | Instellingen voor statische berekening              | SB1 - Geometrisch lineair   Newton-Raphson       |         |                                     |
|        | Actie categorie                                     | ED Opgelegde lasten - categorie D: winkelruimtes |         |                                     |

4.2

**ACTIES**

| Actie Nr. | Instel.  | Waarde   | Actief                              |
|-----------|--|--|-------------------------------------|
| 1         | GB Blijvend                                      |  |                                     |
|           | Actie categorie                                  | GB Blijvend                                      | <input checked="" type="checkbox"/> |
|           | Actietype  | Gelijkijdig                                      |                                     |
| 2         | QS Sneeuw-/ IJslasten - H <= 1000 m              |  |                                     |
|           | Actie categorie                                  | QS Sneeuw-/ IJslasten - H <= 1000 m              | <input checked="" type="checkbox"/> |
|           | Actietype  | Afzonderlijk                                     |                                     |
| 3         | Qw Wind  |  |                                     |
|           | Actie categorie                                  | Qw Wind  | <input checked="" type="checkbox"/> |
|           | Actietype  | Afzonderlijk                                     |                                     |
| 5         | EH Opgelegde lasten - categorie H: daken         |  |                                     |
|           | Actie categorie                                  | EH Opgelegde lasten - categorie H: daken         | <input checked="" type="checkbox"/> |
|           | Actietype  | Gelijkijdig                                      |                                     |
| 7         | ED Opgelegde lasten - categorie D: winkelruimtes |  |                                     |
|           | Actie categorie                                  | ED Opgelegde lasten - categorie D: winkelruimtes | <input checked="" type="checkbox"/> |
|           | Actietype  | Gelijkijdig                                      |                                     |

4.3

**ONTWERPSITUATIES**

| DS Nr. | Instel.   | Waarde  | Actief                              |
|--------|---|---|-------------------------------------|
| 1      | UGT (STR/GEO) - Blijvend en tijdelijk - Vergelijking 6.10a en 6.10b |   |                                     |
|        | Ontwerpsituatietype   | UGT (STR/GEO) - Blijvend en tijdelijk - Vergelijking 6.10a en 6.10b | <input checked="" type="checkbox"/> |
|        | Combinatie wizard   | 2   |                                     |
|        | Consider inclusive/exclusive load cases                             | <input type="checkbox"/>  |                                     |
| 2      | SCh BGT - Karakteristiek  |   |                                     |
|        | Ontwerpsituatietype   | SCh BGT - Karakteristiek  | <input checked="" type="checkbox"/> |

MODEL

4.3

ONTWERPSITUATIES

| DS Nr. | Instel.  | Waarde  | Actief                              |
|--------|--|---|-------------------------------------|
|        | Combinatie wizard<br>Consider inclusive/exclusive load cases   | <input checked="" type="checkbox"/> 1<br><input type="checkbox"/> |                                     |
| 3      | <b>SFr</b> BGT - Frequent<br>Ontwerpsituatietype<br>Combinatie wizard<br>Consider inclusive/exclusive load cases       | <b>SFr</b> BGT - Frequent<br>1<br><input type="checkbox"/>        | <input checked="" type="checkbox"/> |
| 4      | <b>SOp</b> BGT - Quasi-blijvend<br>Ontwerpsituatietype<br>Combinatie wizard<br>Consider inclusive/exclusive load cases | <b>SOp</b> BGT - Quasi-blijvend<br>1<br><input type="checkbox"/>  | <input checked="" type="checkbox"/> |

4.4

ACTIECOMBINATIES

| AC Nr. | Instel.  | Waarde   | Actief                              |
|--------|--|--|-------------------------------------|
| 1      | <b>ULS</b> 1.35 * A1<br>Ontwerpsituatie<br>Gegenereerde belastingcombinaties<br>Genereert door   | <b>ULS</b> OS1 - UGT (STR/GEO) - Blijvend en tijdelijk - Vergelijking 6.10a en 6.10b<br>1<br>Ontwerpsituatie Nr. 1 | <input checked="" type="checkbox"/> |
| 2      | <b>ULS</b> 1.35 * A1 + 0.00 * A2<br>Ontwerpsituatie<br>Gegenereerde belastingcombinaties<br>Genereert door                                     | <b>ULS</b> OS1 - UGT (STR/GEO) - Blijvend en tijdelijk - Vergelijking 6.10a en 6.10b<br>Ontwerpsituatie Nr. 1      | <input type="checkbox"/>            |
| 3      | <b>ULS</b> 1.35 * A1 + 0.00 * A2 + 0.00 * A3<br>Ontwerpsituatie<br>Gegenereerde belastingcombinaties<br>Genereert door                         | <b>ULS</b> OS1 - UGT (STR/GEO) - Blijvend en tijdelijk - Vergelijking 6.10a en 6.10b<br>Ontwerpsituatie Nr. 1      | <input type="checkbox"/>            |
| 4      | <b>ULS</b> 1.35 * A1 + 0.00 * A2 + 0.00 * A3 + 0.00 * A5<br>Ontwerpsituatie<br>Gegenereerde belastingcombinaties<br>Genereert door             | <b>ULS</b> OS1 - UGT (STR/GEO) - Blijvend en tijdelijk - Vergelijking 6.10a en 6.10b<br>Ontwerpsituatie Nr. 1      | <input type="checkbox"/>            |
| 5      | <b>ULS</b> 1.35 * A1 + 0.00 * A2 + 0.00 * A3 + 0.00 * A5 + 0.60 * A7<br>Ontwerpsituatie<br>Gegenereerde belastingcombinaties<br>Genereert door | <b>ULS</b> OS1 - UGT (STR/GEO) - Blijvend en tijdelijk - Vergelijking 6.10a en 6.10b<br>Ontwerpsituatie Nr. 1      | <input type="checkbox"/>            |
| 6      | <b>ULS</b> 1.35 * A1 + 0.00 * A2 + 0.00 * A3 + 0.60 * A7<br>Ontwerpsituatie<br>Gegenereerde belastingcombinaties<br>Genereert door             | <b>ULS</b> OS1 - UGT (STR/GEO) - Blijvend en tijdelijk - Vergelijking 6.10a en 6.10b<br>Ontwerpsituatie Nr. 1      | <input type="checkbox"/>            |
| 7      | <b>ULS</b> 1.35 * A1 + 0.00 * A2 + 0.00 * A5<br>Ontwerpsituatie<br>Gegenereerde belastingcombinaties<br>Genereert door                         | <b>ULS</b> OS1 - UGT (STR/GEO) - Blijvend en tijdelijk - Vergelijking 6.10a en 6.10b<br>Ontwerpsituatie Nr. 1      | <input type="checkbox"/>            |
| 8      | <b>ULS</b> 1.35 * A1 + 0.00 * A2 + 0.00 * A5 + 0.60 * A7<br>Ontwerpsituatie<br>Gegenereerde belastingcombinaties<br>Genereert door             | <b>ULS</b> OS1 - UGT (STR/GEO) - Blijvend en tijdelijk - Vergelijking 6.10a en 6.10b<br>Ontwerpsituatie Nr. 1      | <input type="checkbox"/>            |
| 9      | <b>ULS</b> 1.35 * A1 + 0.00 * A2 + 0.60 * A7<br>Ontwerpsituatie<br>Gegenereerde belastingcombinaties<br>Genereert door                         | <b>ULS</b> OS1 - UGT (STR/GEO) - Blijvend en tijdelijk - Vergelijking 6.10a en 6.10b<br>Ontwerpsituatie Nr. 1      | <input type="checkbox"/>            |
| 10     | <b>ULS</b> 1.35 * A1 + 0.00 * A3<br>Ontwerpsituatie<br>Gegenereerde belastingcombinaties<br>Genereert door                                     | <b>ULS</b> OS1 - UGT (STR/GEO) - Blijvend en tijdelijk - Vergelijking 6.10a en 6.10b<br>Ontwerpsituatie Nr. 1      | <input type="checkbox"/>            |
| 11     | <b>ULS</b> 1.35 * A1 + 0.00 * A3 + 0.00 * A5<br>Ontwerpsituatie<br>Gegenereerde belastingcombinaties<br>Genereert door                         | <b>ULS</b> OS1 - UGT (STR/GEO) - Blijvend en tijdelijk - Vergelijking 6.10a en 6.10b<br>Ontwerpsituatie Nr. 1      | <input type="checkbox"/>            |
| 12     | <b>ULS</b> 1.35 * A1 + 0.00 * A3 + 0.00 * A5 + 0.60 * A7<br>Ontwerpsituatie<br>Gegenereerde belastingcombinaties<br>Genereert door             | <b>ULS</b> OS1 - UGT (STR/GEO) - Blijvend en tijdelijk - Vergelijking 6.10a en 6.10b<br>Ontwerpsituatie Nr. 1      | <input type="checkbox"/>            |
| 13     | <b>ULS</b> 1.35 * A1 + 0.00 * A3 + 0.60 * A7<br>Ontwerpsituatie  | <b>ULS</b> OS1 - UGT (STR/GEO) - Blijvend en tijdelijk - Vergelijking 6.10a en 6.10b                               | <input type="checkbox"/>            |


















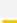
4.4

ACTIECOMBINATIES

| AC Nr. | Instel.   | Waarde  | Actief                              |
|--------|---|---|-------------------------------------|
|        | Gegenereerde belastingcombinaties<br>Genereert door   | Ontwerpsituatie Nr. 1   |                                     |
| 14     | <b>ULSY</b> 1.35 * A1 + 0.00 * A5<br>Ontwerpsituatie<br>Gegenereerde belastingcombinaties<br>Genereert door                                     | <b>ULSY</b> OS1 - UGT (STR/GEO) - Blijvend en tijdelijk - Vergelijking 6.10a en 6.10b<br>Ontwerpsituatie Nr. 1      | <input type="checkbox"/>            |
| 15     | <b>ULSY</b> 1.35 * A1 + 0.00 * A5 + 0.60 * A7<br>Ontwerpsituatie<br>Gegenereerde belastingcombinaties<br>Genereert door                         | <b>ULSY</b> OS1 - UGT (STR/GEO) - Blijvend en tijdelijk - Vergelijking 6.10a en 6.10b<br>Ontwerpsituatie Nr. 1      | <input type="checkbox"/>            |
| 16     | <b>ULSY</b> 1.35 * A1 + 0.60 * A7<br>Ontwerpsituatie<br>Gegenereerde belastingcombinaties<br>Genereert door                                     | <b>ULSY</b> OS1 - UGT (STR/GEO) - Blijvend en tijdelijk - Vergelijking 6.10a en 6.10b<br>2<br>Ontwerpsituatie Nr. 1 | <input checked="" type="checkbox"/> |
| 17     | <b>ULSY</b> 0.90 * A1<br>Ontwerpsituatie<br>Gegenereerde belastingcombinaties<br>Genereert door   | <b>ULSY</b> OS1 - UGT (STR/GEO) - Blijvend en tijdelijk - Vergelijking 6.10a en 6.10b<br>Ontwerpsituatie Nr. 1      | <input type="checkbox"/>            |
| 18     | <b>ULSY</b> 0.90 * A1 + 0.00 * A2<br>Ontwerpsituatie<br>Gegenereerde belastingcombinaties<br>Genereert door                                     | <b>ULSY</b> OS1 - UGT (STR/GEO) - Blijvend en tijdelijk - Vergelijking 6.10a en 6.10b<br>Ontwerpsituatie Nr. 1      | <input type="checkbox"/>            |
| 19     | <b>ULSY</b> 0.90 * A1 + 0.00 * A2 + 0.00 * A3<br>Ontwerpsituatie<br>Gegenereerde belastingcombinaties<br>Genereert door                         | <b>ULSY</b> OS1 - UGT (STR/GEO) - Blijvend en tijdelijk - Vergelijking 6.10a en 6.10b<br>Ontwerpsituatie Nr. 1      | <input type="checkbox"/>            |
| 20     | <b>ULSY</b> 0.90 * A1 + 0.00 * A2 + 0.00 * A3 + 0.00 * A5<br>Ontwerpsituatie<br>Gegenereerde belastingcombinaties<br>Genereert door             | <b>ULSY</b> OS1 - UGT (STR/GEO) - Blijvend en tijdelijk - Vergelijking 6.10a en 6.10b<br>Ontwerpsituatie Nr. 1      | <input type="checkbox"/>            |
| 21     | <b>ULSY</b> 0.90 * A1 + 0.00 * A2 + 0.00 * A3 + 0.00 * A5 + 0.60 * A7<br>Ontwerpsituatie<br>Gegenereerde belastingcombinaties<br>Genereert door | <b>ULSY</b> OS1 - UGT (STR/GEO) - Blijvend en tijdelijk - Vergelijking 6.10a en 6.10b<br>Ontwerpsituatie Nr. 1      | <input type="checkbox"/>            |
| 22     | <b>ULSY</b> 0.90 * A1 + 0.00 * A2 + 0.00 * A3 + 0.60 * A7<br>Ontwerpsituatie<br>Gegenereerde belastingcombinaties<br>Genereert door             | <b>ULSY</b> OS1 - UGT (STR/GEO) - Blijvend en tijdelijk - Vergelijking 6.10a en 6.10b<br>Ontwerpsituatie Nr. 1      | <input type="checkbox"/>            |
| 23     | <b>ULSY</b> 0.90 * A1 + 0.00 * A2 + 0.00 * A5<br>Ontwerpsituatie<br>Gegenereerde belastingcombinaties<br>Genereert door                         | <b>ULSY</b> OS1 - UGT (STR/GEO) - Blijvend en tijdelijk - Vergelijking 6.10a en 6.10b<br>Ontwerpsituatie Nr. 1      | <input type="checkbox"/>            |
| 24     | <b>ULSY</b> 0.90 * A1 + 0.00 * A2 + 0.00 * A5 + 0.60 * A7<br>Ontwerpsituatie<br>Gegenereerde belastingcombinaties<br>Genereert door             | <b>ULSY</b> OS1 - UGT (STR/GEO) - Blijvend en tijdelijk - Vergelijking 6.10a en 6.10b<br>Ontwerpsituatie Nr. 1      | <input type="checkbox"/>            |
| 25     | <b>ULSY</b> 0.90 * A1 + 0.00 * A2 + 0.60 * A7<br>Ontwerpsituatie<br>Gegenereerde belastingcombinaties<br>Genereert door                         | <b>ULSY</b> OS1 - UGT (STR/GEO) - Blijvend en tijdelijk - Vergelijking 6.10a en 6.10b<br>Ontwerpsituatie Nr. 1      | <input type="checkbox"/>            |
| 26     | <b>ULSY</b> 0.90 * A1 + 0.00 * A3<br>Ontwerpsituatie<br>Gegenereerde belastingcombinaties<br>Genereert door                                     | <b>ULSY</b> OS1 - UGT (STR/GEO) - Blijvend en tijdelijk - Vergelijking 6.10a en 6.10b<br>Ontwerpsituatie Nr. 1      | <input type="checkbox"/>            |
| 27     | <b>ULSY</b> 0.90 * A1 + 0.00 * A3 + 0.00 * A5<br>Ontwerpsituatie<br>Gegenereerde belastingcombinaties<br>Genereert door                         | <b>ULSY</b> OS1 - UGT (STR/GEO) - Blijvend en tijdelijk - Vergelijking 6.10a en 6.10b<br>Ontwerpsituatie Nr. 1      | <input type="checkbox"/>            |
| 28     | <b>ULSY</b> 0.90 * A1 + 0.00 * A3 + 0.00 * A5 + 0.60 * A7<br>Ontwerpsituatie<br>Gegenereerde belastingcombinaties<br>Genereert door             | <b>ULSY</b> OS1 - UGT (STR/GEO) - Blijvend en tijdelijk - Vergelijking 6.10a en 6.10b<br>Ontwerpsituatie Nr. 1      | <input type="checkbox"/>            |
| 29     | <b>ULSY</b> 0.90 * A1 + 0.00 * A3 + 0.60 * A7<br>Ontwerpsituatie  | <b>ULSY</b> OS1 - UGT (STR/GEO) - Blijvend en tijdelijk - Vergelijking 6.10a en 6.10b                               | <input type="checkbox"/>            |






















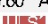
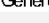
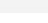
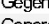
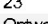
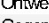





4.4

ACTIECOMBINATIES

| AC Nr. | Instel.   | Waarde   | Actief                              |
|--------|---|--|-------------------------------------|
|        | Gegeneerde belastingcombinaties<br>Genereert door   | Ontwerpsituatie Nr. 1  |                                     |
| 30     | <b>ULSY</b>  $0.90 \cdot A1 + 0.00 \cdot A5$<br>Ontwerpsituatie<br>Gegeneerde belastingcombinaties<br>Genereert door   | <b>ULSY</b> OS1 - UGT (STR/GEO) - Blijvend en tijdelijk - Vergelijking 6.10a en 6.10b<br>Ontwerpsituatie Nr. 1         | <input type="checkbox"/>            |
| 31     | <b>ULSY</b>  $0.90 \cdot A1 + 0.00 \cdot A5 + 0.60 \cdot A7$<br>Ontwerpsituatie<br>Gegeneerde belastingcombinaties<br>Genereert door                                   | <b>ULSY</b> OS1 - UGT (STR/GEO) - Blijvend en tijdelijk - Vergelijking 6.10a en 6.10b<br>Ontwerpsituatie Nr. 1         | <input type="checkbox"/>            |
| 32     | <b>ULSY</b>  $0.90 \cdot A1 + 0.60 \cdot A7$<br>Ontwerpsituatie<br>Gegeneerde belastingcombinaties<br>Genereert door   | <b>ULSY</b> OS1 - UGT (STR/GEO) - Blijvend en tijdelijk - Vergelijking 6.10a en 6.10b<br>3<br>Ontwerpsituatie Nr. 1    | <input checked="" type="checkbox"/> |
| 33     | <b>ULSY</b>  $1.20 \cdot A1$<br>Ontwerpsituatie<br>Gegeneerde belastingcombinaties<br>Genereert door   | <b>ULSY</b> OS1 - UGT (STR/GEO) - Blijvend en tijdelijk - Vergelijking 6.10a en 6.10b<br>Ontwerpsituatie Nr. 1         | <input type="checkbox"/>            |
| 34     | <b>ULSY</b>  $1.20 \cdot A1 + 1.50 \cdot A2$<br>Ontwerpsituatie<br>Gegeneerde belastingcombinaties<br>Genereert door   | <b>ULSY</b> OS1 - UGT (STR/GEO) - Blijvend en tijdelijk - Vergelijking 6.10a en 6.10b<br>4<br>Ontwerpsituatie Nr. 1    | <input checked="" type="checkbox"/> |
| 35     | <b>ULSY</b>  $1.20 \cdot A1 + 1.50 \cdot A2 + 0.00 \cdot A3$<br>Ontwerpsituatie<br>Gegeneerde belastingcombinaties<br>Genereert door                                 | <b>ULSY</b> OS1 - UGT (STR/GEO) - Blijvend en tijdelijk - Vergelijking 6.10a en 6.10b<br>Ontwerpsituatie Nr. 1         | <input type="checkbox"/>            |
| 36     | <b>ULSY</b>  $1.20 \cdot A1 + 1.50 \cdot A2 + 0.00 \cdot A3 + 0.00 \cdot A5$<br>Ontwerpsituatie<br>Gegeneerde belastingcombinaties<br>Genereert door                 | <b>ULSY</b> OS1 - UGT (STR/GEO) - Blijvend en tijdelijk - Vergelijking 6.10a en 6.10b<br>Ontwerpsituatie Nr. 1         | <input type="checkbox"/>            |
| 37     | <b>ULSY</b>  $1.20 \cdot A1 + 1.50 \cdot A2 + 0.00 \cdot A3 + 0.00 \cdot A5 + 0.60 \cdot A7$<br>Ontwerpsituatie<br>Gegeneerde belastingcombinaties<br>Genereert door | <b>ULSY</b> OS1 - UGT (STR/GEO) - Blijvend en tijdelijk - Vergelijking 6.10a en 6.10b<br>Ontwerpsituatie Nr. 1         | <input type="checkbox"/>            |
| 38     | <b>ULSY</b>  $1.20 \cdot A1 + 1.50 \cdot A2 + 0.00 \cdot A3 + 0.60 \cdot A7$<br>Ontwerpsituatie<br>Gegeneerde belastingcombinaties<br>Genereert door                 | <b>ULSY</b> OS1 - UGT (STR/GEO) - Blijvend en tijdelijk - Vergelijking 6.10a en 6.10b<br>Ontwerpsituatie Nr. 1         | <input type="checkbox"/>            |
| 39     | <b>ULSY</b>  $1.20 \cdot A1 + 1.50 \cdot A2 + 0.00 \cdot A5$<br>Ontwerpsituatie<br>Gegeneerde belastingcombinaties<br>Genereert door                                 | <b>ULSY</b> OS1 - UGT (STR/GEO) - Blijvend en tijdelijk - Vergelijking 6.10a en 6.10b<br>Ontwerpsituatie Nr. 1         | <input type="checkbox"/>            |
| 40     | <b>ULSY</b>  $1.20 \cdot A1 + 1.50 \cdot A2 + 0.00 \cdot A5 + 0.60 \cdot A7$<br>Ontwerpsituatie<br>Gegeneerde belastingcombinaties<br>Genereert door                 | <b>ULSY</b> OS1 - UGT (STR/GEO) - Blijvend en tijdelijk - Vergelijking 6.10a en 6.10b<br>Ontwerpsituatie Nr. 1         | <input type="checkbox"/>            |
| 41     | <b>ULSY</b>  $1.20 \cdot A1 + 1.50 \cdot A2 + 0.60 \cdot A7$<br>Ontwerpsituatie<br>Gegeneerde belastingcombinaties<br>Genereert door                                 | <b>ULSY</b> OS1 - UGT (STR/GEO) - Blijvend en tijdelijk - Vergelijking 6.10a en 6.10b<br>5<br>Ontwerpsituatie Nr. 1    | <input checked="" type="checkbox"/> |
| 42     | <b>ULSY</b>  $1.20 \cdot A1 + 1.50 \cdot A3$<br>Ontwerpsituatie<br>Gegeneerde belastingcombinaties<br>Genereert door   | <b>ULSY</b> OS1 - UGT (STR/GEO) - Blijvend en tijdelijk - Vergelijking 6.10a en 6.10b<br>6-13<br>Ontwerpsituatie Nr. 1 | <input checked="" type="checkbox"/> |
| 43     | <b>ULSY</b>  $1.20 \cdot A1 + 0.00 \cdot A2 + 1.50 \cdot A3$<br>Ontwerpsituatie<br>Gegeneerde belastingcombinaties<br>Genereert door                                 | <b>ULSY</b> OS1 - UGT (STR/GEO) - Blijvend en tijdelijk - Vergelijking 6.10a en 6.10b<br>Ontwerpsituatie Nr. 1         | <input type="checkbox"/>            |
| 44     | <b>ULSY</b>  $1.20 \cdot A1 + 0.00 \cdot A2 + 1.50 \cdot A3 + 0.00 \cdot A5$<br>Ontwerpsituatie<br>Gegeneerde belastingcombinaties<br>Genereert door                 | <b>ULSY</b> OS1 - UGT (STR/GEO) - Blijvend en tijdelijk - Vergelijking 6.10a en 6.10b<br>Ontwerpsituatie Nr. 1         | <input type="checkbox"/>            |
| 45     | <b>ULSY</b>  $1.20 \cdot A1 + 0.00 \cdot A2 + 1.50 \cdot A3 + 0.00 \cdot A5 + 0.60 \cdot A7$<br>Ontwerpsituatie  | <b>ULSY</b> OS1 - UGT (STR/GEO) - Blijvend en tijdelijk - Vergelijking 6.10a en 6.10b                                  | <input type="checkbox"/>            |

4.4

ACTIECOMBINATIES

| AC Nr. | Instel.   | Waarde  | Actief                              |
|--------|---|---|-------------------------------------|
|        | Gegenereerde belastingcombinaties<br>Genereert door   | Ontwerpsituatie Nr. 1   |                                     |
| 46     |  $1.20 \cdot A1 + 0.00 \cdot A2 + 1.50 \cdot A3 + 0.60 \cdot A7$<br>Ontwerpsituatie<br>Gegenereerde belastingcombinaties<br>Genereert door                   |  OS1 - UGT (STR/GEO) - Blijvend en tijdelijk - Vergelijking 6.10a en 6.10b<br>Ontwerpsituatie Nr. 1          | <input type="checkbox"/>            |
| 47     |  $1.20 \cdot A1 + 1.50 \cdot A3 + 0.00 \cdot A5$<br>Ontwerpsituatie<br>Gegenereerde belastingcombinaties<br>Genereert door                                   |  OS1 - UGT (STR/GEO) - Blijvend en tijdelijk - Vergelijking 6.10a en 6.10b<br>Ontwerpsituatie Nr. 1          | <input type="checkbox"/>            |
| 48     |  $1.20 \cdot A1 + 1.50 \cdot A3 + 0.00 \cdot A5 + 0.60 \cdot A7$<br>Ontwerpsituatie<br>Gegenereerde belastingcombinaties<br>Genereert door                   |  OS1 - UGT (STR/GEO) - Blijvend en tijdelijk - Vergelijking 6.10a en 6.10b<br>Ontwerpsituatie Nr. 1          | <input type="checkbox"/>            |
| 49     |  $1.20 \cdot A1 + 1.50 \cdot A3 + 0.60 \cdot A7$<br>Ontwerpsituatie<br>Gegenereerde belastingcombinaties<br>Genereert door                                   |  OS1 - UGT (STR/GEO) - Blijvend en tijdelijk - Vergelijking 6.10a en 6.10b<br>14-21<br>Ontwerpsituatie Nr. 1 | <input checked="" type="checkbox"/> |
| 50     |  $1.20 \cdot A1 + 1.50 \cdot A5$<br>Ontwerpsituatie<br>Gegenereerde belastingcombinaties<br>Genereert door   |  OS1 - UGT (STR/GEO) - Blijvend en tijdelijk - Vergelijking 6.10a en 6.10b<br>22<br>Ontwerpsituatie Nr. 1    | <input checked="" type="checkbox"/> |
| 51     |  $1.20 \cdot A1 + 0.00 \cdot A2 + 1.50 \cdot A5$<br>Ontwerpsituatie<br>Gegenereerde belastingcombinaties<br>Genereert door                                 |  OS1 - UGT (STR/GEO) - Blijvend en tijdelijk - Vergelijking 6.10a en 6.10b<br>Ontwerpsituatie Nr. 1        | <input type="checkbox"/>            |
| 52     |  $1.20 \cdot A1 + 0.00 \cdot A2 + 0.00 \cdot A3 + 1.50 \cdot A5$<br>Ontwerpsituatie<br>Gegenereerde belastingcombinaties<br>Genereert door                 |  OS1 - UGT (STR/GEO) - Blijvend en tijdelijk - Vergelijking 6.10a en 6.10b<br>Ontwerpsituatie Nr. 1        | <input type="checkbox"/>            |
| 53     |  $1.20 \cdot A1 + 0.00 \cdot A2 + 0.00 \cdot A3 + 1.50 \cdot A5 + 0.60 \cdot A7$<br>Ontwerpsituatie<br>Gegenereerde belastingcombinaties<br>Genereert door |  OS1 - UGT (STR/GEO) - Blijvend en tijdelijk - Vergelijking 6.10a en 6.10b<br>Ontwerpsituatie Nr. 1        | <input type="checkbox"/>            |
| 54     |  $1.20 \cdot A1 + 0.00 \cdot A2 + 1.50 \cdot A5 + 0.60 \cdot A7$<br>Ontwerpsituatie<br>Gegenereerde belastingcombinaties<br>Genereert door                 |  OS1 - UGT (STR/GEO) - Blijvend en tijdelijk - Vergelijking 6.10a en 6.10b<br>Ontwerpsituatie Nr. 1        | <input type="checkbox"/>            |
| 55     |  $1.20 \cdot A1 + 0.00 \cdot A3 + 1.50 \cdot A5$<br>Ontwerpsituatie<br>Gegenereerde belastingcombinaties<br>Genereert door                                 |  OS1 - UGT (STR/GEO) - Blijvend en tijdelijk - Vergelijking 6.10a en 6.10b<br>Ontwerpsituatie Nr. 1        | <input type="checkbox"/>            |
| 56     |  $1.20 \cdot A1 + 0.00 \cdot A3 + 1.50 \cdot A5 + 0.60 \cdot A7$<br>Ontwerpsituatie<br>Gegenereerde belastingcombinaties<br>Genereert door                 |  OS1 - UGT (STR/GEO) - Blijvend en tijdelijk - Vergelijking 6.10a en 6.10b<br>Ontwerpsituatie Nr. 1        | <input type="checkbox"/>            |
| 57     |  $1.20 \cdot A1 + 1.50 \cdot A5 + 0.60 \cdot A7$<br>Ontwerpsituatie<br>Gegenereerde belastingcombinaties<br>Genereert door                                 |  OS1 - UGT (STR/GEO) - Blijvend en tijdelijk - Vergelijking 6.10a en 6.10b<br>23<br>Ontwerpsituatie Nr. 1  | <input checked="" type="checkbox"/> |
| 58     |  $1.20 \cdot A1 + 1.50 \cdot A7$<br>Ontwerpsituatie<br>Gegenereerde belastingcombinaties<br>Genereert door   |  OS1 - UGT (STR/GEO) - Blijvend en tijdelijk - Vergelijking 6.10a en 6.10b<br>24<br>Ontwerpsituatie Nr. 1  | <input checked="" type="checkbox"/> |
| 59     |  $1.20 \cdot A1 + 0.00 \cdot A2 + 1.50 \cdot A7$<br>Ontwerpsituatie<br>Gegenereerde belastingcombinaties<br>Genereert door                                 |  OS1 - UGT (STR/GEO) - Blijvend en tijdelijk - Vergelijking 6.10a en 6.10b<br>Ontwerpsituatie Nr. 1        | <input type="checkbox"/>            |
| 60     |  $1.20 \cdot A1 + 0.00 \cdot A2 + 0.00 \cdot A3 + 1.50 \cdot A7$<br>Ontwerpsituatie<br>Gegenereerde belastingcombinaties<br>Genereert door                 |  OS1 - UGT (STR/GEO) - Blijvend en tijdelijk - Vergelijking 6.10a en 6.10b<br>Ontwerpsituatie Nr. 1        | <input type="checkbox"/>            |
| 61     |  $1.20 \cdot A1 + 0.00 \cdot A2 + 0.00 \cdot A3 + 0.00 \cdot A5 + 1.50 \cdot A7$<br>Ontwerpsituatie  |  OS1 - UGT (STR/GEO) - Blijvend en tijdelijk - Vergelijking 6.10a en 6.10b                                 | <input type="checkbox"/>            |


















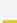
4.4

**ACTIECOMBINATIES**

| AC Nr. | Instel.   | Waarde  | Actief                              |
|--------|---|---|-------------------------------------|
|        | Gegenereerde belastingcombinaties<br>Genereert door   | Ontwerpsituatie Nr. 1   |                                     |
| 62     | <b>U1S1</b> $1.20 \cdot A1 + 0.00 \cdot A2 + 0.00 \cdot A5 + 1.50 \cdot A7$<br>Ontwerpsituatie<br>Gegenereerde belastingcombinaties<br>Genereert door                 | <b>U1S1</b> OS1 - UGT (STR/GEO) - Blijvend en tijdelijk - Vergelijking 6.10a en 6.10b<br>Ontwerpsituatie Nr. 1          | <input type="checkbox"/>            |
| 63     | <b>U1S1</b> $1.20 \cdot A1 + 0.00 \cdot A3 + 1.50 \cdot A7$<br>Ontwerpsituatie<br>Gegenereerde belastingcombinaties<br>Genereert door                                 | <b>U1S1</b> OS1 - UGT (STR/GEO) - Blijvend en tijdelijk - Vergelijking 6.10a en 6.10b<br>Ontwerpsituatie Nr. 1          | <input type="checkbox"/>            |
| 64     | <b>U1S1</b> $1.20 \cdot A1 + 0.00 \cdot A3 + 0.00 \cdot A5 + 1.50 \cdot A7$<br>Ontwerpsituatie<br>Gegenereerde belastingcombinaties<br>Genereert door                 | <b>U1S1</b> OS1 - UGT (STR/GEO) - Blijvend en tijdelijk - Vergelijking 6.10a en 6.10b<br>Ontwerpsituatie Nr. 1          | <input type="checkbox"/>            |
| 65     | <b>U1S1</b> $1.20 \cdot A1 + 0.00 \cdot A5 + 1.50 \cdot A7$<br>Ontwerpsituatie<br>Gegenereerde belastingcombinaties<br>Genereert door                                 | <b>U1S1</b> OS1 - UGT (STR/GEO) - Blijvend en tijdelijk - Vergelijking 6.10a en 6.10b<br>Ontwerpsituatie Nr. 1          | <input type="checkbox"/>            |
| 66     | <b>U1S1</b> $0.90 \cdot A1$<br>Ontwerpsituatie<br>Gegenereerde belastingcombinaties<br>Genereert door   | <b>U1S1</b> OS1 - UGT (STR/GEO) - Blijvend en tijdelijk - Vergelijking 6.10a en 6.10b<br>Ontwerpsituatie Nr. 1          | <input type="checkbox"/>            |
| 67     | <b>U1S1</b> $0.90 \cdot A1 + 1.50 \cdot A2$<br>Ontwerpsituatie<br>Gegenereerde belastingcombinaties<br>Genereert door   | <b>U1S1</b> OS1 - UGT (STR/GEO) - Blijvend en tijdelijk - Vergelijking 6.10a en 6.10b<br>25<br>Ontwerpsituatie Nr. 1    | <input checked="" type="checkbox"/> |
| 68     | <b>U1S1</b> $0.90 \cdot A1 + 1.50 \cdot A2 + 0.00 \cdot A3$<br>Ontwerpsituatie<br>Gegenereerde belastingcombinaties<br>Genereert door                                 | <b>U1S1</b> OS1 - UGT (STR/GEO) - Blijvend en tijdelijk - Vergelijking 6.10a en 6.10b<br>Ontwerpsituatie Nr. 1          | <input type="checkbox"/>            |
| 69     | <b>U1S1</b> $0.90 \cdot A1 + 1.50 \cdot A2 + 0.00 \cdot A3 + 0.00 \cdot A5$<br>Ontwerpsituatie<br>Gegenereerde belastingcombinaties<br>Genereert door                 | <b>U1S1</b> OS1 - UGT (STR/GEO) - Blijvend en tijdelijk - Vergelijking 6.10a en 6.10b<br>Ontwerpsituatie Nr. 1          | <input type="checkbox"/>            |
| 70     | <b>U1S1</b> $0.90 \cdot A1 + 1.50 \cdot A2 + 0.00 \cdot A3 + 0.00 \cdot A5 + 0.60 \cdot A7$<br>Ontwerpsituatie<br>Gegenereerde belastingcombinaties<br>Genereert door | <b>U1S1</b> OS1 - UGT (STR/GEO) - Blijvend en tijdelijk - Vergelijking 6.10a en 6.10b<br>Ontwerpsituatie Nr. 1          | <input type="checkbox"/>            |
| 71     | <b>U1S1</b> $0.90 \cdot A1 + 1.50 \cdot A2 + 0.00 \cdot A3 + 0.60 \cdot A7$<br>Ontwerpsituatie<br>Gegenereerde belastingcombinaties<br>Genereert door                 | <b>U1S1</b> OS1 - UGT (STR/GEO) - Blijvend en tijdelijk - Vergelijking 6.10a en 6.10b<br>Ontwerpsituatie Nr. 1          | <input type="checkbox"/>            |
| 72     | <b>U1S1</b> $0.90 \cdot A1 + 1.50 \cdot A2 + 0.00 \cdot A5$<br>Ontwerpsituatie<br>Gegenereerde belastingcombinaties<br>Genereert door                                 | <b>U1S1</b> OS1 - UGT (STR/GEO) - Blijvend en tijdelijk - Vergelijking 6.10a en 6.10b<br>Ontwerpsituatie Nr. 1          | <input type="checkbox"/>            |
| 73     | <b>U1S1</b> $0.90 \cdot A1 + 1.50 \cdot A2 + 0.00 \cdot A5 + 0.60 \cdot A7$<br>Ontwerpsituatie<br>Gegenereerde belastingcombinaties<br>Genereert door                 | <b>U1S1</b> OS1 - UGT (STR/GEO) - Blijvend en tijdelijk - Vergelijking 6.10a en 6.10b<br>Ontwerpsituatie Nr. 1          | <input type="checkbox"/>            |
| 74     | <b>U1S1</b> $0.90 \cdot A1 + 1.50 \cdot A2 + 0.60 \cdot A7$<br>Ontwerpsituatie<br>Gegenereerde belastingcombinaties<br>Genereert door                                 | <b>U1S1</b> OS1 - UGT (STR/GEO) - Blijvend en tijdelijk - Vergelijking 6.10a en 6.10b<br>26<br>Ontwerpsituatie Nr. 1    | <input checked="" type="checkbox"/> |
| 75     | <b>U1S1</b> $0.90 \cdot A1 + 1.50 \cdot A3$<br>Ontwerpsituatie<br>Gegenereerde belastingcombinaties<br>Genereert door   | <b>U1S1</b> OS1 - UGT (STR/GEO) - Blijvend en tijdelijk - Vergelijking 6.10a en 6.10b<br>27-34<br>Ontwerpsituatie Nr. 1 | <input checked="" type="checkbox"/> |
| 76     | <b>U1S1</b> $0.90 \cdot A1 + 0.00 \cdot A2 + 1.50 \cdot A3$<br>Ontwerpsituatie<br>Gegenereerde belastingcombinaties<br>Genereert door                                 | <b>U1S1</b> OS1 - UGT (STR/GEO) - Blijvend en tijdelijk - Vergelijking 6.10a en 6.10b<br>Ontwerpsituatie Nr. 1          | <input type="checkbox"/>            |
| 77     | <b>U1S1</b> $0.90 \cdot A1 + 0.00 \cdot A2 + 1.50 \cdot A3 + 0.00 \cdot A5$<br>Ontwerpsituatie  | <b>U1S1</b> OS1 - UGT (STR/GEO) - Blijvend en tijdelijk - Vergelijking 6.10a en 6.10b                                   | <input type="checkbox"/>            |

4.4










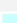

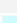




ACTIECOMBINATIES

| AC Nr. | Instel.   | Waarde  | Actief                              |
|--------|---|---|-------------------------------------|
|        | Gegenereerde belastingcombinaties<br>Genereert door   | Ontwerpsituatie Nr. 1   |                                     |
| 78     | <b>ULSY</b>  $0.90 * A1 + 0.00 * A2 + 1.50 * A3 + 0.00 * A5 + 0.60 * A7$<br>Ontwerpsituatie<br>Gegenereerde belastingcombinaties<br>Genereert door   | <b>ULSY</b> OS1 - UGT (STR/GEO) - Blijvend en tijdelijk - Vergelijking 6.10a en 6.10b<br>Ontwerpsituatie Nr. 1          | <input type="checkbox"/>            |
| 79     | <b>ULSY</b>  $0.90 * A1 + 0.00 * A2 + 1.50 * A3 + 0.60 * A7$<br>Ontwerpsituatie<br>Gegenereerde belastingcombinaties<br>Genereert door               | <b>ULSY</b> OS1 - UGT (STR/GEO) - Blijvend en tijdelijk - Vergelijking 6.10a en 6.10b<br>Ontwerpsituatie Nr. 1          | <input type="checkbox"/>            |
| 80     | <b>ULSY</b>  $0.90 * A1 + 1.50 * A3 + 0.00 * A5$<br>Ontwerpsituatie<br>Gegenereerde belastingcombinaties<br>Genereert door                           | <b>ULSY</b> OS1 - UGT (STR/GEO) - Blijvend en tijdelijk - Vergelijking 6.10a en 6.10b<br>Ontwerpsituatie Nr. 1          | <input type="checkbox"/>            |
| 81     | <b>ULSY</b>  $0.90 * A1 + 1.50 * A3 + 0.00 * A5 + 0.60 * A7$<br>Ontwerpsituatie<br>Gegenereerde belastingcombinaties<br>Genereert door               | <b>ULSY</b> OS1 - UGT (STR/GEO) - Blijvend en tijdelijk - Vergelijking 6.10a en 6.10b<br>Ontwerpsituatie Nr. 1          | <input type="checkbox"/>            |
| 82     | <b>ULSY</b>  $0.90 * A1 + 1.50 * A3 + 0.60 * A7$<br>Ontwerpsituatie<br>Gegenereerde belastingcombinaties<br>Genereert door                           | <b>ULSY</b> OS1 - UGT (STR/GEO) - Blijvend en tijdelijk - Vergelijking 6.10a en 6.10b<br>35-42<br>Ontwerpsituatie Nr. 1 | <input checked="" type="checkbox"/> |
| 83     | <b>ULSY</b>  $0.90 * A1 + 1.50 * A5$<br>Ontwerpsituatie<br>Gegenereerde belastingcombinaties<br>Genereert door                                     | <b>ULSY</b> OS1 - UGT (STR/GEO) - Blijvend en tijdelijk - Vergelijking 6.10a en 6.10b<br>43<br>Ontwerpsituatie Nr. 1    | <input checked="" type="checkbox"/> |
| 84     | <b>ULSY</b>  $0.90 * A1 + 0.00 * A2 + 1.50 * A5$<br>Ontwerpsituatie<br>Gegenereerde belastingcombinaties<br>Genereert door                         | <b>ULSY</b> OS1 - UGT (STR/GEO) - Blijvend en tijdelijk - Vergelijking 6.10a en 6.10b<br>Ontwerpsituatie Nr. 1          | <input type="checkbox"/>            |
| 85     | <b>ULSY</b>  $0.90 * A1 + 0.00 * A2 + 0.00 * A3 + 1.50 * A5$<br>Ontwerpsituatie<br>Gegenereerde belastingcombinaties<br>Genereert door             | <b>ULSY</b> OS1 - UGT (STR/GEO) - Blijvend en tijdelijk - Vergelijking 6.10a en 6.10b<br>Ontwerpsituatie Nr. 1          | <input type="checkbox"/>            |
| 86     | <b>ULSY</b>  $0.90 * A1 + 0.00 * A2 + 0.00 * A3 + 1.50 * A5 + 0.60 * A7$<br>Ontwerpsituatie<br>Gegenereerde belastingcombinaties<br>Genereert door | <b>ULSY</b> OS1 - UGT (STR/GEO) - Blijvend en tijdelijk - Vergelijking 6.10a en 6.10b<br>Ontwerpsituatie Nr. 1          | <input type="checkbox"/>            |
| 87     | <b>ULSY</b>  $0.90 * A1 + 0.00 * A2 + 1.50 * A5 + 0.60 * A7$<br>Ontwerpsituatie<br>Gegenereerde belastingcombinaties<br>Genereert door             | <b>ULSY</b> OS1 - UGT (STR/GEO) - Blijvend en tijdelijk - Vergelijking 6.10a en 6.10b<br>Ontwerpsituatie Nr. 1          | <input type="checkbox"/>            |
| 88     | <b>ULSY</b>  $0.90 * A1 + 0.00 * A3 + 1.50 * A5$<br>Ontwerpsituatie<br>Gegenereerde belastingcombinaties<br>Genereert door                         | <b>ULSY</b> OS1 - UGT (STR/GEO) - Blijvend en tijdelijk - Vergelijking 6.10a en 6.10b<br>Ontwerpsituatie Nr. 1          | <input type="checkbox"/>            |
| 89     | <b>ULSY</b>  $0.90 * A1 + 0.00 * A3 + 1.50 * A5 + 0.60 * A7$<br>Ontwerpsituatie<br>Gegenereerde belastingcombinaties<br>Genereert door             | <b>ULSY</b> OS1 - UGT (STR/GEO) - Blijvend en tijdelijk - Vergelijking 6.10a en 6.10b<br>Ontwerpsituatie Nr. 1          | <input type="checkbox"/>            |
| 90     | <b>ULSY</b>  $0.90 * A1 + 1.50 * A5 + 0.60 * A7$<br>Ontwerpsituatie<br>Gegenereerde belastingcombinaties<br>Genereert door                         | <b>ULSY</b> OS1 - UGT (STR/GEO) - Blijvend en tijdelijk - Vergelijking 6.10a en 6.10b<br>44<br>Ontwerpsituatie Nr. 1    | <input checked="" type="checkbox"/> |
| 91     | <b>ULSY</b>  $0.90 * A1 + 1.50 * A7$<br>Ontwerpsituatie<br>Gegenereerde belastingcombinaties<br>Genereert door                                     | <b>ULSY</b> OS1 - UGT (STR/GEO) - Blijvend en tijdelijk - Vergelijking 6.10a en 6.10b<br>45<br>Ontwerpsituatie Nr. 1    | <input checked="" type="checkbox"/> |
| 92     | <b>ULSY</b>  $0.90 * A1 + 0.00 * A2 + 1.50 * A7$<br>Ontwerpsituatie<br>Gegenereerde belastingcombinaties<br>Genereert door                         | <b>ULSY</b> OS1 - UGT (STR/GEO) - Blijvend en tijdelijk - Vergelijking 6.10a en 6.10b<br>Ontwerpsituatie Nr. 1          | <input type="checkbox"/>            |
| 93     | <b>ULSY</b>  $0.90 * A1 + 0.00 * A2 + 0.00 * A3 + 1.50 * A7$<br>Ontwerpsituatie  | <b>ULSY</b> OS1 - UGT (STR/GEO) - Blijvend en tijdelijk - Vergelijking 6.10a en 6.10b                                   | <input type="checkbox"/>            |

MODEL

4.4

ACTIECOMBINATIES

| AC Nr. | Instel.  | Waarde  | Actief                              |
|--------|--|---|-------------------------------------|
|        | Gegenereerde belastingcombinaties<br>Genereert door  | Ontwerpsituatie Nr. 1   |                                     |
| 94     | <b>ULS</b>  $0.90 \cdot A1 + 0.00 \cdot A2 + 0.00 \cdot A3 + 0.00 \cdot A5 + 1.50 \cdot A7$<br>Ontwerpsituatie<br>Gegenereerde belastingcombinaties<br>Genereert door | <b>ULS</b> OS1 - UGT (STR/GEO) - Blijvend en tijdelijk - Vergelijking 6.10a en 6.10b<br>Ontwerpsituatie Nr. 1 | <input type="checkbox"/>            |
| 95     | <b>ULS</b>  $0.90 \cdot A1 + 0.00 \cdot A2 + 0.00 \cdot A5 + 1.50 \cdot A7$<br>Ontwerpsituatie<br>Gegenereerde belastingcombinaties<br>Genereert door                 | <b>ULS</b> OS1 - UGT (STR/GEO) - Blijvend en tijdelijk - Vergelijking 6.10a en 6.10b<br>Ontwerpsituatie Nr. 1 | <input type="checkbox"/>            |
| 96     | <b>ULS</b>  $0.90 \cdot A1 + 0.00 \cdot A3 + 1.50 \cdot A7$<br>Ontwerpsituatie<br>Gegenereerde belastingcombinaties<br>Genereert door                                 | <b>ULS</b> OS1 - UGT (STR/GEO) - Blijvend en tijdelijk - Vergelijking 6.10a en 6.10b<br>Ontwerpsituatie Nr. 1 | <input type="checkbox"/>            |
| 97     | <b>ULS</b>  $0.90 \cdot A1 + 0.00 \cdot A3 + 0.00 \cdot A5 + 1.50 \cdot A7$<br>Ontwerpsituatie<br>Gegenereerde belastingcombinaties<br>Genereert door                 | <b>ULS</b> OS1 - UGT (STR/GEO) - Blijvend en tijdelijk - Vergelijking 6.10a en 6.10b<br>Ontwerpsituatie Nr. 1 | <input type="checkbox"/>            |
| 98     | <b>ULS</b>  $0.90 \cdot A1 + 0.00 \cdot A5 + 1.50 \cdot A7$<br>Ontwerpsituatie<br>Gegenereerde belastingcombinaties<br>Genereert door                                 | <b>ULS</b> OS1 - UGT (STR/GEO) - Blijvend en tijdelijk - Vergelijking 6.10a en 6.10b<br>Ontwerpsituatie Nr. 1 | <input type="checkbox"/>            |
| 99     | <b>SCh</b>  A1<br>Ontwerpsituatie<br>Gegenereerde belastingcombinaties<br>Genereert door  | <b>SCh</b> OS2 - BGT - Karakteristiek<br>46<br>Ontwerpsituatie Nr. 2  | <input checked="" type="checkbox"/> |
| 100    | <b>SCh</b>  A1 + A2<br>Ontwerpsituatie<br>Gegenereerde belastingcombinaties<br>Genereert door   | <b>SCh</b> OS2 - BGT - Karakteristiek<br>47<br>Ontwerpsituatie Nr. 2  | <input checked="" type="checkbox"/> |
| 101    | <b>SCh</b>  A1 + A2 + 0.00 · A3<br>Ontwerpsituatie<br>Gegenereerde belastingcombinaties<br>Genereert door   | <b>SCh</b> OS2 - BGT - Karakteristiek<br>Ontwerpsituatie Nr. 2  | <input type="checkbox"/>            |
| 102    | <b>SCh</b>  A1 + A2 + 0.00 · A3 + 0.00 · A5<br>Ontwerpsituatie<br>Gegenereerde belastingcombinaties<br>Genereert door   | <b>SCh</b> OS2 - BGT - Karakteristiek<br>Ontwerpsituatie Nr. 2  | <input type="checkbox"/>            |
| 103    | <b>SCh</b>  A1 + A2 + 0.00 · A3 + 0.00 · A5 + 0.40 · A7<br>Ontwerpsituatie<br>Gegenereerde belastingcombinaties<br>Genereert door                                   | <b>SCh</b> OS2 - BGT - Karakteristiek<br>Ontwerpsituatie Nr. 2  | <input type="checkbox"/>            |
| 104    | <b>SCh</b>  A1 + A2 + 0.00 · A3 + 0.40 · A7<br>Ontwerpsituatie<br>Gegenereerde belastingcombinaties<br>Genereert door   | <b>SCh</b> OS2 - BGT - Karakteristiek<br>Ontwerpsituatie Nr. 2  | <input type="checkbox"/>            |
| 105    | <b>SCh</b>  A1 + A2 + 0.00 · A5<br>Ontwerpsituatie<br>Gegenereerde belastingcombinaties<br>Genereert door   | <b>SCh</b> OS2 - BGT - Karakteristiek<br>Ontwerpsituatie Nr. 2  | <input type="checkbox"/>            |
| 106    | <b>SCh</b>  A1 + A2 + 0.00 · A5 + 0.40 · A7<br>Ontwerpsituatie<br>Gegenereerde belastingcombinaties<br>Genereert door   | <b>SCh</b> OS2 - BGT - Karakteristiek<br>Ontwerpsituatie Nr. 2  | <input type="checkbox"/>            |
| 107    | <b>SCh</b>  A1 + A2 + 0.40 · A7<br>Ontwerpsituatie<br>Gegenereerde belastingcombinaties<br>Genereert door   | <b>SCh</b> OS2 - BGT - Karakteristiek<br>48<br>Ontwerpsituatie Nr. 2  | <input checked="" type="checkbox"/> |
| 108    | <b>SCh</b>  A1 + A3<br>Ontwerpsituatie<br>Gegenereerde belastingcombinaties<br>Genereert door   | <b>SCh</b> OS2 - BGT - Karakteristiek<br>49-56<br>Ontwerpsituatie Nr. 2                                       | <input checked="" type="checkbox"/> |
| 109    | <b>SCh</b>  A1 + 0.00 · A2 + A3<br>Ontwerpsituatie  | <b>SCh</b> OS2 - BGT - Karakteristiek   | <input type="checkbox"/>            |



## 4.4

## ACTIECOMBINATIES

| AC Nr. | Instel.  | Waarde  | Actief                              |
|--------|--|---|-------------------------------------|
|        | Gegenereerde belastingcombinaties<br>Genereert door  | Ontwerpsituatie Nr. 2   |                                     |
| 110    | <b>SCh</b> A1 + 0.00 * A2 + A3 + 0.00 * A5<br>Ontwerpsituatie<br>Gegenereerde belastingcombinaties<br>Genereert door             | <b>SCh</b> OS2 - BGT - Karakteristiek<br>Ontwerpsituatie Nr. 2          | <input type="checkbox"/>            |
| 111    | <b>SCh</b> A1 + 0.00 * A2 + A3 + 0.00 * A5 + 0.40 * A7<br>Ontwerpsituatie<br>Gegenereerde belastingcombinaties<br>Genereert door | <b>SCh</b> OS2 - BGT - Karakteristiek<br>Ontwerpsituatie Nr. 2          | <input type="checkbox"/>            |
| 112    | <b>SCh</b> A1 + 0.00 * A2 + A3 + 0.40 * A7<br>Ontwerpsituatie<br>Gegenereerde belastingcombinaties<br>Genereert door             | <b>SCh</b> OS2 - BGT - Karakteristiek<br>Ontwerpsituatie Nr. 2          | <input type="checkbox"/>            |
| 113    | <b>SCh</b> A1 + A3 + 0.00 * A5<br>Ontwerpsituatie<br>Gegenereerde belastingcombinaties<br>Genereert door                         | <b>SCh</b> OS2 - BGT - Karakteristiek<br>Ontwerpsituatie Nr. 2          | <input type="checkbox"/>            |
| 114    | <b>SCh</b> A1 + A3 + 0.00 * A5 + 0.40 * A7<br>Ontwerpsituatie<br>Gegenereerde belastingcombinaties<br>Genereert door             | <b>SCh</b> OS2 - BGT - Karakteristiek<br>Ontwerpsituatie Nr. 2          | <input type="checkbox"/>            |
| 115    | <b>SCh</b> A1 + A3 + 0.40 * A7<br>Ontwerpsituatie<br>Gegenereerde belastingcombinaties<br>Genereert door                         | <b>SCh</b> OS2 - BGT - Karakteristiek<br>57-64<br>Ontwerpsituatie Nr. 2 | <input checked="" type="checkbox"/> |
| 116    | <b>SCh</b> A1 + A5<br>Ontwerpsituatie<br>Gegenereerde belastingcombinaties<br>Genereert door                                     | <b>SCh</b> OS2 - BGT - Karakteristiek<br>65<br>Ontwerpsituatie Nr. 2    | <input checked="" type="checkbox"/> |
| 117    | <b>SCh</b> A1 + 0.00 * A2 + A5<br>Ontwerpsituatie<br>Gegenereerde belastingcombinaties<br>Genereert door                         | <b>SCh</b> OS2 - BGT - Karakteristiek<br>Ontwerpsituatie Nr. 2          | <input type="checkbox"/>            |
| 118    | <b>SCh</b> A1 + 0.00 * A2 + 0.00 * A3 + A5<br>Ontwerpsituatie<br>Gegenereerde belastingcombinaties<br>Genereert door             | <b>SCh</b> OS2 - BGT - Karakteristiek<br>Ontwerpsituatie Nr. 2          | <input type="checkbox"/>            |
| 119    | <b>SCh</b> A1 + 0.00 * A2 + 0.00 * A3 + A5 + 0.40 * A7<br>Ontwerpsituatie<br>Gegenereerde belastingcombinaties<br>Genereert door | <b>SCh</b> OS2 - BGT - Karakteristiek<br>Ontwerpsituatie Nr. 2          | <input type="checkbox"/>            |
| 120    | <b>SCh</b> A1 + 0.00 * A2 + A5 + 0.40 * A7<br>Ontwerpsituatie<br>Gegenereerde belastingcombinaties<br>Genereert door             | <b>SCh</b> OS2 - BGT - Karakteristiek<br>Ontwerpsituatie Nr. 2          | <input type="checkbox"/>            |
| 121    | <b>SCh</b> A1 + 0.00 * A3 + A5<br>Ontwerpsituatie<br>Gegenereerde belastingcombinaties<br>Genereert door                         | <b>SCh</b> OS2 - BGT - Karakteristiek<br>Ontwerpsituatie Nr. 2          | <input type="checkbox"/>            |
| 122    | <b>SCh</b> A1 + 0.00 * A3 + A5 + 0.40 * A7<br>Ontwerpsituatie<br>Gegenereerde belastingcombinaties<br>Genereert door             | <b>SCh</b> OS2 - BGT - Karakteristiek<br>Ontwerpsituatie Nr. 2          | <input type="checkbox"/>            |
| 123    | <b>SCh</b> A1 + A5 + 0.40 * A7<br>Ontwerpsituatie<br>Gegenereerde belastingcombinaties<br>Genereert door                         | <b>SCh</b> OS2 - BGT - Karakteristiek<br>66<br>Ontwerpsituatie Nr. 2    | <input checked="" type="checkbox"/> |
| 124    | <b>SCh</b> A1 + A7<br>Ontwerpsituatie<br>Gegenereerde belastingcombinaties<br>Genereert door                                     | <b>SCh</b> OS2 - BGT - Karakteristiek<br>67<br>Ontwerpsituatie Nr. 2    | <input checked="" type="checkbox"/> |
| 125    | <b>SCh</b> A1 + 0.00 * A2 + A7<br>Ontwerpsituatie  | <b>SCh</b> OS2 - BGT - Karakteristiek                                   | <input type="checkbox"/>            |

## 4.4

## ACTIECOMBINATIES

| AC Nr. | Instel.   | Waarde                                | Actief                              |
|--------|---|---------------------------------------|-------------------------------------|
|        | Gegenereerde belastingcombinaties                               |                                       |                                     |
|        | Genereert door  | Ontwerpsituatie Nr. 2                 |                                     |
| 126    | <b>SCh</b> $A1 + 0.00 * A2 + 0.00 * A3 + A7$                    |                                       |                                     |
|        | Ontwerpsituatie   | <b>SCh</b> OS2 - BGT - Karakteristiek | <input type="checkbox"/>            |
|        | Gegenereerde belastingcombinaties                               |                                       |                                     |
|        | Genereert door  | Ontwerpsituatie Nr. 2                 |                                     |
| 127    | <b>SCh</b> $A1 + 0.00 * A2 + 0.00 * A3 + 0.00 * A5 + A7$        |                                       |                                     |
|        | Ontwerpsituatie   | <b>SCh</b> OS2 - BGT - Karakteristiek | <input type="checkbox"/>            |
|        | Gegenereerde belastingcombinaties                               |                                       |                                     |
|        | Genereert door  | Ontwerpsituatie Nr. 2                 |                                     |
| 128    | <b>SCh</b> $A1 + 0.00 * A2 + 0.00 * A5 + A7$                    |                                       |                                     |
|        | Ontwerpsituatie   | <b>SCh</b> OS2 - BGT - Karakteristiek | <input type="checkbox"/>            |
|        | Gegenereerde belastingcombinaties                               |                                       |                                     |
|        | Genereert door  | Ontwerpsituatie Nr. 2                 |                                     |
| 129    | <b>SCh</b> $A1 + 0.00 * A3 + A7$                                |                                       |                                     |
|        | Ontwerpsituatie   | <b>SCh</b> OS2 - BGT - Karakteristiek | <input type="checkbox"/>            |
|        | Gegenereerde belastingcombinaties                               |                                       |                                     |
|        | Genereert door  | Ontwerpsituatie Nr. 2                 |                                     |
| 130    | <b>SCh</b> $A1 + 0.00 * A3 + 0.00 * A5 + A7$                    |                                       |                                     |
|        | Ontwerpsituatie   | <b>SCh</b> OS2 - BGT - Karakteristiek | <input type="checkbox"/>            |
|        | Gegenereerde belastingcombinaties                               |                                       |                                     |
|        | Genereert door  | Ontwerpsituatie Nr. 2                 |                                     |
| 131    | <b>SCh</b> $A1 + 0.00 * A5 + A7$                                |                                       |                                     |
|        | Ontwerpsituatie   | <b>SCh</b> OS2 - BGT - Karakteristiek | <input type="checkbox"/>            |
|        | Gegenereerde belastingcombinaties                               |                                       |                                     |
|        | Genereert door  | Ontwerpsituatie Nr. 2                 |                                     |
| 132    | <b>SFr</b> $A1$   |                                       |                                     |
|        | Ontwerpsituatie   | <b>SFr</b> OS3 - BGT - Frequent       | <input checked="" type="checkbox"/> |
|        | Gegenereerde belastingcombinaties                               | 68                                    |                                     |
|        | Genereert door  | Ontwerpsituatie Nr. 3                 |                                     |
| 133    | <b>SFr</b> $A1 + 0.20 * A2$                                     |                                       |                                     |
|        | Ontwerpsituatie   | <b>SFr</b> OS3 - BGT - Frequent       | <input checked="" type="checkbox"/> |
|        | Gegenereerde belastingcombinaties                               | 69                                    |                                     |
|        | Genereert door  | Ontwerpsituatie Nr. 3                 |                                     |
| 134    | <b>SFr</b> $A1 + 0.20 * A2 + 0.00 * A3$                         |                                       |                                     |
|        | Ontwerpsituatie   | <b>SFr</b> OS3 - BGT - Frequent       | <input type="checkbox"/>            |
|        | Gegenereerde belastingcombinaties                               |                                       |                                     |
|        | Genereert door  | Ontwerpsituatie Nr. 3                 |                                     |
| 135    | <b>SFr</b> $A1 + 0.20 * A2 + 0.00 * A3 + 0.00 * A5$             |                                       |                                     |
|        | Ontwerpsituatie   | <b>SFr</b> OS3 - BGT - Frequent       | <input type="checkbox"/>            |
|        | Gegenereerde belastingcombinaties                               |                                       |                                     |
|        | Genereert door  | Ontwerpsituatie Nr. 3                 |                                     |
| 136    | <b>SFr</b> $A1 + 0.20 * A2 + 0.00 * A3 + 0.00 * A5 + 0.60 * A7$ |                                       |                                     |
|        | Ontwerpsituatie   | <b>SFr</b> OS3 - BGT - Frequent       | <input type="checkbox"/>            |
|        | Gegenereerde belastingcombinaties                               |                                       |                                     |
|        | Genereert door  | Ontwerpsituatie Nr. 3                 |                                     |
| 137    | <b>SFr</b> $A1 + 0.20 * A2 + 0.00 * A3 + 0.60 * A7$             |                                       |                                     |
|        | Ontwerpsituatie   | <b>SFr</b> OS3 - BGT - Frequent       | <input type="checkbox"/>            |
|        | Gegenereerde belastingcombinaties                               |                                       |                                     |
|        | Genereert door  | Ontwerpsituatie Nr. 3                 |                                     |
| 138    | <b>SFr</b> $A1 + 0.20 * A2 + 0.00 * A5$                         |                                       |                                     |
|        | Ontwerpsituatie   | <b>SFr</b> OS3 - BGT - Frequent       | <input type="checkbox"/>            |
|        | Gegenereerde belastingcombinaties                               |                                       |                                     |
|        | Genereert door  | Ontwerpsituatie Nr. 3                 |                                     |
| 139    | <b>SFr</b> $A1 + 0.20 * A2 + 0.00 * A5 + 0.60 * A7$             |                                       |                                     |
|        | Ontwerpsituatie   | <b>SFr</b> OS3 - BGT - Frequent       | <input type="checkbox"/>            |
|        | Gegenereerde belastingcombinaties                               |                                       |                                     |
|        | Genereert door  | Ontwerpsituatie Nr. 3                 |                                     |
| 140    | <b>SFr</b> $A1 + 0.20 * A2 + 0.60 * A7$                         |                                       |                                     |
|        | Ontwerpsituatie   | <b>SFr</b> OS3 - BGT - Frequent       | <input checked="" type="checkbox"/> |
|        | Gegenereerde belastingcombinaties                               | 70                                    |                                     |
|        | Genereert door  | Ontwerpsituatie Nr. 3                 |                                     |
| 141    | <b>SFr</b> $A1 + 0.20 * A3$                                     |                                       |                                     |
|        | Ontwerpsituatie   | <b>SFr</b> OS3 - BGT - Frequent       | <input checked="" type="checkbox"/> |

## 4.4

## ACTIECOMBINATIES

| AC Nr. | Instel.   | Waarde                          | Actief                              |
|--------|---|---------------------------------|-------------------------------------|
|        | Gegenereerde belastingcombinaties   | 71-78                           |                                     |
|        | Genereert door  | Ontwerpsituatie Nr. 3           |                                     |
| 142    | <b>SFr</b> $A1 + 0.00 \cdot A2 + 0.20 \cdot A3$                                 |                                 |                                     |
|        | Ontwerpsituatie   | <b>SFr</b> OS3 - BGT - Frequent | <input type="checkbox"/>            |
|        | Gegenereerde belastingcombinaties   |                                 |                                     |
|        | Genereert door  | Ontwerpsituatie Nr. 3           |                                     |
| 143    | <b>SFr</b> $A1 + 0.00 \cdot A2 + 0.20 \cdot A3 + 0.00 \cdot A5$                 |                                 |                                     |
|        | Ontwerpsituatie   | <b>SFr</b> OS3 - BGT - Frequent | <input type="checkbox"/>            |
|        | Gegenereerde belastingcombinaties   |                                 |                                     |
|        | Genereert door  | Ontwerpsituatie Nr. 3           |                                     |
| 144    | <b>SFr</b> $A1 + 0.00 \cdot A2 + 0.20 \cdot A3 + 0.00 \cdot A5 + 0.60 \cdot A7$ |                                 |                                     |
|        | Ontwerpsituatie   | <b>SFr</b> OS3 - BGT - Frequent | <input type="checkbox"/>            |
|        | Gegenereerde belastingcombinaties   |                                 |                                     |
|        | Genereert door  | Ontwerpsituatie Nr. 3           |                                     |
| 145    | <b>SFr</b> $A1 + 0.00 \cdot A2 + 0.20 \cdot A3 + 0.60 \cdot A7$                 |                                 |                                     |
|        | Ontwerpsituatie   | <b>SFr</b> OS3 - BGT - Frequent | <input type="checkbox"/>            |
|        | Gegenereerde belastingcombinaties   |                                 |                                     |
|        | Genereert door  | Ontwerpsituatie Nr. 3           |                                     |
| 146    | <b>SFr</b> $A1 + 0.20 \cdot A3 + 0.00 \cdot A5$                                 |                                 |                                     |
|        | Ontwerpsituatie   | <b>SFr</b> OS3 - BGT - Frequent | <input type="checkbox"/>            |
|        | Gegenereerde belastingcombinaties   |                                 |                                     |
|        | Genereert door  | Ontwerpsituatie Nr. 3           |                                     |
| 147    | <b>SFr</b> $A1 + 0.20 \cdot A3 + 0.00 \cdot A5 + 0.60 \cdot A7$                 |                                 |                                     |
|        | Ontwerpsituatie   | <b>SFr</b> OS3 - BGT - Frequent | <input type="checkbox"/>            |
|        | Gegenereerde belastingcombinaties   |                                 |                                     |
|        | Genereert door  | Ontwerpsituatie Nr. 3           |                                     |
| 148    | <b>SFr</b> $A1 + 0.20 \cdot A3 + 0.60 \cdot A7$                                 |                                 |                                     |
|        | Ontwerpsituatie   | <b>SFr</b> OS3 - BGT - Frequent | <input checked="" type="checkbox"/> |
|        | Gegenereerde belastingcombinaties   | 79-86                           |                                     |
|        | Genereert door  | Ontwerpsituatie Nr. 3           |                                     |
| 149    | <b>SFr</b> $A1 + 0.00 \cdot A5$   |                                 |                                     |
|        | Ontwerpsituatie   | <b>SFr</b> OS3 - BGT - Frequent | <input type="checkbox"/>            |
|        | Gegenereerde belastingcombinaties   |                                 |                                     |
|        | Genereert door  | Ontwerpsituatie Nr. 3           |                                     |
| 150    | <b>SFr</b> $A1 + 0.00 \cdot A2 + 0.00 \cdot A5$                                 |                                 |                                     |
|        | Ontwerpsituatie   | <b>SFr</b> OS3 - BGT - Frequent | <input type="checkbox"/>            |
|        | Gegenereerde belastingcombinaties   |                                 |                                     |
|        | Genereert door  | Ontwerpsituatie Nr. 3           |                                     |
| 151    | <b>SFr</b> $A1 + 0.00 \cdot A2 + 0.00 \cdot A3 + 0.00 \cdot A5$                 |                                 |                                     |
|        | Ontwerpsituatie   | <b>SFr</b> OS3 - BGT - Frequent | <input type="checkbox"/>            |
|        | Gegenereerde belastingcombinaties   |                                 |                                     |
|        | Genereert door  | Ontwerpsituatie Nr. 3           |                                     |
| 152    | <b>SFr</b> $A1 + 0.00 \cdot A2 + 0.00 \cdot A3 + 0.00 \cdot A5 + 0.60 \cdot A7$ |                                 |                                     |
|        | Ontwerpsituatie   | <b>SFr</b> OS3 - BGT - Frequent | <input type="checkbox"/>            |
|        | Gegenereerde belastingcombinaties   |                                 |                                     |
|        | Genereert door  | Ontwerpsituatie Nr. 3           |                                     |
| 153    | <b>SFr</b> $A1 + 0.00 \cdot A2 + 0.00 \cdot A5 + 0.60 \cdot A7$                 |                                 |                                     |
|        | Ontwerpsituatie   | <b>SFr</b> OS3 - BGT - Frequent | <input type="checkbox"/>            |
|        | Gegenereerde belastingcombinaties   |                                 |                                     |
|        | Genereert door  | Ontwerpsituatie Nr. 3           |                                     |
| 154    | <b>SFr</b> $A1 + 0.00 \cdot A3 + 0.00 \cdot A5$                                 |                                 |                                     |
|        | Ontwerpsituatie   | <b>SFr</b> OS3 - BGT - Frequent | <input type="checkbox"/>            |
|        | Gegenereerde belastingcombinaties   |                                 |                                     |
|        | Genereert door  | Ontwerpsituatie Nr. 3           |                                     |
| 155    | <b>SFr</b> $A1 + 0.00 \cdot A3 + 0.00 \cdot A5 + 0.60 \cdot A7$                 |                                 |                                     |
|        | Ontwerpsituatie   | <b>SFr</b> OS3 - BGT - Frequent | <input type="checkbox"/>            |
|        | Gegenereerde belastingcombinaties   |                                 |                                     |
|        | Genereert door  | Ontwerpsituatie Nr. 3           |                                     |
| 156    | <b>SFr</b> $A1 + 0.00 \cdot A5 + 0.60 \cdot A7$                                 |                                 |                                     |
|        | Ontwerpsituatie   | <b>SFr</b> OS3 - BGT - Frequent | <input checked="" type="checkbox"/> |
|        | Gegenereerde belastingcombinaties   | 87                              |                                     |
|        | Genereert door  | Ontwerpsituatie Nr. 3           |                                     |
| 157    | <b>SFr</b> $A1 + 0.70 \cdot A7$   |                                 |                                     |
|        | Ontwerpsituatie   | <b>SFr</b> OS3 - BGT - Frequent | <input checked="" type="checkbox"/> |



## 4.4















## ACTIECOMBINATIES

| AC Nr. | Instel.   | Waarde                                | Actief                              |
|--------|---|---------------------------------------|-------------------------------------|
|        | Gegenereerde belastingcombinaties   | 88                                    |                                     |
|        | Genereert door  | Ontwerpsituatie Nr. 3                 |                                     |
| 158    | <b>SFr</b> $A1 + 0.00 \cdot A2 + 0.70 \cdot A7$                                 |                                       |                                     |
|        | Ontwerpsituatie   | <b>SFr</b> OS3 - BGT - Frequent       | <input type="checkbox"/>            |
|        | Gegenereerde belastingcombinaties   |                                       |                                     |
|        | Genereert door  | Ontwerpsituatie Nr. 3                 |                                     |
| 159    | <b>SFr</b> $A1 + 0.00 \cdot A2 + 0.00 \cdot A3 + 0.70 \cdot A7$                 |                                       |                                     |
|        | Ontwerpsituatie   | <b>SFr</b> OS3 - BGT - Frequent       | <input type="checkbox"/>            |
|        | Gegenereerde belastingcombinaties   |                                       |                                     |
|        | Genereert door  | Ontwerpsituatie Nr. 3                 |                                     |
| 160    | <b>SFr</b> $A1 + 0.00 \cdot A2 + 0.00 \cdot A3 + 0.00 \cdot A5 + 0.70 \cdot A7$ |                                       |                                     |
|        | Ontwerpsituatie   | <b>SFr</b> OS3 - BGT - Frequent       | <input type="checkbox"/>            |
|        | Gegenereerde belastingcombinaties   |                                       |                                     |
|        | Genereert door  | Ontwerpsituatie Nr. 3                 |                                     |
| 161    | <b>SFr</b> $A1 + 0.00 \cdot A2 + 0.00 \cdot A5 + 0.70 \cdot A7$                 |                                       |                                     |
|        | Ontwerpsituatie   | <b>SFr</b> OS3 - BGT - Frequent       | <input type="checkbox"/>            |
|        | Gegenereerde belastingcombinaties   |                                       |                                     |
|        | Genereert door  | Ontwerpsituatie Nr. 3                 |                                     |
| 162    | <b>SFr</b> $A1 + 0.00 \cdot A3 + 0.70 \cdot A7$                                 |                                       |                                     |
|        | Ontwerpsituatie   | <b>SFr</b> OS3 - BGT - Frequent       | <input type="checkbox"/>            |
|        | Gegenereerde belastingcombinaties   |                                       |                                     |
|        | Genereert door  | Ontwerpsituatie Nr. 3                 |                                     |
| 163    | <b>SFr</b> $A1 + 0.00 \cdot A3 + 0.00 \cdot A5 + 0.70 \cdot A7$                 |                                       |                                     |
|        | Ontwerpsituatie   | <b>SFr</b> OS3 - BGT - Frequent       | <input type="checkbox"/>            |
|        | Gegenereerde belastingcombinaties   |                                       |                                     |
|        | Genereert door  | Ontwerpsituatie Nr. 3                 |                                     |
| 164    | <b>SFr</b> $A1 + 0.00 \cdot A5 + 0.70 \cdot A7$                                 |                                       |                                     |
|        | Ontwerpsituatie   | <b>SFr</b> OS3 - BGT - Frequent       | <input type="checkbox"/>            |
|        | Gegenereerde belastingcombinaties   |                                       |                                     |
|        | Genereert door  | Ontwerpsituatie Nr. 3                 |                                     |
| 165    | <b>SCp</b> $A1$   |                                       |                                     |
|        | Ontwerpsituatie   | <b>SCp</b> OS4 - BGT - Quasi-blijvend | <input checked="" type="checkbox"/> |
|        | Gegenereerde belastingcombinaties   | 89                                    |                                     |
|        | Genereert door  | Ontwerpsituatie Nr. 4                 |                                     |
| 166    | <b>SCp</b> $A1 + 0.00 \cdot A2$   |                                       |                                     |
|        | Ontwerpsituatie   | <b>SCp</b> OS4 - BGT - Quasi-blijvend | <input type="checkbox"/>            |
|        | Gegenereerde belastingcombinaties   |                                       |                                     |
|        | Genereert door  | Ontwerpsituatie Nr. 4                 |                                     |
| 167    | <b>SCp</b> $A1 + 0.00 \cdot A2 + 0.00 \cdot A3$                                 |                                       |                                     |
|        | Ontwerpsituatie   | <b>SCp</b> OS4 - BGT - Quasi-blijvend | <input type="checkbox"/>            |
|        | Gegenereerde belastingcombinaties   |                                       |                                     |
|        | Genereert door  | Ontwerpsituatie Nr. 4                 |                                     |
| 168    | <b>SCp</b> $A1 + 0.00 \cdot A2 + 0.00 \cdot A3 + 0.00 \cdot A5$                 |                                       |                                     |
|        | Ontwerpsituatie   | <b>SCp</b> OS4 - BGT - Quasi-blijvend | <input type="checkbox"/>            |
|        | Gegenereerde belastingcombinaties   |                                       |                                     |
|        | Genereert door  | Ontwerpsituatie Nr. 4                 |                                     |
| 169    | <b>SCp</b> $A1 + 0.00 \cdot A2 + 0.00 \cdot A3 + 0.00 \cdot A5 + 0.60 \cdot A7$ |                                       |                                     |
|        | Ontwerpsituatie   | <b>SCp</b> OS4 - BGT - Quasi-blijvend | <input type="checkbox"/>            |
|        | Gegenereerde belastingcombinaties   |                                       |                                     |
|        | Genereert door  | Ontwerpsituatie Nr. 4                 |                                     |
| 170    | <b>SCp</b> $A1 + 0.00 \cdot A2 + 0.00 \cdot A3 + 0.60 \cdot A7$                 |                                       |                                     |
|        | Ontwerpsituatie   | <b>SCp</b> OS4 - BGT - Quasi-blijvend | <input type="checkbox"/>            |
|        | Gegenereerde belastingcombinaties   |                                       |                                     |
|        | Genereert door  | Ontwerpsituatie Nr. 4                 |                                     |
| 171    | <b>SCp</b> $A1 + 0.00 \cdot A2 + 0.00 \cdot A5$                                 |                                       |                                     |
|        | Ontwerpsituatie   | <b>SCp</b> OS4 - BGT - Quasi-blijvend | <input type="checkbox"/>            |
|        | Gegenereerde belastingcombinaties   |                                       |                                     |
|        | Genereert door  | Ontwerpsituatie Nr. 4                 |                                     |
| 172    | <b>SCp</b> $A1 + 0.00 \cdot A2 + 0.00 \cdot A5 + 0.60 \cdot A7$                 |                                       |                                     |
|        | Ontwerpsituatie   | <b>SCp</b> OS4 - BGT - Quasi-blijvend | <input type="checkbox"/>            |
|        | Gegenereerde belastingcombinaties   |                                       |                                     |
|        | Genereert door  | Ontwerpsituatie Nr. 4                 |                                     |
| 173    | <b>SCp</b> $A1 + 0.00 \cdot A2 + 0.60 \cdot A7$                                 |                                       |                                     |
|        | Ontwerpsituatie   | <b>SCp</b> OS4 - BGT - Quasi-blijvend | <input type="checkbox"/>            |

**MODEL**

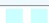







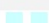



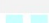


4.4

**ACTIECOMBINATIES**

| AC Nr. | Instel.  | Waarde  | Actief                              |
|--------|--|---|-------------------------------------|
|        | Gegenereerde belastingcombinaties<br>Genereert door  | Ontwerpsituatie Nr. 4   |                                     |
| 174    |  A1 + 0.00 * A3<br>Ontwerpsituatie<br>Gegenereerde belastingcombinaties<br>Genereert door                         |  OS4 - BGT - Quasi-blijvend<br>Ontwerpsituatie Nr. 4         | <input type="checkbox"/>            |
| 175    |  A1 + 0.00 * A3 + 0.00 * A5<br>Ontwerpsituatie<br>Gegenereerde belastingcombinaties<br>Genereert door             |  OS4 - BGT - Quasi-blijvend<br>Ontwerpsituatie Nr. 4         | <input type="checkbox"/>            |
| 176    |  A1 + 0.00 * A3 + 0.00 * A5 + 0.60 * A7<br>Ontwerpsituatie<br>Gegenereerde belastingcombinaties<br>Genereert door |  OS4 - BGT - Quasi-blijvend<br>Ontwerpsituatie Nr. 4         | <input type="checkbox"/>            |
| 177    |  A1 + 0.00 * A3 + 0.60 * A7<br>Ontwerpsituatie<br>Gegenereerde belastingcombinaties<br>Genereert door             |  OS4 - BGT - Quasi-blijvend<br>Ontwerpsituatie Nr. 4         | <input type="checkbox"/>            |
| 178    |  A1 + 0.00 * A5<br>Ontwerpsituatie<br>Gegenereerde belastingcombinaties<br>Genereert door                         |  OS4 - BGT - Quasi-blijvend<br>Ontwerpsituatie Nr. 4         | <input type="checkbox"/>            |
| 179    |  A1 + 0.00 * A5 + 0.60 * A7<br>Ontwerpsituatie<br>Gegenereerde belastingcombinaties<br>Genereert door           |  OS4 - BGT - Quasi-blijvend<br>Ontwerpsituatie Nr. 4       | <input type="checkbox"/>            |
| 180    |  A1 + 0.60 * A7<br>Ontwerpsituatie<br>Gegenereerde belastingcombinaties<br>Genereert door                       |  OS4 - BGT - Quasi-blijvend<br>90<br>Ontwerpsituatie Nr. 4 | <input checked="" type="checkbox"/> |

4.5

**BELASTINGCOMBINATIES**

| CO Nr. | Instel.   | Waarde  | Eenheid | Te Berek.                           |
|--------|---|---|---------|-------------------------------------|
| 1      |  1.35 * BG1<br>Berekening type<br>Instellingen voor statische berekening<br>Ontwerpsituatie                            | Statische Berekening<br>SB1 - Geometrisch lineair   Newton-Raphson<br> OS1 - UGT (STR/GEO) - Blijvend en tijdelijk - Vergelijking 6.10a en 6.10b |         | <input checked="" type="checkbox"/> |
| 2      |  1.35 * BG1 + 0.60 * BG16<br>Berekening type<br>Instellingen voor statische berekening<br>Ontwerpsituatie              | Statische Berekening<br>SB1 - Geometrisch lineair   Newton-Raphson<br> OS1 - UGT (STR/GEO) - Blijvend en tijdelijk - Vergelijking 6.10a en 6.10b |         | <input checked="" type="checkbox"/> |
| 3      |  0.90 * BG1 + 0.60 * BG16<br>Berekening type<br>Instellingen voor statische berekening<br>Ontwerpsituatie              | Statische Berekening<br>SB1 - Geometrisch lineair   Newton-Raphson<br> OS1 - UGT (STR/GEO) - Blijvend en tijdelijk - Vergelijking 6.10a en 6.10b |         | <input checked="" type="checkbox"/> |
| 4      |  1.20 * BG1 + 1.50 * BG2<br>Berekening type<br>Instellingen voor statische berekening<br>Ontwerpsituatie               | Statische Berekening<br>SB1 - Geometrisch lineair   Newton-Raphson<br> OS1 - UGT (STR/GEO) - Blijvend en tijdelijk - Vergelijking 6.10a en 6.10b |         | <input checked="" type="checkbox"/> |
| 5      |  1.20 * BG1 + 1.50 * BG2 + 0.60 * BG16<br>Berekening type<br>Instellingen voor statische berekening<br>Ontwerpsituatie | Statische Berekening<br>SB1 - Geometrisch lineair   Newton-Raphson<br> OS1 - UGT (STR/GEO) - Blijvend en tijdelijk - Vergelijking 6.10a en 6.10b |         | <input checked="" type="checkbox"/> |
| 6      |  1.20 * BG1 + 1.50 * BG3<br>Berekening type<br>Instellingen voor statische berekening<br>Ontwerpsituatie               | Statische Berekening<br>SB1 - Geometrisch lineair   Newton-Raphson<br> OS1 - UGT (STR/GEO) - Blijvend en tijdelijk - Vergelijking 6.10a en 6.10b |         | <input checked="" type="checkbox"/> |
| 7      |  1.20 * BG1 + 1.50 * BG4<br>Berekening type<br>Instellingen voor statische berekening<br>Ontwerpsituatie               | Statische Berekening<br>SB1 - Geometrisch lineair   Newton-Raphson<br> OS1 - UGT (STR/GEO) - Blijvend en tijdelijk - Vergelijking 6.10a en 6.10b |         | <input checked="" type="checkbox"/> |
| 8      |  1.20 * BG1 + 1.50 * BG5<br>Berekening type  | Statische Berekening  |         | <input checked="" type="checkbox"/> |

**MODEL**

4.5

**BELASTINGCOMBINATIES**

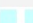
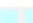


| CO Nr. | Instel.                                     | Waarde   | Eenheid | Te Berek. |
|--------|---|--|---------|-----------|
|        | Instellingen voor statische berekening      | SB1 - Geometrisch lineair   Newton-Raphson                                     |         |           |
|        | Ontwerpsituatie                             | ULSY OS1 - UGT (STR/GEO) - Blijvend en tijdelijk - Vergelijking 6.10a en 6.10b |         |           |
| 9      | ULSY 1.20 * BG1 + 1.50 * BG6                |  |         |           |
|        | Berekening type                             | Statische Berekening   |         | ☒         |
|        | Instellingen voor statische berekening      | SB1 - Geometrisch lineair   Newton-Raphson                                     |         |           |
|        | Ontwerpsituatie                             | ULSY OS1 - UGT (STR/GEO) - Blijvend en tijdelijk - Vergelijking 6.10a en 6.10b |         |           |
| 10     | ULSY 1.20 * BG1 + 1.50 * BG8                |  |         |           |
|        | Berekening type                             | Statische Berekening   |         | ☒         |
|        | Instellingen voor statische berekening      | SB1 - Geometrisch lineair   Newton-Raphson                                     |         |           |
|        | Ontwerpsituatie                             | ULSY OS1 - UGT (STR/GEO) - Blijvend en tijdelijk - Vergelijking 6.10a en 6.10b |         |           |
| 11     | ULSY 1.20 * BG1 + 1.50 * BG9                |  |         |           |
|        | Berekening type                             | Statische Berekening   |         | ☒         |
|        | Instellingen voor statische berekening      | SB1 - Geometrisch lineair   Newton-Raphson                                     |         |           |
|        | Ontwerpsituatie                             | ULSY OS1 - UGT (STR/GEO) - Blijvend en tijdelijk - Vergelijking 6.10a en 6.10b |         |           |
| 12     | ULSY 1.20 * BG1 + 1.50 * BG10               |  |         |           |
|        | Berekening type                             | Statische Berekening   |         | ☒         |
|        | Instellingen voor statische berekening      | SB1 - Geometrisch lineair   Newton-Raphson                                     |         |           |
|        | Ontwerpsituatie                             | ULSY OS1 - UGT (STR/GEO) - Blijvend en tijdelijk - Vergelijking 6.10a en 6.10b |         |           |
| 13     | ULSY 1.20 * BG1 + 1.50 * BG11               |  |         |           |
|        | Berekening type                             | Statische Berekening   |         | ☒         |
|        | Instellingen voor statische berekening      | SB1 - Geometrisch lineair   Newton-Raphson                                     |         |           |
|        | Ontwerpsituatie                             | ULSY OS1 - UGT (STR/GEO) - Blijvend en tijdelijk - Vergelijking 6.10a en 6.10b |         |           |
| 14     | ULSY 1.20 * BG1 + 1.50 * BG3 + 0.60 * BG16  |  |         |           |
|        | Berekening type                             | Statische Berekening   |         | ☒         |
|        | Instellingen voor statische berekening      | SB1 - Geometrisch lineair   Newton-Raphson                                     |         |           |
|        | Ontwerpsituatie                             | ULSY OS1 - UGT (STR/GEO) - Blijvend en tijdelijk - Vergelijking 6.10a en 6.10b |         |           |
| 15     | ULSY 1.20 * BG1 + 1.50 * BG4 + 0.60 * BG16  |  |         |           |
|        | Berekening type                             | Statische Berekening   |         | ☒         |
|        | Instellingen voor statische berekening      | SB1 - Geometrisch lineair   Newton-Raphson                                     |         |           |
|        | Ontwerpsituatie                             | ULSY OS1 - UGT (STR/GEO) - Blijvend en tijdelijk - Vergelijking 6.10a en 6.10b |         |           |
| 16     | ULSY 1.20 * BG1 + 1.50 * BG5 + 0.60 * BG16  |  |         |           |
|        | Berekening type                             | Statische Berekening   |         | ☒         |
|        | Instellingen voor statische berekening      | SB1 - Geometrisch lineair   Newton-Raphson                                     |         |           |
|        | Ontwerpsituatie                             | ULSY OS1 - UGT (STR/GEO) - Blijvend en tijdelijk - Vergelijking 6.10a en 6.10b |         |           |
| 17     | ULSY 1.20 * BG1 + 1.50 * BG6 + 0.60 * BG16  |  |         |           |
|        | Berekening type                             | Statische Berekening   |         | ☒         |
|        | Instellingen voor statische berekening      | SB1 - Geometrisch lineair   Newton-Raphson                                     |         |           |
|        | Ontwerpsituatie                             | ULSY OS1 - UGT (STR/GEO) - Blijvend en tijdelijk - Vergelijking 6.10a en 6.10b |         |           |
| 18     | ULSY 1.20 * BG1 + 1.50 * BG8 + 0.60 * BG16  |  |         |           |
|        | Berekening type                             | Statische Berekening   |         | ☒         |
|        | Instellingen voor statische berekening      | SB1 - Geometrisch lineair   Newton-Raphson                                     |         |           |
|        | Ontwerpsituatie                             | ULSY OS1 - UGT (STR/GEO) - Blijvend en tijdelijk - Vergelijking 6.10a en 6.10b |         |           |
| 19     | ULSY 1.20 * BG1 + 1.50 * BG9 + 0.60 * BG16  |  |         |           |
|        | Berekening type                             | Statische Berekening   |         | ☒         |
|        | Instellingen voor statische berekening      | SB1 - Geometrisch lineair   Newton-Raphson                                     |         |           |
|        | Ontwerpsituatie                             | ULSY OS1 - UGT (STR/GEO) - Blijvend en tijdelijk - Vergelijking 6.10a en 6.10b |         |           |
| 20     | ULSY 1.20 * BG1 + 1.50 * BG10 + 0.60 * BG16 |  |         |           |
|        | Berekening type                             | Statische Berekening   |         | ☒         |
|        | Instellingen voor statische berekening      | SB1 - Geometrisch lineair   Newton-Raphson                                     |         |           |
|        | Ontwerpsituatie                             | ULSY OS1 - UGT (STR/GEO) - Blijvend en tijdelijk - Vergelijking 6.10a en 6.10b |         |           |
| 21     | ULSY 1.20 * BG1 + 1.50 * BG11 + 0.60 * BG16 |  |         |           |
|        | Berekening type                             | Statische Berekening   |         | ☒         |
|        | Instellingen voor statische berekening      | SB1 - Geometrisch lineair   Newton-Raphson                                     |         |           |
|        | Ontwerpsituatie                             | ULSY OS1 - UGT (STR/GEO) - Blijvend en tijdelijk - Vergelijking 6.10a en 6.10b |         |           |
| 22     | ULSY 1.20 * BG1 + 1.50 * BG7                |  |         |           |
|        | Berekening type                             | Statische Berekening   |         | ☒         |
|        | Instellingen voor statische berekening      | SB1 - Geometrisch lineair   Newton-Raphson                                     |         |           |
|        | Ontwerpsituatie                             | ULSY OS1 - UGT (STR/GEO) - Blijvend en tijdelijk - Vergelijking 6.10a en 6.10b |         |           |
| 23     | ULSY 1.20 * BG1 + 1.50 * BG7 + 0.60 * BG16  |  |         |           |
|        | Berekening type                             | Statische Berekening   |         | ☒         |
|        | Instellingen voor statische berekening      | SB1 - Geometrisch lineair   Newton-Raphson                                     |         |           |
|        | Ontwerpsituatie                             | ULSY OS1 - UGT (STR/GEO) - Blijvend en tijdelijk - Vergelijking 6.10a en 6.10b |         |           |
| 24     | ULSY 1.20 * BG1 + 1.50 * BG16               |  |         |           |
|        | Berekening type                             | Statische Berekening   |         | ☒         |



MODEL

4.5

BELASTINGCOMBINATIES

| CO Nr. | Instel.   | Waarde   | Eenheid | Te Berek.                           |
|--------|---|--|---------|-------------------------------------|
|        | Instellingen voor statische berekening  | SB1 - Geometrisch lineair   Newton-Raphson                                     |         |                                     |
|        | Ontwerpsituatie   | ULSY OS1 - UGT (STR/GEO) - Blijvend en tijdelijk - Vergelijking 6.10a en 6.10b |         |                                     |
| 25     |  0.90 * BG1 + 1.50 * BG2                 |  |         |                                     |
|        | Berekening type   | Statische Berekening   |         | <input checked="" type="checkbox"/> |
|        | Instellingen voor statische berekening  | SB1 - Geometrisch lineair   Newton-Raphson                                     |         |                                     |
|        | Ontwerpsituatie   | ULSY OS1 - UGT (STR/GEO) - Blijvend en tijdelijk - Vergelijking 6.10a en 6.10b |         |                                     |
| 26     |  0.90 * BG1 + 1.50 * BG2 + 0.60 * BG16   |  |         |                                     |
|        | Berekening type   | Statische Berekening   |         | <input checked="" type="checkbox"/> |
|        | Instellingen voor statische berekening  | SB1 - Geometrisch lineair   Newton-Raphson                                     |         |                                     |
|        | Ontwerpsituatie   | ULSY OS1 - UGT (STR/GEO) - Blijvend en tijdelijk - Vergelijking 6.10a en 6.10b |         |                                     |
| 27     |  0.90 * BG1 + 1.50 * BG3                 |  |         |                                     |
|        | Berekening type   | Statische Berekening   |         | <input checked="" type="checkbox"/> |
|        | Instellingen voor statische berekening  | SB1 - Geometrisch lineair   Newton-Raphson                                     |         |                                     |
|        | Ontwerpsituatie   | ULSY OS1 - UGT (STR/GEO) - Blijvend en tijdelijk - Vergelijking 6.10a en 6.10b |         |                                     |
| 28     |  0.90 * BG1 + 1.50 * BG4                 |  |         |                                     |
|        | Berekening type   | Statische Berekening   |         | <input checked="" type="checkbox"/> |
|        | Instellingen voor statische berekening  | SB1 - Geometrisch lineair   Newton-Raphson                                     |         |                                     |
|        | Ontwerpsituatie   | ULSY OS1 - UGT (STR/GEO) - Blijvend en tijdelijk - Vergelijking 6.10a en 6.10b |         |                                     |
| 29     |  0.90 * BG1 + 1.50 * BG5                 |  |         |                                     |
|        | Berekening type   | Statische Berekening   |         | <input checked="" type="checkbox"/> |
|        | Instellingen voor statische berekening  | SB1 - Geometrisch lineair   Newton-Raphson                                     |         |                                     |
|        | Ontwerpsituatie   | ULSY OS1 - UGT (STR/GEO) - Blijvend en tijdelijk - Vergelijking 6.10a en 6.10b |         |                                     |
| 30     |  0.90 * BG1 + 1.50 * BG6               |  |         |                                     |
|        | Berekening type   | Statische Berekening   |         | <input checked="" type="checkbox"/> |
|        | Instellingen voor statische berekening  | SB1 - Geometrisch lineair   Newton-Raphson                                     |         |                                     |
|        | Ontwerpsituatie   | ULSY OS1 - UGT (STR/GEO) - Blijvend en tijdelijk - Vergelijking 6.10a en 6.10b |         |                                     |
| 31     |  0.90 * BG1 + 1.50 * BG8               |  |         |                                     |
|        | Berekening type   | Statische Berekening   |         | <input checked="" type="checkbox"/> |
|        | Instellingen voor statische berekening  | SB1 - Geometrisch lineair   Newton-Raphson                                     |         |                                     |
|        | Ontwerpsituatie   | ULSY OS1 - UGT (STR/GEO) - Blijvend en tijdelijk - Vergelijking 6.10a en 6.10b |         |                                     |
| 32     |  0.90 * BG1 + 1.50 * BG9               |  |         |                                     |
|        | Berekening type   | Statische Berekening   |         | <input checked="" type="checkbox"/> |
|        | Instellingen voor statische berekening  | SB1 - Geometrisch lineair   Newton-Raphson                                     |         |                                     |
|        | Ontwerpsituatie   | ULSY OS1 - UGT (STR/GEO) - Blijvend en tijdelijk - Vergelijking 6.10a en 6.10b |         |                                     |
| 33     |  0.90 * BG1 + 1.50 * BG10              |  |         |                                     |
|        | Berekening type   | Statische Berekening   |         | <input checked="" type="checkbox"/> |
|        | Instellingen voor statische berekening  | SB1 - Geometrisch lineair   Newton-Raphson                                     |         |                                     |
|        | Ontwerpsituatie   | ULSY OS1 - UGT (STR/GEO) - Blijvend en tijdelijk - Vergelijking 6.10a en 6.10b |         |                                     |
| 34     |  0.90 * BG1 + 1.50 * BG11              |  |         |                                     |
|        | Berekening type   | Statische Berekening   |         | <input checked="" type="checkbox"/> |
|        | Instellingen voor statische berekening  | SB1 - Geometrisch lineair   Newton-Raphson                                     |         |                                     |
|        | Ontwerpsituatie   | ULSY OS1 - UGT (STR/GEO) - Blijvend en tijdelijk - Vergelijking 6.10a en 6.10b |         |                                     |
| 35     |  0.90 * BG1 + 1.50 * BG3 + 0.60 * BG16 |  |         |                                     |
|        | Berekening type   | Statische Berekening   |         | <input checked="" type="checkbox"/> |
|        | Instellingen voor statische berekening  | SB1 - Geometrisch lineair   Newton-Raphson                                     |         |                                     |
|        | Ontwerpsituatie   | ULSY OS1 - UGT (STR/GEO) - Blijvend en tijdelijk - Vergelijking 6.10a en 6.10b |         |                                     |
| 36     |  0.90 * BG1 + 1.50 * BG4 + 0.60 * BG16 |  |         |                                     |
|        | Berekening type   | Statische Berekening   |         | <input checked="" type="checkbox"/> |
|        | Instellingen voor statische berekening  | SB1 - Geometrisch lineair   Newton-Raphson                                     |         |                                     |
|        | Ontwerpsituatie   | ULSY OS1 - UGT (STR/GEO) - Blijvend en tijdelijk - Vergelijking 6.10a en 6.10b |         |                                     |
| 37     |  0.90 * BG1 + 1.50 * BG5 + 0.60 * BG16 |  |         |                                     |
|        | Berekening type   | Statische Berekening   |         | <input checked="" type="checkbox"/> |
|        | Instellingen voor statische berekening  | SB1 - Geometrisch lineair   Newton-Raphson                                     |         |                                     |
|        | Ontwerpsituatie   | ULSY OS1 - UGT (STR/GEO) - Blijvend en tijdelijk - Vergelijking 6.10a en 6.10b |         |                                     |
| 38     |  0.90 * BG1 + 1.50 * BG6 + 0.60 * BG16 |  |         |                                     |
|        | Berekening type   | Statische Berekening   |         | <input checked="" type="checkbox"/> |
|        | Instellingen voor statische berekening  | SB1 - Geometrisch lineair   Newton-Raphson                                     |         |                                     |
|        | Ontwerpsituatie   | ULSY OS1 - UGT (STR/GEO) - Blijvend en tijdelijk - Vergelijking 6.10a en 6.10b |         |                                     |
| 39     |  0.90 * BG1 + 1.50 * BG8 + 0.60 * BG16 |  |         |                                     |
|        | Berekening type   | Statische Berekening   |         | <input checked="" type="checkbox"/> |
|        | Instellingen voor statische berekening  | SB1 - Geometrisch lineair   Newton-Raphson                                     |         |                                     |
|        | Ontwerpsituatie   | ULSY OS1 - UGT (STR/GEO) - Blijvend en tijdelijk - Vergelijking 6.10a en 6.10b |         |                                     |
| 40     |  0.90 * BG1 + 1.50 * BG9 + 0.60 * BG16 |  |         |                                     |
|        | Berekening type   | Statische Berekening   |         | <input checked="" type="checkbox"/> |

4.5

BELASTINGCOMBINATIES

| CO Nr. | Instel.                                     | Waarde   | Eenheid | Te Berek. |
|--------|---|--|---------|-----------|
|        | Instellingen voor statische berekening      | SB1 - Geometrisch lineair   Newton-Raphson                                     |         |           |
|        | Ontwerpsituatie                             | ULSY OS1 - UGT (STR/GEO) - Blijvend en tijdelijk - Vergelijking 6.10a en 6.10b |         |           |
| 41     | ULSY 0.90 * BG1 + 1.50 * BG10 + 0.60 * BG16 |  |         |           |
|        | Berekening type                             | Statische Berekening   |         | ☒         |
|        | Instellingen voor statische berekening      | SB1 - Geometrisch lineair   Newton-Raphson                                     |         |           |
|        | Ontwerpsituatie                             | ULSY OS1 - UGT (STR/GEO) - Blijvend en tijdelijk - Vergelijking 6.10a en 6.10b |         |           |
| 42     | ULSY 0.90 * BG1 + 1.50 * BG11 + 0.60 * BG16 |  |         |           |
|        | Berekening type                             | Statische Berekening   |         | ☒         |
|        | Instellingen voor statische berekening      | SB1 - Geometrisch lineair   Newton-Raphson                                     |         |           |
|        | Ontwerpsituatie                             | ULSY OS1 - UGT (STR/GEO) - Blijvend en tijdelijk - Vergelijking 6.10a en 6.10b |         |           |
| 43     | ULSY 0.90 * BG1 + 1.50 * BG7                |  |         |           |
|        | Berekening type                             | Statische Berekening   |         | ☒         |
|        | Instellingen voor statische berekening      | SB1 - Geometrisch lineair   Newton-Raphson                                     |         |           |
|        | Ontwerpsituatie                             | ULSY OS1 - UGT (STR/GEO) - Blijvend en tijdelijk - Vergelijking 6.10a en 6.10b |         |           |
| 44     | ULSY 0.90 * BG1 + 1.50 * BG7 + 0.60 * BG16  |  |         |           |
|        | Berekening type                             | Statische Berekening   |         | ☒         |
|        | Instellingen voor statische berekening      | SB1 - Geometrisch lineair   Newton-Raphson                                     |         |           |
|        | Ontwerpsituatie                             | ULSY OS1 - UGT (STR/GEO) - Blijvend en tijdelijk - Vergelijking 6.10a en 6.10b |         |           |
| 45     | ULSY 0.90 * BG1 + 1.50 * BG16               |  |         |           |
|        | Berekening type                             | Statische Berekening   |         | ☒         |
|        | Instellingen voor statische berekening      | SB1 - Geometrisch lineair   Newton-Raphson                                     |         |           |
|        | Ontwerpsituatie                             | ULSY OS1 - UGT (STR/GEO) - Blijvend en tijdelijk - Vergelijking 6.10a en 6.10b |         |           |
| 46     | SCh BG1                                     |  |         |           |
|        | Berekening type                             | Statische Berekening   |         | ☒         |
|        | Instellingen voor statische berekening      | SB2 - 2e orde (P-Δ)   Picard   100   1   |         |           |
|        | Ontwerpsituatie                             | SCh OS2 - BGT - Karakteristiek   |         |           |
| 47     | SCh BG1 + BG2                               |  |         |           |
|        | Berekening type                             | Statische Berekening   |         | ☒         |
|        | Instellingen voor statische berekening      | SB2 - 2e orde (P-Δ)   Picard   100   1   |         |           |
|        | Ontwerpsituatie                             | SCh OS2 - BGT - Karakteristiek   |         |           |
| 48     | SCh BG1 + BG2 + 0.40 * BG16                 |  |         |           |
|        | Berekening type                             | Statische Berekening   |         | ☒         |
|        | Instellingen voor statische berekening      | SB2 - 2e orde (P-Δ)   Picard   100   1   |         |           |
|        | Ontwerpsituatie                             | SCh OS2 - BGT - Karakteristiek   |         |           |
| 49     | SCh BG1 + BG3                               |  |         |           |
|        | Berekening type                             | Statische Berekening   |         | ☒         |
|        | Instellingen voor statische berekening      | SB2 - 2e orde (P-Δ)   Picard   100   1   |         |           |
|        | Ontwerpsituatie                             | SCh OS2 - BGT - Karakteristiek   |         |           |
| 50     | SCh BG1 + BG4                               |  |         |           |
|        | Berekening type                             | Statische Berekening   |         | ☒         |
|        | Instellingen voor statische berekening      | SB2 - 2e orde (P-Δ)   Picard   100   1   |         |           |
|        | Ontwerpsituatie                             | SCh OS2 - BGT - Karakteristiek   |         |           |
| 51     | SCh BG1 + BG5                               |  |         |           |
|        | Berekening type                             | Statische Berekening   |         | ☒         |
|        | Instellingen voor statische berekening      | SB2 - 2e orde (P-Δ)   Picard   100   1   |         |           |
|        | Ontwerpsituatie                             | SCh OS2 - BGT - Karakteristiek   |         |           |
| 52     | SCh BG1 + BG6                               |  |         |           |
|        | Berekening type                             | Statische Berekening   |         | ☒         |
|        | Instellingen voor statische berekening      | SB2 - 2e orde (P-Δ)   Picard   100   1   |         |           |
|        | Ontwerpsituatie                             | SCh OS2 - BGT - Karakteristiek   |         |           |
| 53     | SCh BG1 + BG8                               |  |         |           |
|        | Berekening type                             | Statische Berekening   |         | ☒         |
|        | Instellingen voor statische berekening      | SB2 - 2e orde (P-Δ)   Picard   100   1   |         |           |
|        | Ontwerpsituatie                             | SCh OS2 - BGT - Karakteristiek   |         |           |
| 54     | SCh BG1 + BG9                               |  |         |           |
|        | Berekening type                             | Statische Berekening   |         | ☒         |
|        | Instellingen voor statische berekening      | SB2 - 2e orde (P-Δ)   Picard   100   1   |         |           |
|        | Ontwerpsituatie                             | SCh OS2 - BGT - Karakteristiek   |         |           |
| 55     | SCh BG1 + BG10                              |  |         |           |
|        | Berekening type                             | Statische Berekening   |         | ☒         |
|        | Instellingen voor statische berekening      | SB2 - 2e orde (P-Δ)   Picard   100   1   |         |           |
|        | Ontwerpsituatie                             | SCh OS2 - BGT - Karakteristiek   |         |           |
| 56     | SCh BG1 + BG11                              |  |         |           |
|        | Berekening type                             | Statische Berekening   |         | ☒         |

4.5

BELASTINGCOMBINATIES

| CO Nr. | Instel.                                | Waarde                                 | Eenheid | Te Berek. |
|--------|--|--|---------|-----------|
|        | Instellingen voor statische berekening | SB2 - 2e orde (P-Δ)   Picard   100   1 |         |           |
|        | Ontwerpsituatie                        | S.Ch OS2 - BGT - Karakteristiek        |         |           |
| 57     | S.Ch BG1 + BG3 + 0.40 * BG16           |  |         |           |
|        | Berekening type                        | Statische Berekening                   |         | ☒         |
|        | Instellingen voor statische berekening | SB2 - 2e orde (P-Δ)   Picard   100   1 |         |           |
|        | Ontwerpsituatie                        | S.Ch OS2 - BGT - Karakteristiek        |         |           |
| 58     | S.Ch BG1 + BG4 + 0.40 * BG16           |  |         |           |
|        | Berekening type                        | Statische Berekening                   |         | ☒         |
|        | Instellingen voor statische berekening | SB2 - 2e orde (P-Δ)   Picard   100   1 |         |           |
|        | Ontwerpsituatie                        | S.Ch OS2 - BGT - Karakteristiek        |         |           |
| 59     | S.Ch BG1 + BG5 + 0.40 * BG16           |  |         |           |
|        | Berekening type                        | Statische Berekening                   |         | ☒         |
|        | Instellingen voor statische berekening | SB2 - 2e orde (P-Δ)   Picard   100   1 |         |           |
|        | Ontwerpsituatie                        | S.Ch OS2 - BGT - Karakteristiek        |         |           |
| 60     | S.Ch BG1 + BG6 + 0.40 * BG16           |  |         |           |
|        | Berekening type                        | Statische Berekening                   |         | ☒         |
|        | Instellingen voor statische berekening | SB2 - 2e orde (P-Δ)   Picard   100   1 |         |           |
|        | Ontwerpsituatie                        | S.Ch OS2 - BGT - Karakteristiek        |         |           |
| 61     | S.Ch BG1 + BG8 + 0.40 * BG16           |  |         |           |
|        | Berekening type                        | Statische Berekening                   |         | ☒         |
|        | Instellingen voor statische berekening | SB2 - 2e orde (P-Δ)   Picard   100   1 |         |           |
|        | Ontwerpsituatie                        | S.Ch OS2 - BGT - Karakteristiek        |         |           |
| 62     | S.Ch BG1 + BG9 + 0.40 * BG16           |  |         |           |
|        | Berekening type                        | Statische Berekening                   |         | ☒         |
|        | Instellingen voor statische berekening | SB2 - 2e orde (P-Δ)   Picard   100   1 |         |           |
|        | Ontwerpsituatie                        | S.Ch OS2 - BGT - Karakteristiek        |         |           |
| 63     | S.Ch BG1 + BG10 + 0.40 * BG16          |  |         |           |
|        | Berekening type                        | Statische Berekening                   |         | ☒         |
|        | Instellingen voor statische berekening | SB2 - 2e orde (P-Δ)   Picard   100   1 |         |           |
|        | Ontwerpsituatie                        | S.Ch OS2 - BGT - Karakteristiek        |         |           |
| 64     | S.Ch BG1 + BG11 + 0.40 * BG16          |  |         |           |
|        | Berekening type                        | Statische Berekening                   |         | ☒         |
|        | Instellingen voor statische berekening | SB2 - 2e orde (P-Δ)   Picard   100   1 |         |           |
|        | Ontwerpsituatie                        | S.Ch OS2 - BGT - Karakteristiek        |         |           |
| 65     | S.Ch BG1 + BG7                         |  |         |           |
|        | Berekening type                        | Statische Berekening                   |         | ☒         |
|        | Instellingen voor statische berekening | SB2 - 2e orde (P-Δ)   Picard   100   1 |         |           |
|        | Ontwerpsituatie                        | S.Ch OS2 - BGT - Karakteristiek        |         |           |
| 66     | S.Ch BG1 + BG7 + 0.40 * BG16           |  |         |           |
|        | Berekening type                        | Statische Berekening                   |         | ☒         |
|        | Instellingen voor statische berekening | SB2 - 2e orde (P-Δ)   Picard   100   1 |         |           |
|        | Ontwerpsituatie                        | S.Ch OS2 - BGT - Karakteristiek        |         |           |
| 67     | S.Ch BG1 + BG16                        |  |         |           |
|        | Berekening type                        | Statische Berekening                   |         | ☒         |
|        | Instellingen voor statische berekening | SB2 - 2e orde (P-Δ)   Picard   100   1 |         |           |
|        | Ontwerpsituatie                        | S.Ch OS2 - BGT - Karakteristiek        |         |           |
| 68     | S.Fr BG1                               |  |         |           |
|        | Berekening type                        | Statische Berekening                   |         | ☒         |
|        | Instellingen voor statische berekening | SB2 - 2e orde (P-Δ)   Picard   100   1 |         |           |
|        | Ontwerpsituatie                        | S.Fr OS3 - BGT - Frequent              |         |           |
| 69     | S.Fr BG1 + 0.20 * BG2                  |  |         |           |
|        | Berekening type                        | Statische Berekening                   |         | ☒         |
|        | Instellingen voor statische berekening | SB2 - 2e orde (P-Δ)   Picard   100   1 |         |           |
|        | Ontwerpsituatie                        | S.Fr OS3 - BGT - Frequent              |         |           |
| 70     | S.Fr BG1 + 0.20 * BG2 + 0.60 * BG16    |  |         |           |
|        | Berekening type                        | Statische Berekening                   |         | ☒         |
|        | Instellingen voor statische berekening | SB2 - 2e orde (P-Δ)   Picard   100   1 |         |           |
|        | Ontwerpsituatie                        | S.Fr OS3 - BGT - Frequent              |         |           |
| 71     | S.Fr BG1 + 0.20 * BG3                  |  |         |           |
|        | Berekening type                        | Statische Berekening                   |         | ☒         |
|        | Instellingen voor statische berekening | SB2 - 2e orde (P-Δ)   Picard   100   1 |         |           |
|        | Ontwerpsituatie                        | S.Fr OS3 - BGT - Frequent              |         |           |
| 72     | S.Fr BG1 + 0.20 * BG4                  |  |         |           |
|        | Berekening type                        | Statische Berekening                   |         | ☒         |



## 4.5

## BELASTINGCOMBINATIES

| CO Nr. | Instel.   | Waarde  | Eenheid | Te Berek. |
|--------|---|---|---------|-----------|
|        | Instellingen voor statische berekening<br>Ontwerpsituatie   | SB2 - 2e orde (P-Δ)   Picard   100   1<br>S Fr OS3 - BGT - Frequent                         |         |           |
| 73     | <div> <div>SB2</div> <div>S Fr</div> </div> BG1 + 0.20 * BG5<br>Berekening type<br>Instellingen voor statische berekening<br>Ontwerpsituatie                | Statische Berekening<br>SB2 - 2e orde (P-Δ)   Picard   100   1<br>S Fr OS3 - BGT - Frequent |         | ☒         |
| 74     | <div> <div>SB2</div> <div>S Fr</div> </div> BG1 + 0.20 * BG6<br>Berekening type<br>Instellingen voor statische berekening<br>Ontwerpsituatie                | Statische Berekening<br>SB2 - 2e orde (P-Δ)   Picard   100   1<br>S Fr OS3 - BGT - Frequent |         | ☒         |
| 75     | <div> <div>SB2</div> <div>S Fr</div> </div> BG1 + 0.20 * BG8<br>Berekening type<br>Instellingen voor statische berekening<br>Ontwerpsituatie                | Statische Berekening<br>SB2 - 2e orde (P-Δ)   Picard   100   1<br>S Fr OS3 - BGT - Frequent |         | ☒         |
| 76     | <div> <div>SB2</div> <div>S Fr</div> </div> BG1 + 0.20 * BG9<br>Berekening type<br>Instellingen voor statische berekening<br>Ontwerpsituatie                | Statische Berekening<br>SB2 - 2e orde (P-Δ)   Picard   100   1<br>S Fr OS3 - BGT - Frequent |         | ☒         |
| 77     | <div> <div>SB2</div> <div>S Fr</div> </div> BG1 + 0.20 * BG10<br>Berekening type<br>Instellingen voor statische berekening<br>Ontwerpsituatie               | Statische Berekening<br>SB2 - 2e orde (P-Δ)   Picard   100   1<br>S Fr OS3 - BGT - Frequent |         | ☒         |
| 78     | <div> <div>SB2</div> <div>S Fr</div> </div> BG1 + 0.20 * BG11<br>Berekening type<br>Instellingen voor statische berekening<br>Ontwerpsituatie               | Statische Berekening<br>SB2 - 2e orde (P-Δ)   Picard   100   1<br>S Fr OS3 - BGT - Frequent |         | ☒         |
| 79     | <div> <div>SB2</div> <div>S Fr</div> </div> BG1 + 0.20 * BG3 + 0.60 * BG16<br>Berekening type<br>Instellingen voor statische berekening<br>Ontwerpsituatie  | Statische Berekening<br>SB2 - 2e orde (P-Δ)   Picard   100   1<br>S Fr OS3 - BGT - Frequent |         | ☒         |
| 80     | <div> <div>SB2</div> <div>S Fr</div> </div> BG1 + 0.20 * BG4 + 0.60 * BG16<br>Berekening type<br>Instellingen voor statische berekening<br>Ontwerpsituatie  | Statische Berekening<br>SB2 - 2e orde (P-Δ)   Picard   100   1<br>S Fr OS3 - BGT - Frequent |         | ☒         |
| 81     | <div> <div>SB2</div> <div>S Fr</div> </div> BG1 + 0.20 * BG5 + 0.60 * BG16<br>Berekening type<br>Instellingen voor statische berekening<br>Ontwerpsituatie  | Statische Berekening<br>SB2 - 2e orde (P-Δ)   Picard   100   1<br>S Fr OS3 - BGT - Frequent |         | ☒         |
| 82     | <div> <div>SB2</div> <div>S Fr</div> </div> BG1 + 0.20 * BG6 + 0.60 * BG16<br>Berekening type<br>Instellingen voor statische berekening<br>Ontwerpsituatie  | Statische Berekening<br>SB2 - 2e orde (P-Δ)   Picard   100   1<br>S Fr OS3 - BGT - Frequent |         | ☒         |
| 83     | <div> <div>SB2</div> <div>S Fr</div> </div> BG1 + 0.20 * BG8 + 0.60 * BG16<br>Berekening type<br>Instellingen voor statische berekening<br>Ontwerpsituatie  | Statische Berekening<br>SB2 - 2e orde (P-Δ)   Picard   100   1<br>S Fr OS3 - BGT - Frequent |         | ☒         |
| 84     | <div> <div>SB2</div> <div>S Fr</div> </div> BG1 + 0.20 * BG9 + 0.60 * BG16<br>Berekening type<br>Instellingen voor statische berekening<br>Ontwerpsituatie  | Statische Berekening<br>SB2 - 2e orde (P-Δ)   Picard   100   1<br>S Fr OS3 - BGT - Frequent |         | ☒         |
| 85     | <div> <div>SB2</div> <div>S Fr</div> </div> BG1 + 0.20 * BG10 + 0.60 * BG16<br>Berekening type<br>Instellingen voor statische berekening<br>Ontwerpsituatie | Statische Berekening<br>SB2 - 2e orde (P-Δ)   Picard   100   1<br>S Fr OS3 - BGT - Frequent |         | ☒         |
| 86     | <div> <div>SB2</div> <div>S Fr</div> </div> BG1 + 0.20 * BG11 + 0.60 * BG16<br>Berekening type<br>Instellingen voor statische berekening<br>Ontwerpsituatie | Statische Berekening<br>SB2 - 2e orde (P-Δ)   Picard   100   1<br>S Fr OS3 - BGT - Frequent |         | ☒         |
| 87     | <div> <div>SB2</div> <div>S Fr</div> </div> BG1 + 0.00 * BG7 + 0.60 * BG16<br>Berekening type<br>Instellingen voor statische berekening<br>Ontwerpsituatie  | Statische Berekening<br>SB2 - 2e orde (P-Δ)   Picard   100   1<br>S Fr OS3 - BGT - Frequent |         | ☒         |
| 88     | <div> <div>SB2</div> <div>S Fr</div> </div> BG1 + 0.70 * BG16<br>Berekening type  | Statische Berekening  |         | ☒         |

## 4.5

## BELASTINGCOMBINATIES

| CO Nr. | Instel.                                | Waarde                                 | Eenheid | Te Berek.                           |
|--------|--|--|---------|-------------------------------------|
|        | Instellingen voor statische berekening | SB2 - 2e orde (P-Δ)   Picard   100   1 |         |                                     |
|        | Ontwerpsituatie                        | SB2 - 2e orde (P-Δ)   Picard   100   1 |         |                                     |
| 89     | SB2 - 2e orde (P-Δ)   Picard   100   1 |  |         |                                     |
|        | Berekening type                        | Statische Berekening                   |         | <input checked="" type="checkbox"/> |
|        | Instellingen voor statische berekening | SB2 - 2e orde (P-Δ)   Picard   100   1 |         |                                     |
|        | Ontwerpsituatie                        | SB2 - 2e orde (P-Δ)   Picard   100   1 |         |                                     |
| 90     | SB2 - 2e orde (P-Δ)   Picard   100   1 |  |         |                                     |
|        | Berekening type                        | Statische Berekening                   |         | <input checked="" type="checkbox"/> |
|        | Instellingen voor statische berekening | SB2 - 2e orde (P-Δ)   Picard   100   1 |         |                                     |
|        | Ontwerpsituatie                        | SB2 - 2e orde (P-Δ)   Picard   100   1 |         |                                     |

## 4.6

## STATISCHE BEREKENINGSINSTELLINGEN

| Instelling Nr. | Omschrijving  | Symbol                              | Waarde   | Eenheid |
|----------------|---|-------------------------------------|--|---------|
| 1              | Geometrisch lineair   Newton-Raphson  |                                     |  |         |
|                | Berekening type   |                                     | Geometrisch lineair  |         |
|                | Iteratieve methode voor niet-lineaire berekening                            |                                     | Newton-Raphson   |         |
|                | Maximum aantal iteraties  |                                     | 100  |         |
|                | Aantal belastingsincrementen  |                                     | 1  |         |
|                | Standaard precisie- en tolerantie-instellingen wijzigen                     | <input type="checkbox"/>            |  |         |
|                | Negeer alle niet-lineariteiten  | <input type="checkbox"/>            |  |         |
|                | Belasting wijzigen met vermenigvuldigingsfactor                             | <input type="checkbox"/>            |  |         |
|                | Verplaatsingen t.g.v. staaflast van type 'Inwendige Druk                    | <input type="checkbox"/>            |  |         |
|                | Pijpleiding' (Bourdon effect)   |                                     |  |         |
|                | Methode voor systeem van vergelijkingen                                     |                                     | Directe  |         |
|                | Plaat-buigtheorie   |                                     | Mindlin  |         |
|                | Activeer massa conversie naar last  | <input type="checkbox"/>            |  |         |
|                | Vervorming van bezwijkende staven en re-activeer indien van toepassing      | <input checked="" type="checkbox"/> |  |         |
|                | Maximale aantal van re-activeringen   |                                     | 3  |         |
|                | Uitzonderlijke afhandeling ingeschakeld                                     | <input type="checkbox"/>            |  |         |
|                | Wijfs gereduceerde stijfheid toe aan bezwijkende staven                     |                                     | Bezwijkende staven worden weggehaald tijdens opeenvolgende iteraties |         |
|                | Reductiefactor voor stijfheid   |                                     | 1000   |         |
|                | Asymmetrisch directe Solver   | <input checked="" type="checkbox"/> |  |         |
|                | Evenwicht voor onvervormde constructie                                      | <input type="checkbox"/>            |  |         |
|                | Controle van stabiliteit op basis van vervormingssnelheid                   | <input type="checkbox"/>            |  |         |
| 2              | 2e orde (P-Δ)   Picard   100   1  |                                     |  |         |
|                | Berekening type   |                                     | 2e orde (P-Δ)  |         |
|                | Iteratieve methode voor niet-lineaire berekening                            |                                     | Picard   |         |
|                | Maximum aantal iteraties  |                                     | 100  |         |
|                | Aantal belastingsincrementen  |                                     | 1  |         |
|                | Standaard precisie- en tolerantie-instellingen wijzigen                     | <input type="checkbox"/>            |  |         |
|                | Negeer alle niet-lineariteiten  | <input type="checkbox"/>            |  |         |
|                | Belasting wijzigen met vermenigvuldigingsfactor                             | <input type="checkbox"/>            |  |         |
|                | Beschouw het gunstige effect t.g.v. trek in staven                          | <input checked="" type="checkbox"/> |  |         |
|                | Verplaatsingen t.g.v. staaflast van type 'Inwendige Druk                    | <input type="checkbox"/>            |  |         |
|                | Pijpleiding' (Bourdon effect)   |                                     |  |         |
|                | Herleid snedekrachten terug naar vervormde constructie                      | <input checked="" type="checkbox"/> |  |         |
|                | Herleid snedekrachten terug naar vervormde constructie voor normaalkrachten | <input checked="" type="checkbox"/> |  |         |
|                | Herleid snedekrachten terug naar vervormde constructie voor dwarskrachten   | <input checked="" type="checkbox"/> |  |         |
|                | Herleid snedekrachten terug naar vervormde constructie voor momenten        | <input checked="" type="checkbox"/> |  |         |
|                | Methode voor systeem van vergelijkingen                                     |                                     | Directe  |         |
|                | Plaat-buigtheorie   |                                     | Mindlin  |         |
|                | Activeer massa conversie naar last  | <input type="checkbox"/>            |  |         |
|                | Vervorming van bezwijkende staven en re-activeer indien van toepassing      | <input checked="" type="checkbox"/> |  |         |
|                | Maximale aantal van re-activeringen   |                                     | 3  |         |
|                | Uitzonderlijke afhandeling ingeschakeld                                     | <input type="checkbox"/>            |  |         |
|                | Wijfs gereduceerde stijfheid toe aan bezwijkende staven                     |                                     | Bezwijkende staven worden weggehaald tijdens opeenvolgende iteraties |         |
|                | Reductiefactor voor stijfheid   |                                     | 1000   |         |
|                | Asymmetrisch directe Solver   | <input checked="" type="checkbox"/> |  |         |
|                | Evenwicht voor onvervormde constructie                                      | <input type="checkbox"/>            |  |         |
|                | Controle van stabiliteit op basis van vervormingssnelheid                   | <input type="checkbox"/>            |  |         |

## 4.7

## STABILITEIT BEREKENINGSINSTELLINGEN

| Instelling Nr. | Omschrijving                                | Symbol                              | Waarde                       | Eenheid |
|----------------|---|-------------------------------------|------------------------------|---------|
| 1              | #4   Eigenwaardemethode (lineair)   Lanczos |                                     |                              |         |
|                | Berekening type                             |                                     | Eigenwaardemethode (lineair) |         |
|                | Aantal laagste eigenwaarden                 |                                     | 4                            |         |
|                | Beschouw het gunstige effect                | <input checked="" type="checkbox"/> |                              |         |






## 4.7

## STABILITEIT BEREKENINGSINSTELLINGEN

| Instelling<br>Nr. | Omschrijving                                | Symbol           | Waarde                              | Eenheid |
|-------------------|---|------------------|-------------------------------------|---------|
|                   | Bereken zonder belasting voor instabiliteit |                  | <input type="checkbox"/>            |         |
|                   | Activeer minimale initiële voorspanning     |                  | <input checked="" type="checkbox"/> |         |
|                   | Minimale initiële rek                       | $\epsilon_{min}$ | 0.01                                | %       |
|                   | Weergave lokale torsie rotaties             |                  | <input type="checkbox"/>            |         |
|                   | Eigenwaardemethode                          |                  | Lanczos                             |         |
|                   | Matrix type                                 |                  | Standaard                           |         |

## 4.8

## COMBINATIEWIZARDS

| Wizard<br>Nr. | Instel.   | Waarde   |
|---------------|---|--|
| 1             |  Belastingcombinaties   SB2 - 2e orde (P-Δ)   Picard   100   1       |  |
|               | Toegewezen aan  | OS 2-4   |
|               | Genereer combinaties  | Belastingcombinaties (niet-lineaire berekening)  |
|               | Instellingen voor statische berekening  |  SB2 - 2e orde (P-Δ)   Picard   100           |
|               | Beschouw imperfectie geval  | <input checked="" type="checkbox"/>  |
|               | Beschouw begintoestand  | <input type="checkbox"/>   |
|               | Constructiewijziging ingeschakeld   | <input type="checkbox"/>   |
|               | Genereer dezelfde belastingcombinaties zonder imperfectiegeval  | <input type="checkbox"/>   |
|               | Door de gebruiker gedefinieerde actiecombinaties  | <input type="checkbox"/>   |
|               | Gunstige blijvende acties   | <input checked="" type="checkbox"/>  |
|               | Verminder het aantal gegenereerde combinaties   | <input type="checkbox"/>   |
|               | Toegewezen aan  | OS 2-4   |
|               | Genereer combinaties  | Belastingcombinaties (niet-lineaire berekening)  |
|               | Instellingen voor statische berekening  |  SB2 - 2e orde (P-Δ)   Picard   100           |
|               | Beschouw imperfectie geval  | <input checked="" type="checkbox"/>  |
|               | Beschouw begintoestand  | <input type="checkbox"/>   |
|               | Constructiewijziging ingeschakeld   | <input type="checkbox"/>   |
|               | Genereer dezelfde belastingcombinaties zonder imperfectiegeval  | <input type="checkbox"/>   |
|               | Door de gebruiker gedefinieerde actiecombinaties  | <input type="checkbox"/>   |
|               | Gunstige blijvende acties   | <input checked="" type="checkbox"/>  |
|               | Verminder het aantal gegenereerde combinaties   | <input type="checkbox"/>   |
| 2             |  Belastingcombinaties   SB1 - Geometrisch lineair   Newton-Raphson |  |
|               | Toegewezen aan  | OS 1   |
|               | Genereer combinaties  | Belastingcombinaties (niet-lineaire berekening)  |
|               | Instellingen voor statische berekening  |  SB1 - Geometrisch lineair   Newton         |
|               | Beschouw imperfectie geval  | <input type="checkbox"/>   |
|               | Beschouw begintoestand  | <input type="checkbox"/>   |
|               | Constructiewijziging ingeschakeld   | <input type="checkbox"/>   |
|               | Door de gebruiker gedefinieerde actiecombinaties  | <input type="checkbox"/>   |
|               | Gunstige blijvende acties   | <input checked="" type="checkbox"/>  |
|               | Verminder het aantal gegenereerde combinaties   | <input type="checkbox"/>   |
|               | Toegewezen aan  | OS 1   |
|               | Genereer combinaties  | Belastingcombinaties (niet-lineaire berekening)  |
|               | Instellingen voor statische berekening  |  SB1 - Geometrisch lineair   Newton-Raphson |
|               | Beschouw imperfectie geval  | <input type="checkbox"/>   |
|               | Beschouw begintoestand  | <input type="checkbox"/>   |
|               | Constructiewijziging ingeschakeld   | <input type="checkbox"/>   |
|               | Door de gebruiker gedefinieerde actiecombinaties  | <input type="checkbox"/>   |
|               | Gunstige blijvende acties   | <input checked="" type="checkbox"/>  |
|               | Verminder het aantal gegenereerde combinaties   | <input type="checkbox"/>   |

## 4.8.1

## COMBINATIEWIZARDS - BEGINTOESTAND ONDERDELEN

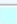


| Wizard<br>Nr. | Definitietype   | Geval Object |
|---------------|---|--------------|
| 1             |  Belastingcombinaties   SB2 - 2e orde (P-Δ)   Picard   100   1     |              |
| 2             |  Belastingcombinaties   SB1 - Geometrisch lineair   Newton-Raphson |              |

## 5

## Last Wizards

## 5.1







## STA AFLASTEN VAN VLAKLAST

| Last<br>Nr. | Omschrijving   | Symbol | Waarde  | Eenheid           | Opties  |
|-------------|--|--------|---|-------------------|---|
| 1           |  BG1 - Eigen Gewicht + Permanent   Gelijkmatig   $Z_A$   p : 0.60 kN/m <sup>2</sup> |        |   |                   |   |
|             | Gegenereerd op Staven Nr.  |        | 1-4,9,10,87-100   |                   |  |
|             | Genereer in belastinggeval   |        |  BG1 - Eigen Gewicht + Permanent |                   |   |
|             | Lastspreiding  |        | Gelijkmatig   |                   |   |
|             | Coördinatensysteem   |        | 1 - Globaal XYZ   |                   |   |
|             | Lastrichting   |        | $Z_A$   |                   |   |
|             | Lastgrootte  | p      | 0.60  | kN/m <sup>2</sup> |   |
|             | Enkele staven  |        | 42-61,76-86,111   |                   |   |
|             | Staven parallel aan staaf  |        |   |                   |   |
|             | Vlak van lasttoewijzing  |        | Volledig gesloten vlak  |                   |   |



5.1

STA AFLASTEN VAN VLAKLAST



| Last Nr. | Omschrijving   | Symbool    | Waarde   | Eenheid | Opties  |
|----------|--|------------|--|---------|---|
|          | Converteer naar enkele staven  |            | <input type="checkbox"/>   |         |   |
|          | Is gladde geconcentreerde last ingeschakeld?   |            | <input type="checkbox"/>   |         |   |
|          | Beschouw staafexcentriciteit   |            | <input type="checkbox"/>   |         |   |
|          | Beschouw doorsnede-verdeling   |            | <input type="checkbox"/>   |         |   |
|          | Versleutel voor nieuwe Staven  |            | <input type="checkbox"/>   |         |   |
|          | Tolerantie type voor staaf liggend in het vlak   |            | Absoluut via afstand   |         |   |
|          | Absolute tolerantie voor staaf liggend in het vlak   | $\Delta_z$ |  | 0.001 m |   |
|          | Tolerantie type voor knoop op lijn   |            | Absoluut via afstand   |         |   |
|          | Absolute tolerantie voor knoop op lijn   | $\Delta_e$ |  | 0.001 m |   |
| 2        |  BG2 - Sneeuw   Gelijkmatic   $Z_A$   $p : 0.56 \text{ kN/m}^2$ |            |  |         |   |
|          | Generereerd op Staven Nr.  |            | 1-4,9,10,87-100  |         |  |
|          | Genereer in belastinggeval   |            |   BG2 - Sneeuw |         |   |
|          | Lastspreiding  |            |  Gelijkmatic  |         |   |
|          | Coördinatensysteem   |            |  1 - Globaal XYZ  |         |   |
|          | Lastrichting   |            | $Z_A$  |         |   |
|          | Lastgrootte  | $p$        |  | 0.56    | $\text{kN/m}^2$   |
|          | Enkele staven  |            | 42-61,69,76-86,111   |         |   |
|          | Staven parallel aan staaf  |            |  |         |   |
|          | Vlak van lasttoewijzing  |            | Volledig gesloten vlak   |         |   |
|          | Converteer naar enkele staven  |            | <input type="checkbox"/>   |         |   |
|          | Is gladde geconcentreerde last ingeschakeld?   |            | <input type="checkbox"/>   |         |   |
|          | Beschouw staafexcentriciteit   |            | <input type="checkbox"/>   |         |   |
|          | Beschouw doorsnede-verdeling   |            | <input type="checkbox"/>   |         |   |
|          | Versleutel voor nieuwe Staven  |            | <input type="checkbox"/>   |         |   |
|          | Tolerantie type voor staaf liggend in het vlak   |            | Absoluut via afstand   |         |   |
|          | Absolute tolerantie voor staaf liggend in het vlak   | $\Delta_z$ |  | 0.001 m |   |
|          | Tolerantie type voor knoop op lijn   |            | Absoluut via afstand   |         |   |
|          | Absolute tolerantie voor knoop op lijn   | $\Delta_e$ |  | 0.001 m |   |

5.2

WINDLASTEN


Vertikale wanden met plat dak/  
lessenaarsdak



| Last Nr. | Omschrijving  | Symbool | Waarde  | Eenheid |
|----------|---|---------|---|---------|
| 1        |  Vertikale wanden met plat dak/lessenaarsdak |         |   |         |
|          | Type  |         |  Vertikale wanden met plat dak/lessenaarsdak |         |
|          | Versleutel voor nieuwe objecten   |         | <input type="checkbox"/>  |         |
|          | Dakhoeken knopen  |         | 451,449,450,452   |         |
|          | Basis hoekknopen  |         | 435,434,437,436   |         |
|          | Definitie type  |         | Kaart en parameters   |         |
|          | Lastzone  |         | III   |         |
|          | Converteer naar enkele objecten   |         | <input type="checkbox"/>  |         |

5.2.1

WINDLASTEN - WIND IN RICHTING

| Last Nr. | Actief  | Richting | Dakzijde | Windrichting [deg] |
|----------|---|----------|----------|--------------------|
| 1        |  Vertikale wanden met plat dak/lessenaarsdak |          |          |                    |
|          | <input checked="" type="checkbox"/>   | Wand 1   | A-B      | 0.00               |
|          | <input checked="" type="checkbox"/>   | Wand 2   | B-C      | 90.00              |
|          | <input checked="" type="checkbox"/>   | Wand 3   | C-D      | 180.00             |
|          | <input checked="" type="checkbox"/>   | Wand 4   | D-A      | 270.00             |









5.2.2

WINDLASTEN - BELASTE WAND/DAK

| Last Nr. | Actief                              | Naam   | Knopen          | Oppervlak [m <sup>2</sup> ] | Scheef [deg] | Stijgend [m] |
|----------|-------------------------------------|--------|-----------------|-----------------------------|--------------|--------------|
| 1        | <input checked="" type="checkbox"/> | Wand 1 | 434,435,449,451 | 55.350                      |              |              |
|          | <input checked="" type="checkbox"/> | Wand 2 | 434,437,449,450 | 57.240                      |              |              |
|          | <input checked="" type="checkbox"/> | Wand 3 | 436,437,450,452 | 55.350                      |              |              |
|          | <input checked="" type="checkbox"/> | Wand 4 | 435,436,451,452 | 57.240                      |              |              |
|          | <input checked="" type="checkbox"/> | Dak 1  | 449-452         | 244.462                     | 0.00         | 0.000        |

5.2.3

WINDLASTEN - GENEREER IN BELASTINGGEVALLEN

| Last Nr. | Genereer                            | Naam     | Belastinggeval  |
|----------|-------------------------------------|----------|---|
| 1        | <input checked="" type="checkbox"/> | Geval w+ |  BG3 - Wind Loodrecht op Wand 1 (A-B)   0°   Geval w+    |
|          | <input checked="" type="checkbox"/> | Geval w- |  BG4 - Wind Loodrecht op Wand 1 (A-B)   0°   Geval w-    |
|          | <input checked="" type="checkbox"/> | Geval w+ |  BG5 - Wind Loodrecht op Wand 2 (B-C)   90°   Geval w+   |
|          | <input checked="" type="checkbox"/> | Geval w- |  BG6 - Wind Loodrecht op Wand 2 (B-C)   90°   Geval w-   |
|          | <input checked="" type="checkbox"/> | Geval w+ |  BG8 - Wind Loodrecht op Wand 3 (C-D)   180°   Geval w+  |
|          | <input checked="" type="checkbox"/> | Geval w- |  BG9 - Wind Loodrecht op Wand 3 (C-D)   180°   Geval w-  |
|          | <input checked="" type="checkbox"/> | Geval w+ |  BG10 - Wind Loodrecht op Wand 4 (D-A)   270°   Geval w+ |
|          | <input checked="" type="checkbox"/> | Geval w- |  BG11 - Wind Loodrecht op Wand 4 (D-A)   270°   Geval w- |

## 5.2.4

## WINDLASTEN - PARAMETERS

| Last Nr. | Omschrijving                                | Symbool      | Waarde                              | Eenheid           |
|----------|---|--------------|-------------------------------------|-------------------|
| 1        | Vertikale wanden met plat dak/lessenaarsdak |              |                                     |                   |
|          | Definitie                                   |              |                                     |                   |
|          | Definitietype                               |              | Kaart en parameters                 |                   |
|          | Locatie                                     |              |                                     |                   |
|          | Straat                                      |              | Boscheweg                           |                   |
|          | Postcode                                    |              | 5741                                |                   |
|          | Stad  |              | Beek en Donk                        |                   |
|          | Land  |              | Netherlands                         |                   |
|          | Breedtegraad                                |              | 51.551                              | deg               |
|          | Hoogtegraad                                 |              | 5.619                               | deg               |
|          | Parameters                                  |              |                                     |                   |
|          | Lastzone                                    |              | III                                 |                   |
|          | Terreincategorie                            |              | Categorie 0                         |                   |
|          | Hoogte                                      | A            | 11.000                              | m                 |
|          | Constructie hoogte                          | h            | 4.000                               | m                 |
|          | Luchtdichtheid                              | $\rho$       | 1.25                                | kg/m <sup>3</sup> |
|          | Opm. #1                                     |              |                                     |                   |
|          | Opm. #2                                     |              |                                     |                   |
|          | Wind snelheid                               |              |                                     |                   |
|          | Handmatige windsnelheid definitie           |              | <input type="checkbox"/>            |                   |
|          | Fundamentele windsnelheid                   | $V_{b,0}$    | 24.50                               | m/s               |
|          | Coëfficiënten                               |              |                                     |                   |
|          | Ruwheids factor                             | $C_o$        | 1.00                                | --                |
|          | Richtingsfactor                             | $C_{dir}$    | 1.00                                | --                |
|          | Seizoensgebonden factor                     | $C_{season}$ | 1.00                                | --                |
|          | Turbulentie factor                          | $k_t$        | 1.00                                | --                |
|          | Terreinfactor                               |              |                                     |                   |
|          | Handmatige definitie van terreinfactor      |              | <input type="checkbox"/>            |                   |
|          | Terreinfactor                               | $k_r$        | 0.16                                | --                |
|          | Interne druk                                |              |                                     |                   |
|          | Richting 1 (A-B)                            |              |                                     |                   |
|          | Beschouw enkel verhogende lasten            |              | <input checked="" type="checkbox"/> |                   |
|          | Interne druk coëfficiënt                    | $C_{pi}$     | 0.30                                | --                |
|          | Richting 2 (B-C)                            |              |                                     |                   |
|          | Beschouw enkel verhogende lasten            |              | <input checked="" type="checkbox"/> |                   |
|          | Interne druk coëfficiënt                    | $C_{pi}$     | -0.30                               | --                |
|          | Richting 3 (C-D)                            |              |                                     |                   |
|          | Beschouw enkel verhogende lasten            |              | <input checked="" type="checkbox"/> |                   |
|          | Interne druk coëfficiënt                    | $C_{pi}$     | -0.30                               | --                |
|          | Richting 4 (D-A)                            |              |                                     |                   |
|          | Beschouw enkel verhogende lasten            |              | <input checked="" type="checkbox"/> |                   |
|          | Interne druk coëfficiënt                    | $C_{pi}$     | -0.30                               | --                |
|          | Snelheid druk                               |              |                                     |                   |
|          | Basis snelheidsdruk                         | $q_b$        | 0.38                                | kN/m <sup>2</sup> |
|          | Lastverdelingstype                          |              |                                     |                   |
|          | Lastverdelingstype                          |              | Trapez.vormig                       |                   |
|          | Opties                                      |              |                                     |                   |
|          | Ontbrekende correlatie volgens 7.2.2(3)     |              | <input checked="" type="checkbox"/> |                   |
|          | Versleutel voor nieuwe objecten             |              | <input type="checkbox"/>            |                   |
|          | Beschouw staafexcentriciteit                |              | <input type="checkbox"/>            |                   |
|          | Beschouw doorsnede-verdeling                |              | <input type="checkbox"/>            |                   |
|          | Beschouw inwendige druk                     |              | <input checked="" type="checkbox"/> |                   |

## 5.2.5

## WINDLASTEN - RESULTATEN

| Last Nr. | Omschrijving   | Symbool      | Waarde | Eenheid |
|----------|--|--------------|--------|---------|
| 1        | Vertikale wanden met plat dak/lessenaarsdak          |              |        |         |
|          | BG3 - Wind Loodrecht op Wand 1 (A-B)   0°   Geval w+ |              |        |         |
|          | Gebouwafmetingen                                     |              |        |         |
|          | Constructie hoogte                                   | h            | 4.000  | m       |
|          | Constructie breedte                                  | $b_1$        | 15.375 | m       |
|          | Constructie breedte                                  | $b_2$        | 15.375 | m       |
|          | Constructie diepte                                   | $d_1$        | 15.900 | m       |
|          | Constructie diepte                                   | $d_2$        | 15.900 | m       |
|          | Split afstand  | $e_{1,roof}$ | 8.000  | m       |
|          | Split afstand  | $e_{2,roof}$ | 8.000  | m       |

**MODEL**

5.2.5

**WINDLASTEN - RESULTATEN**

| Last Nr. | Omschrijving  | Symbool              | Waarde | Eenheid           |
|----------|---|----------------------|--------|-------------------|
|          | Split afstand                                       | $e_{\text{roof}}$    | 8.000  | m                 |
|          | Split afstand                                       | $e_{1,\text{walls}}$ | 8.000  | m                 |
|          | Split afstand                                       | $e_{2,\text{walls}}$ | 8.000  | m                 |
|          | Split afstand                                       | $e_{\text{walls}}$   | 8.000  | m                 |
|          | Dak 1 helling                                       | $\alpha_1$           | 0.00   | deg               |
|          | Zone afmetingen                                     |                      |        |                   |
|          | Zone A diepte                                       | $d_{A,1}$            | 1.600  | m                 |
|          | Zone A diepte                                       | $d_{A,2}$            | 1.600  | m                 |
|          | Zone B diepte                                       | $d_{B,1}$            | 6.400  | m                 |
|          | Zone B diepte                                       | $d_{B,2}$            | 6.400  | m                 |
|          | Zone C diepte                                       | $d_{C,1}$            | 7.900  | m                 |
|          | Zone C diepte                                       | $d_{C,2}$            | 7.900  | m                 |
|          | Zone F breedte                                      | $b_{F,1}$            | 2.000  | m                 |
|          | Zone F breedte                                      | $b_{F,2}$            | 2.000  | m                 |
|          | Zone F diepte                                       | $d_F$                | 0.800  | m                 |
|          | Zone G breedte                                      | $b_{G,1}$            | 11.375 | m                 |
|          | Zone G breedte                                      | $b_{G,2}$            | 11.375 | m                 |
|          | Zone G diepte                                       | $d_G$                | 0.800  | m                 |
|          | Zone H diepte                                       | $d_H$                | 3.200  | m                 |
|          | Zone I diepte                                       | $d_{I,1}$            | 11.900 | m                 |
|          | Zone I diepte                                       | $d_{I,2}$            | 11.900 | m                 |
|          | Snelheid druk                                       |                      |        |                   |
|          | Piek snelheidsdruk                                  | $q_p(h)$             | 0.90   | kN/m <sup>2</sup> |
|          | Zone A  |                      |        |                   |
|          | Externe drukcoëfficiënt                             | $C_{pe,1}$           | -1.20  | --                |
|          | Externe drukcoëfficiënt                             | $C_{pe,2}$           | -1.20  | --                |
|          | Interne druk coëfficiënt                            | $C_{pi}$             | 0.30   | --                |
|          | Externe en inwendige drukcoëfficiënt                | $C_{net,1}$          | -1.50  | --                |
|          | Externe en inwendige drukcoëfficiënt                | $C_{net,2}$          | -1.50  | --                |
|          | Externe winddruk                                    | $W_{e,1}$            | -1.08  | kN/m <sup>2</sup> |
|          | Externe winddruk                                    | $W_{e,2}$            | -1.08  | kN/m <sup>2</sup> |
|          | Interne druk  | $W_i$                | 0.27   | kN/m <sup>2</sup> |
|          | Externe en inwendige druk - enkel verhogende lasten | $W_{net,1}$          | -1.35  | kN/m <sup>2</sup> |
|          | Externe en inwendige druk - enkel verhogende lasten | $W_{net,2}$          | -1.35  | kN/m <sup>2</sup> |
|          | Zone B  |                      |        |                   |
|          | Externe drukcoëfficiënt                             | $C_{pe,1}$           | -0.80  | --                |
|          | Externe drukcoëfficiënt                             | $C_{pe,2}$           | -0.80  | --                |
|          | Interne druk coëfficiënt                            | $C_{pi}$             | 0.30   | --                |
|          | Externe en inwendige drukcoëfficiënt                | $C_{net,1}$          | -1.10  | --                |
|          | Externe en inwendige drukcoëfficiënt                | $C_{net,2}$          | -1.10  | --                |
|          | Externe winddruk                                    | $W_{e,1}$            | -0.72  | kN/m <sup>2</sup> |
|          | Externe winddruk                                    | $W_{e,2}$            | -0.72  | kN/m <sup>2</sup> |
|          | Interne druk  | $W_i$                | 0.27   | kN/m <sup>2</sup> |
|          | Externe en inwendige druk - enkel verhogende lasten | $W_{net,1}$          | -0.99  | kN/m <sup>2</sup> |
|          | Externe en inwendige druk - enkel verhogende lasten | $W_{net,2}$          | -0.99  | kN/m <sup>2</sup> |
|          | Zone C  |                      |        |                   |
|          | Externe drukcoëfficiënt                             | $C_{pe,1}$           | -0.50  | --                |
|          | Externe drukcoëfficiënt                             | $C_{pe,2}$           | -0.50  | --                |
|          | Interne druk coëfficiënt                            | $C_{pi}$             | 0.30   | --                |
|          | Externe en inwendige drukcoëfficiënt                | $C_{net,1}$          | -0.80  | --                |
|          | Externe en inwendige drukcoëfficiënt                | $C_{net,2}$          | -0.80  | --                |
|          | Externe winddruk                                    | $W_{e,1}$            | -0.45  | kN/m <sup>2</sup> |
|          | Externe winddruk                                    | $W_{e,2}$            | -0.45  | kN/m <sup>2</sup> |
|          | Interne druk  | $W_i$                | 0.27   | kN/m <sup>2</sup> |
|          | Externe en inwendige druk - enkel verhogende lasten | $W_{net,1}$          | -0.72  | kN/m <sup>2</sup> |
|          | Externe en inwendige druk - enkel verhogende lasten | $W_{net,2}$          | -0.72  | kN/m <sup>2</sup> |
|          | Zone D  |                      |        |                   |
|          | Externe drukcoëfficiënt                             | $C_{pe}$             | 0.80   | --                |
|          | Interne druk coëfficiënt                            | $C_{pi}$             | 0.30   | --                |
|          | Externe en inwendige drukcoëfficiënt                | $C_{net}$            | 0.50   | --                |
|          | Externe winddruk                                    | $W_e$                | 0.61   | kN/m <sup>2</sup> |
|          | Interne druk  | $W_i$                | 0.27   | kN/m <sup>2</sup> |
|          | Externe en inwendige druk - enkel verhogende lasten | $W_{net}$            | 0.61   | kN/m <sup>2</sup> |
|          | Zone E  |                      |        |                   |
|          | Externe drukcoëfficiënt                             | $C_{pe}$             | -0.50  | --                |
|          | Interne druk coëfficiënt                            | $C_{pi}$             | 0.30   | --                |
|          | Externe en inwendige drukcoëfficiënt                | $C_{net}$            | -0.80  | --                |
|          | Externe winddruk                                    | $W_e$                | -0.38  | kN/m <sup>2</sup> |
|          | Interne druk  | $W_i$                | 0.27   | kN/m <sup>2</sup> |
|          | Externe en inwendige druk - enkel verhogende lasten | $W_{net}$            | -0.65  | kN/m <sup>2</sup> |
|          | Zone F  |                      |        |                   |
|          | Externe drukcoëfficiënt                             | $C_{pe}$             | -1.80  | --                |

## 5.2.5

## WINDLASTEN - RESULTATEN

| Last Nr. | Omschrijving   | Symbool       | Waarde | Eenheid           |
|----------|--|---------------|--------|-------------------|
|          | Interne druk coëfficiënt                             | $C_{pi}$      | 0.30   | --                |
|          | Externe en inwendige drukcoëfficiënt                 | $C_{net}$     | -2.10  | --                |
|          | Externe winddruk                                     | $W_e$         | -1.62  | kN/m <sup>2</sup> |
|          | Interne druk   | $W_i$         | 0.27   | kN/m <sup>2</sup> |
|          | Externe en inwendige druk - enkel verhogende lasten  | $W_{net}$     | -1.88  | kN/m <sup>2</sup> |
|          | Zone G   |               |        |                   |
|          | Externe drukcoëfficiënt                              | $C_{pe}$      | -1.20  | --                |
|          | Interne druk coëfficiënt                             | $C_{pi}$      | 0.30   | --                |
|          | Externe en inwendige drukcoëfficiënt                 | $C_{net}$     | -1.50  | --                |
|          | Externe winddruk                                     | $W_e$         | -1.08  | kN/m <sup>2</sup> |
|          | Interne druk   | $W_i$         | 0.27   | kN/m <sup>2</sup> |
|          | Externe en inwendige druk - enkel verhogende lasten  | $W_{net}$     | -1.35  | kN/m <sup>2</sup> |
|          | Zone H   |               |        |                   |
|          | Externe drukcoëfficiënt                              | $C_{pe}$      | -0.70  | --                |
|          | Interne druk coëfficiënt                             | $C_{pi}$      | 0.30   | --                |
|          | Externe en inwendige drukcoëfficiënt                 | $C_{net}$     | -1.00  | --                |
|          | Externe winddruk                                     | $W_e$         | -0.63  | kN/m <sup>2</sup> |
|          | Interne druk   | $W_i$         | 0.27   | kN/m <sup>2</sup> |
|          | Externe en inwendige druk - enkel verhogende lasten  | $W_{net}$     | -0.90  | kN/m <sup>2</sup> |
|          | Zone I   |               |        |                   |
|          | Externe drukcoëfficiënt                              | $C_{pe}$      | 0.20   | --                |
|          | Interne druk coëfficiënt                             | $C_{pi}$      | 0.30   | --                |
|          | Externe en inwendige drukcoëfficiënt                 | $C_{net}$     | -0.10  | --                |
|          | Externe winddruk                                     | $W_e$         | 0.18   | kN/m <sup>2</sup> |
|          | Interne druk   | $W_i$         | 0.27   | kN/m <sup>2</sup> |
|          | Externe en inwendige druk - enkel verhogende lasten  | $W_{net}$     | 0.18   | kN/m <sup>2</sup> |
|          | BG4 - Wind Loodrecht op Wand 1 (A-B)   0°   Geval w- |               |        |                   |
|          | Gebouwafmetingen                                     |               |        |                   |
|          | Constructie hoogte                                   | $h$           | 4.000  | m                 |
|          | Constructie breedte                                  | $b_1$         | 15.375 | m                 |
|          | Constructie breedte                                  | $b_2$         | 15.375 | m                 |
|          | Constructie diepte                                   | $d_1$         | 15.900 | m                 |
|          | Constructie diepte                                   | $d_2$         | 15.900 | m                 |
|          | Split afstand  | $e_{1,roof}$  | 8.000  | m                 |
|          | Split afstand  | $e_{2,roof}$  | 8.000  | m                 |
|          | Split afstand  | $e_{roof}$    | 8.000  | m                 |
|          | Split afstand  | $e_{1,walls}$ | 8.000  | m                 |
|          | Split afstand  | $e_{2,walls}$ | 8.000  | m                 |
|          | Split afstand  | $e_{walls}$   | 8.000  | m                 |
|          | Dak 1 helling  | $\alpha_1$    | 0.00   | deg               |
|          | Zone afmetingen                                      |               |        |                   |
|          | Zone A diepte  | $d_{A,1}$     | 1.600  | m                 |
|          | Zone A diepte  | $d_{A,2}$     | 1.600  | m                 |
|          | Zone B diepte  | $d_{B,1}$     | 6.400  | m                 |
|          | Zone B diepte  | $d_{B,2}$     | 6.400  | m                 |
|          | Zone C diepte  | $d_{C,1}$     | 7.900  | m                 |
|          | Zone C diepte  | $d_{C,2}$     | 7.900  | m                 |
|          | Zone F breedte                                       | $b_{F,1}$     | 2.000  | m                 |
|          | Zone F breedte                                       | $b_{F,2}$     | 2.000  | m                 |
|          | Zone F diepte  | $d_F$         | 0.800  | m                 |
|          | Zone G breedte                                       | $b_{G,1}$     | 11.375 | m                 |
|          | Zone G breedte                                       | $b_{G,2}$     | 11.375 | m                 |
|          | Zone G diepte  | $d_G$         | 0.800  | m                 |
|          | Zone H diepte  | $d_H$         | 3.200  | m                 |
|          | Zone I diepte  | $d_{I,1}$     | 11.900 | m                 |
|          | Zone I diepte  | $d_{I,2}$     | 11.900 | m                 |
|          | Snelheid druk  |               |        |                   |
|          | Piek snelheidsdruk                                   | $q_p(h)$      | 0.90   | kN/m <sup>2</sup> |
|          | Zone A   |               |        |                   |
|          | Externe drukcoëfficiënt                              | $C_{pe,1}$    | -1.20  | --                |
|          | Externe drukcoëfficiënt                              | $C_{pe,2}$    | -1.20  | --                |
|          | Interne druk coëfficiënt                             | $C_{pi}$      | 0.30   | --                |
|          | Externe en inwendige drukcoëfficiënt                 | $C_{net,1}$   | -1.50  | --                |
|          | Externe en inwendige drukcoëfficiënt                 | $C_{net,2}$   | -1.50  | --                |
|          | Externe winddruk                                     | $W_{e,1}$     | -1.08  | kN/m <sup>2</sup> |
|          | Externe winddruk                                     | $W_{e,2}$     | -1.08  | kN/m <sup>2</sup> |
|          | Interne druk   | $W_i$         | 0.27   | kN/m <sup>2</sup> |
|          | Externe en inwendige druk - enkel verhogende lasten  | $W_{net,1}$   | -1.35  | kN/m <sup>2</sup> |
|          | Externe en inwendige druk - enkel verhogende lasten  | $W_{net,2}$   | -1.35  | kN/m <sup>2</sup> |
|          | Zone B   |               |        |                   |
|          | Externe drukcoëfficiënt                              | $C_{pe,1}$    | -0.80  | --                |
|          | Externe drukcoëfficiënt                              | $C_{pe,2}$    | -0.80  | --                |



## MODEL

## 5.2.5

## WINDLASTEN - RESULTATEN

| Last Nr. | Omschrijving  | Symbool       | Waarde | Eenheid           |
|----------|---|---------------|--------|-------------------|
|          | Interne druk coëfficiënt                              | $C_{pi}$      | 0.30   | --                |
|          | Externe en inwendige drukcoëfficiënt                  | $C_{net,1}$   | -1.10  | --                |
|          | Externe en inwendige drukcoëfficiënt                  | $C_{net,2}$   | -1.10  | --                |
|          | Externe winddruk                                      | $W_{e,1}$     | -0.72  | kN/m <sup>2</sup> |
|          | Externe winddruk                                      | $W_{e,2}$     | -0.72  | kN/m <sup>2</sup> |
|          | Interne druk  | $W_i$         | 0.27   | kN/m <sup>2</sup> |
|          | Externe en inwendige druk - enkel verhogende lasten   | $W_{net,1}$   | -0.99  | kN/m <sup>2</sup> |
|          | Externe en inwendige druk - enkel verhogende lasten   | $W_{net,2}$   | -0.99  | kN/m <sup>2</sup> |
|          | Zone C  |               |        |                   |
|          | Externe drukcoëfficiënt                               | $C_{pe,1}$    | -0.50  | --                |
|          | Externe drukcoëfficiënt                               | $C_{pe,2}$    | -0.50  | --                |
|          | Interne druk coëfficiënt                              | $C_{pi}$      | 0.30   | --                |
|          | Externe en inwendige drukcoëfficiënt                  | $C_{net,1}$   | -0.80  | --                |
|          | Externe en inwendige drukcoëfficiënt                  | $C_{net,2}$   | -0.80  | --                |
|          | Externe winddruk                                      | $W_{e,1}$     | -0.45  | kN/m <sup>2</sup> |
|          | Externe winddruk                                      | $W_{e,2}$     | -0.45  | kN/m <sup>2</sup> |
|          | Interne druk  | $W_i$         | 0.27   | kN/m <sup>2</sup> |
|          | Externe en inwendige druk - enkel verhogende lasten   | $W_{net,1}$   | -0.72  | kN/m <sup>2</sup> |
|          | Externe en inwendige druk - enkel verhogende lasten   | $W_{net,2}$   | -0.72  | kN/m <sup>2</sup> |
|          | Zone D  |               |        |                   |
|          | Externe drukcoëfficiënt                               | $C_{pe}$      | 0.80   | --                |
|          | Interne druk coëfficiënt                              | $C_{pi}$      | 0.30   | --                |
|          | Externe en inwendige drukcoëfficiënt                  | $C_{net}$     | 0.50   | --                |
|          | Externe winddruk                                      | $W_e$         | 0.61   | kN/m <sup>2</sup> |
|          | Interne druk  | $W_i$         | 0.27   | kN/m <sup>2</sup> |
|          | Externe en inwendige druk - enkel verhogende lasten   | $W_{net}$     | 0.61   | kN/m <sup>2</sup> |
|          | Zone E  |               |        |                   |
|          | Externe drukcoëfficiënt                               | $C_{pe}$      | -0.50  | --                |
|          | Interne druk coëfficiënt                              | $C_{pi}$      | 0.30   | --                |
|          | Externe en inwendige drukcoëfficiënt                  | $C_{net}$     | -0.80  | --                |
|          | Externe winddruk                                      | $W_e$         | -0.38  | kN/m <sup>2</sup> |
|          | Interne druk  | $W_i$         | 0.27   | kN/m <sup>2</sup> |
|          | Externe en inwendige druk - enkel verhogende lasten   | $W_{net}$     | -0.65  | kN/m <sup>2</sup> |
|          | Zone F  |               |        |                   |
|          | Externe drukcoëfficiënt                               | $C_{pe}$      | -1.80  | --                |
|          | Interne druk coëfficiënt                              | $C_{pi}$      | 0.30   | --                |
|          | Externe en inwendige drukcoëfficiënt                  | $C_{net}$     | -2.10  | --                |
|          | Externe winddruk                                      | $W_e$         | -1.62  | kN/m <sup>2</sup> |
|          | Interne druk  | $W_i$         | 0.27   | kN/m <sup>2</sup> |
|          | Externe en inwendige druk - enkel verhogende lasten   | $W_{net}$     | -1.88  | kN/m <sup>2</sup> |
|          | Zone G  |               |        |                   |
|          | Externe drukcoëfficiënt                               | $C_{pe}$      | -1.20  | --                |
|          | Interne druk coëfficiënt                              | $C_{pi}$      | 0.30   | --                |
|          | Externe en inwendige drukcoëfficiënt                  | $C_{net}$     | -1.50  | --                |
|          | Externe winddruk                                      | $W_e$         | -1.08  | kN/m <sup>2</sup> |
|          | Interne druk  | $W_i$         | 0.27   | kN/m <sup>2</sup> |
|          | Externe en inwendige druk - enkel verhogende lasten   | $W_{net}$     | -1.35  | kN/m <sup>2</sup> |
|          | Zone H  |               |        |                   |
|          | Externe drukcoëfficiënt                               | $C_{pe}$      | -0.70  | --                |
|          | Interne druk coëfficiënt                              | $C_{pi}$      | 0.30   | --                |
|          | Externe en inwendige drukcoëfficiënt                  | $C_{net}$     | -1.00  | --                |
|          | Externe winddruk                                      | $W_e$         | -0.63  | kN/m <sup>2</sup> |
|          | Interne druk  | $W_i$         | 0.27   | kN/m <sup>2</sup> |
|          | Externe en inwendige druk - enkel verhogende lasten   | $W_{net}$     | -0.90  | kN/m <sup>2</sup> |
|          | Zone I  |               |        |                   |
|          | Externe drukcoëfficiënt                               | $C_{pe}$      | -0.20  | --                |
|          | Interne druk coëfficiënt                              | $C_{pi}$      | 0.30   | --                |
|          | Externe en inwendige drukcoëfficiënt                  | $C_{net}$     | -0.50  | --                |
|          | Externe winddruk                                      | $W_e$         | -0.18  | kN/m <sup>2</sup> |
|          | Interne druk  | $W_i$         | 0.27   | kN/m <sup>2</sup> |
|          | Externe en inwendige druk - enkel verhogende lasten   | $W_{net}$     | -0.45  | kN/m <sup>2</sup> |
|          | BG5 - Wind Loodrecht op Wand 2 (B-C)   90°   Geval w+ |               |        |                   |
|          | Gebouwafmetingen                                      |               |        |                   |
|          | Constructie hoogte                                    | $h$           | 4.000  | m                 |
|          | Constructie breedte                                   | $b_1$         | 15.900 | m                 |
|          | Constructie breedte                                   | $b_2$         | 15.900 | m                 |
|          | Constructie diepte                                    | $d_1$         | 15.375 | m                 |
|          | Constructie diepte                                    | $d_2$         | 15.375 | m                 |
|          | Split afstand   | $e_{1,roof}$  | 8.000  | m                 |
|          | Split afstand   | $e_{2,roof}$  | 8.000  | m                 |
|          | Split afstand   | $e_{roof}$    | 8.000  | m                 |
|          | Split afstand   | $e_{1,walls}$ | 8.000  | m                 |

**MODEL**

5.2.5

**WINDLASTEN - RESULTATEN**

| Last Nr. | Omschrijving  | Symbool       | Waarde | Eenheid           |
|----------|---|---------------|--------|-------------------|
|          | Split afstand                                       | $e_{2,walls}$ | 8.000  | m                 |
|          | Split afstand                                       | $e_{walls}$   | 8.000  | m                 |
|          | Dak 1 helling                                       | $\alpha_1$    | 0.00   | deg               |
|          | Zone afmetingen                                     |               |        |                   |
|          | Zone A diepte                                       | $d_{A,1}$     | 1.600  | m                 |
|          | Zone A diepte                                       | $d_{A,2}$     | 1.600  | m                 |
|          | Zone B diepte                                       | $d_{B,1}$     | 6.400  | m                 |
|          | Zone B diepte                                       | $d_{B,2}$     | 6.400  | m                 |
|          | Zone C diepte                                       | $d_{C,1}$     | 7.375  | m                 |
|          | Zone C diepte                                       | $d_{C,2}$     | 7.375  | m                 |
|          | Zone F breedte                                      | $b_{F,1}$     | 2.000  | m                 |
|          | Zone F breedte                                      | $b_{F,2}$     | 2.000  | m                 |
|          | Zone F diepte                                       | $d_F$         | 0.800  | m                 |
|          | Zone G breedte                                      | $b_{G,1}$     | 11.900 | m                 |
|          | Zone G breedte                                      | $b_{G,2}$     | 11.900 | m                 |
|          | Zone G diepte                                       | $d_G$         | 0.800  | m                 |
|          | Zone H diepte                                       | $d_H$         | 3.200  | m                 |
|          | Zone I diepte                                       | $d_{I,1}$     | 11.375 | m                 |
|          | Zone I diepte                                       | $d_{I,2}$     | 11.375 | m                 |
|          | Snelheid druk                                       |               |        |                   |
|          | Piek snelheidsdruk                                  | $q_p(h)$      | 0.90   | kN/m <sup>2</sup> |
|          | Zone A  |               |        |                   |
|          | Externe drukcoëfficiënt                             | $C_{pe,1}$    | -1.20  | --                |
|          | Externe drukcoëfficiënt                             | $C_{pe,2}$    | -1.20  | --                |
|          | Interne druk coëfficiënt                            | $C_{pi}$      | -0.30  | --                |
|          | Externe en inwendige drukcoëfficiënt                | $C_{net,1}$   | -0.90  | --                |
|          | Externe en inwendige drukcoëfficiënt                | $C_{net,2}$   | -0.90  | --                |
|          | Externe winddruk                                    | $W_{e,1}$     | -1.08  | kN/m <sup>2</sup> |
|          | Externe winddruk                                    | $W_{e,2}$     | -1.08  | kN/m <sup>2</sup> |
|          | Interne druk  | $W_i$         | -0.27  | kN/m <sup>2</sup> |
|          | Externe en inwendige druk - enkel verhogende lasten | $W_{net,1}$   | -1.08  | kN/m <sup>2</sup> |
|          | Externe en inwendige druk - enkel verhogende lasten | $W_{net,2}$   | -1.08  | kN/m <sup>2</sup> |
|          | Zone B  |               |        |                   |
|          | Externe drukcoëfficiënt                             | $C_{pe,1}$    | -0.80  | --                |
|          | Externe drukcoëfficiënt                             | $C_{pe,2}$    | -0.80  | --                |
|          | Interne druk coëfficiënt                            | $C_{pi}$      | -0.30  | --                |
|          | Externe en inwendige drukcoëfficiënt                | $C_{net,1}$   | -0.50  | --                |
|          | Externe en inwendige drukcoëfficiënt                | $C_{net,2}$   | -0.50  | --                |
|          | Externe winddruk                                    | $W_{e,1}$     | -0.72  | kN/m <sup>2</sup> |
|          | Externe winddruk                                    | $W_{e,2}$     | -0.72  | kN/m <sup>2</sup> |
|          | Interne druk  | $W_i$         | -0.27  | kN/m <sup>2</sup> |
|          | Externe en inwendige druk - enkel verhogende lasten | $W_{net,1}$   | -0.72  | kN/m <sup>2</sup> |
|          | Externe en inwendige druk - enkel verhogende lasten | $W_{net,2}$   | -0.72  | kN/m <sup>2</sup> |
|          | Zone C  |               |        |                   |
|          | Externe drukcoëfficiënt                             | $C_{pe,1}$    | -0.50  | --                |
|          | Externe drukcoëfficiënt                             | $C_{pe,2}$    | -0.50  | --                |
|          | Interne druk coëfficiënt                            | $C_{pi}$      | -0.30  | --                |
|          | Externe en inwendige drukcoëfficiënt                | $C_{net,1}$   | -0.20  | --                |
|          | Externe en inwendige drukcoëfficiënt                | $C_{net,2}$   | -0.20  | --                |
|          | Externe winddruk                                    | $W_{e,1}$     | -0.45  | kN/m <sup>2</sup> |
|          | Externe winddruk                                    | $W_{e,2}$     | -0.45  | kN/m <sup>2</sup> |
|          | Interne druk  | $W_i$         | -0.27  | kN/m <sup>2</sup> |
|          | Externe en inwendige druk - enkel verhogende lasten | $W_{net,1}$   | -0.45  | kN/m <sup>2</sup> |
|          | Externe en inwendige druk - enkel verhogende lasten | $W_{net,2}$   | -0.45  | kN/m <sup>2</sup> |
|          | Zone D  |               |        |                   |
|          | Externe drukcoëfficiënt                             | $C_{pe}$      | 0.80   | --                |
|          | Interne druk coëfficiënt                            | $C_{pi}$      | -0.30  | --                |
|          | Externe en inwendige drukcoëfficiënt                | $C_{net}$     | 1.10   | --                |
|          | Externe winddruk                                    | $W_e$         | 0.61   | kN/m <sup>2</sup> |
|          | Interne druk  | $W_i$         | -0.27  | kN/m <sup>2</sup> |
|          | Externe en inwendige druk - enkel verhogende lasten | $W_{net}$     | 0.88   | kN/m <sup>2</sup> |
|          | Zone E  |               |        |                   |
|          | Externe drukcoëfficiënt                             | $C_{pe}$      | -0.50  | --                |
|          | Interne druk coëfficiënt                            | $C_{pi}$      | -0.30  | --                |
|          | Externe en inwendige drukcoëfficiënt                | $C_{net}$     | -0.20  | --                |
|          | Externe winddruk                                    | $W_e$         | -0.38  | kN/m <sup>2</sup> |
|          | Interne druk  | $W_i$         | -0.27  | kN/m <sup>2</sup> |
|          | Externe en inwendige druk - enkel verhogende lasten | $W_{net}$     | -0.38  | kN/m <sup>2</sup> |
|          | Zone F  |               |        |                   |
|          | Externe drukcoëfficiënt                             | $C_{pe}$      | -1.80  | --                |
|          | Interne druk coëfficiënt                            | $C_{pi}$      | -0.30  | --                |
|          | Externe en inwendige drukcoëfficiënt                | $C_{net}$     | -1.50  | --                |

MODEL

5.2.5

WINDLASTEN - RESULTATEN

| Last Nr. | Omschrijving  | Symbol        | Waarde | Eenheid           |
|----------|---|---------------|--------|-------------------|
|          | Externe winddruk                                      | $W_e$         | -1.62  | kN/m <sup>2</sup> |
|          | Interne druk  | $W_i$         | -0.27  | kN/m <sup>2</sup> |
|          | Externe en inwendige druk - enkel verhogende lasten   | $W_{net}$     | -1.62  | kN/m <sup>2</sup> |
|          | Zone G  |               |        |                   |
|          | Externe drukcoëfficiënt                               | $C_{pe}$      | -1.20  | --                |
|          | Interne druk coëfficiënt                              | $C_{pi}$      | -0.30  | --                |
|          | Externe en inwendige drukcoëfficiënt                  | $C_{net}$     | -0.90  | --                |
|          | Externe winddruk                                      | $W_e$         | -1.08  | kN/m <sup>2</sup> |
|          | Interne druk  | $W_i$         | -0.27  | kN/m <sup>2</sup> |
|          | Externe en inwendige druk - enkel verhogende lasten   | $W_{net}$     | -1.08  | kN/m <sup>2</sup> |
|          | Zone H  |               |        |                   |
|          | Externe drukcoëfficiënt                               | $C_{pe}$      | -0.70  | --                |
|          | Interne druk coëfficiënt                              | $C_{pi}$      | -0.30  | --                |
|          | Externe en inwendige drukcoëfficiënt                  | $C_{net}$     | -0.40  | --                |
|          | Externe winddruk                                      | $W_e$         | -0.63  | kN/m <sup>2</sup> |
|          | Interne druk  | $W_i$         | -0.27  | kN/m <sup>2</sup> |
|          | Externe en inwendige druk - enkel verhogende lasten   | $W_{net}$     | -0.63  | kN/m <sup>2</sup> |
|          | Zone I  |               |        |                   |
|          | Externe drukcoëfficiënt                               | $C_{pe}$      | 0.20   | --                |
|          | Interne druk coëfficiënt                              | $C_{pi}$      | -0.30  | --                |
|          | Externe en inwendige drukcoëfficiënt                  | $C_{net}$     | 0.50   | --                |
|          | Externe winddruk                                      | $W_e$         | 0.18   | kN/m <sup>2</sup> |
|          | Interne druk  | $W_i$         | -0.27  | kN/m <sup>2</sup> |
|          | Externe en inwendige druk - enkel verhogende lasten   | $W_{net}$     | 0.45   | kN/m <sup>2</sup> |
|          | BG6 - Wind Loodrecht op Wand 2 (B-C)   90°   Geval w- |               |        |                   |
|          | Gebouwafmetingen                                      |               |        |                   |
|          | Constructie hoogte                                    | $h$           | 4.000  | m                 |
|          | Constructie breedte                                   | $b_1$         | 15.900 | m                 |
|          | Constructie breedte                                   | $b_2$         | 15.900 | m                 |
|          | Constructie diepte                                    | $d_1$         | 15.375 | m                 |
|          | Constructie diepte                                    | $d_2$         | 15.375 | m                 |
|          | Split afstand   | $e_{1,roof}$  | 8.000  | m                 |
|          | Split afstand   | $e_{2,roof}$  | 8.000  | m                 |
|          | Split afstand   | $e_{roof}$    | 8.000  | m                 |
|          | Split afstand   | $e_{1,walls}$ | 8.000  | m                 |
|          | Split afstand   | $e_{2,walls}$ | 8.000  | m                 |
|          | Split afstand   | $e_{walls}$   | 8.000  | m                 |
|          | Dak 1 helling   | $\alpha_1$    | 0.00   | deg               |
|          | Zone afmetingen                                       |               |        |                   |
|          | Zone A diepte   | $d_{A,1}$     | 1.600  | m                 |
|          | Zone A diepte   | $d_{A,2}$     | 1.600  | m                 |
|          | Zone B diepte   | $d_{B,1}$     | 6.400  | m                 |
|          | Zone B diepte   | $d_{B,2}$     | 6.400  | m                 |
|          | Zone C diepte   | $d_{C,1}$     | 7.375  | m                 |
|          | Zone C diepte   | $d_{C,2}$     | 7.375  | m                 |
|          | Zone F breedte  | $b_{F,1}$     | 2.000  | m                 |
|          | Zone F breedte  | $b_{F,2}$     | 2.000  | m                 |
|          | Zone F diepte   | $d_F$         | 0.800  | m                 |
|          | Zone G breedte  | $b_{G,1}$     | 11.900 | m                 |
|          | Zone G breedte  | $b_{G,2}$     | 11.900 | m                 |
|          | Zone G diepte   | $d_G$         | 0.800  | m                 |
|          | Zone H diepte   | $d_H$         | 3.200  | m                 |
|          | Zone I diepte   | $d_{I,1}$     | 11.375 | m                 |
|          | Zone I diepte   | $d_{I,2}$     | 11.375 | m                 |
|          | Snelheid druk   |               |        |                   |
|          | Piek snelheidsdruk                                    | $q_p(h)$      | 0.90   | kN/m <sup>2</sup> |
|          | Zone A  |               |        |                   |
|          | Externe drukcoëfficiënt                               | $C_{pe,1}$    | -1.20  | --                |
|          | Externe drukcoëfficiënt                               | $C_{pe,2}$    | -1.20  | --                |
|          | Interne druk coëfficiënt                              | $C_{pi}$      | -0.30  | --                |
|          | Externe en inwendige drukcoëfficiënt                  | $C_{net,1}$   | -0.90  | --                |
|          | Externe en inwendige drukcoëfficiënt                  | $C_{net,2}$   | -0.90  | --                |
|          | Externe winddruk                                      | $W_{e,1}$     | -1.08  | kN/m <sup>2</sup> |
|          | Externe winddruk                                      | $W_{e,2}$     | -1.08  | kN/m <sup>2</sup> |
|          | Interne druk  | $W_i$         | -0.27  | kN/m <sup>2</sup> |
|          | Externe en inwendige druk - enkel verhogende lasten   | $W_{net,1}$   | -1.08  | kN/m <sup>2</sup> |
|          | Externe en inwendige druk - enkel verhogende lasten   | $W_{net,2}$   | -1.08  | kN/m <sup>2</sup> |
|          | Zone B  |               |        |                   |
|          | Externe drukcoëfficiënt                               | $C_{pe,1}$    | -0.80  | --                |
|          | Externe drukcoëfficiënt                               | $C_{pe,2}$    | -0.80  | --                |
|          | Interne druk coëfficiënt                              | $C_{pi}$      | -0.30  | --                |
|          | Externe en inwendige drukcoëfficiënt                  | $C_{net,1}$   | -0.50  | --                |



MODEL

5.2.5

WINDLASTEN - RESULTATEN

| Last Nr. | Omschrijving   | Symbool       | Waarde | Eenheid           |
|----------|--|---------------|--------|-------------------|
|          | Externe en inwendige drukcoëfficiënt                   | $C_{net,2}$   | -0.50  | --                |
|          | Externe winddruk                                       | $W_{e,1}$     | -0.72  | kN/m <sup>2</sup> |
|          | Externe winddruk                                       | $W_{e,2}$     | -0.72  | kN/m <sup>2</sup> |
|          | Interne druk   | $W_i$         | -0.27  | kN/m <sup>2</sup> |
|          | Externe en inwendige druk - enkel verhogende lasten    | $W_{net,1}$   | -0.72  | kN/m <sup>2</sup> |
|          | Externe en inwendige druk - enkel verhogende lasten    | $W_{net,2}$   | -0.72  | kN/m <sup>2</sup> |
|          | Zone C   |               |        |                   |
|          | Externe drukcoëfficiënt                                | $C_{pe,1}$    | -0.50  | --                |
|          | Externe drukcoëfficiënt                                | $C_{pe,2}$    | -0.50  | --                |
|          | Interne druk coëfficiënt                               | $C_{pi}$      | -0.30  | --                |
|          | Externe en inwendige drukcoëfficiënt                   | $C_{net,1}$   | -0.20  | --                |
|          | Externe en inwendige drukcoëfficiënt                   | $C_{net,2}$   | -0.20  | --                |
|          | Externe winddruk                                       | $W_{e,1}$     | -0.45  | kN/m <sup>2</sup> |
|          | Externe winddruk                                       | $W_{e,2}$     | -0.45  | kN/m <sup>2</sup> |
|          | Interne druk   | $W_i$         | -0.27  | kN/m <sup>2</sup> |
|          | Externe en inwendige druk - enkel verhogende lasten    | $W_{net,1}$   | -0.45  | kN/m <sup>2</sup> |
|          | Externe en inwendige druk - enkel verhogende lasten    | $W_{net,2}$   | -0.45  | kN/m <sup>2</sup> |
|          | Zone D   |               |        |                   |
|          | Externe drukcoëfficiënt                                | $C_{pe}$      | 0.80   | --                |
|          | Interne druk coëfficiënt                               | $C_{pi}$      | -0.30  | --                |
|          | Externe en inwendige drukcoëfficiënt                   | $C_{net}$     | 1.10   | --                |
|          | Externe winddruk                                       | $W_e$         | 0.61   | kN/m <sup>2</sup> |
|          | Interne druk   | $W_i$         | -0.27  | kN/m <sup>2</sup> |
|          | Externe en inwendige druk - enkel verhogende lasten    | $W_{net}$     | 0.88   | kN/m <sup>2</sup> |
|          | Zone E   |               |        |                   |
|          | Externe drukcoëfficiënt                                | $C_{pe}$      | -0.50  | --                |
|          | Interne druk coëfficiënt                               | $C_{pi}$      | -0.30  | --                |
|          | Externe en inwendige drukcoëfficiënt                   | $C_{net}$     | -0.20  | --                |
|          | Externe winddruk                                       | $W_e$         | -0.38  | kN/m <sup>2</sup> |
|          | Interne druk   | $W_i$         | -0.27  | kN/m <sup>2</sup> |
|          | Externe en inwendige druk - enkel verhogende lasten    | $W_{net}$     | -0.38  | kN/m <sup>2</sup> |
|          | Zone F   |               |        |                   |
|          | Externe drukcoëfficiënt                                | $C_{pe}$      | -1.80  | --                |
|          | Interne druk coëfficiënt                               | $C_{pi}$      | -0.30  | --                |
|          | Externe en inwendige drukcoëfficiënt                   | $C_{net}$     | -1.50  | --                |
|          | Externe winddruk                                       | $W_e$         | -1.62  | kN/m <sup>2</sup> |
|          | Interne druk   | $W_i$         | -0.27  | kN/m <sup>2</sup> |
|          | Externe en inwendige druk - enkel verhogende lasten    | $W_{net}$     | -1.62  | kN/m <sup>2</sup> |
|          | Zone G   |               |        |                   |
|          | Externe drukcoëfficiënt                                | $C_{pe}$      | -1.20  | --                |
|          | Interne druk coëfficiënt                               | $C_{pi}$      | -0.30  | --                |
|          | Externe en inwendige drukcoëfficiënt                   | $C_{net}$     | -0.90  | --                |
|          | Externe winddruk                                       | $W_e$         | -1.08  | kN/m <sup>2</sup> |
|          | Interne druk   | $W_i$         | -0.27  | kN/m <sup>2</sup> |
|          | Externe en inwendige druk - enkel verhogende lasten    | $W_{net}$     | -1.08  | kN/m <sup>2</sup> |
|          | Zone H   |               |        |                   |
|          | Externe drukcoëfficiënt                                | $C_{pe}$      | -0.70  | --                |
|          | Interne druk coëfficiënt                               | $C_{pi}$      | -0.30  | --                |
|          | Externe en inwendige drukcoëfficiënt                   | $C_{net}$     | -0.40  | --                |
|          | Externe winddruk                                       | $W_e$         | -0.63  | kN/m <sup>2</sup> |
|          | Interne druk   | $W_i$         | -0.27  | kN/m <sup>2</sup> |
|          | Externe en inwendige druk - enkel verhogende lasten    | $W_{net}$     | -0.63  | kN/m <sup>2</sup> |
|          | Zone I   |               |        |                   |
|          | Externe drukcoëfficiënt                                | $C_{pe}$      | -0.20  | --                |
|          | Interne druk coëfficiënt                               | $C_{pi}$      | -0.30  | --                |
|          | Externe en inwendige drukcoëfficiënt                   | $C_{net}$     | 0.10   | --                |
|          | Externe winddruk                                       | $W_e$         | -0.18  | kN/m <sup>2</sup> |
|          | Interne druk   | $W_i$         | -0.27  | kN/m <sup>2</sup> |
|          | Externe en inwendige druk - enkel verhogende lasten    | $W_{net}$     | -0.18  | kN/m <sup>2</sup> |
|          | BG8 - Wind Loodrecht op Wand 3 (C-D)   180°   Geval w+ |               |        |                   |
|          | Gebouwafmetingen                                       |               |        |                   |
|          | Constructie hoogte                                     | $h$           | 4.000  | m                 |
|          | Constructie breedte                                    | $b_1$         | 15.375 | m                 |
|          | Constructie breedte                                    | $b_2$         | 15.375 | m                 |
|          | Constructie diepte                                     | $d_1$         | 15.900 | m                 |
|          | Constructie diepte                                     | $d_2$         | 15.900 | m                 |
|          | Split afstand  | $e_{1,roof}$  | 8.000  | m                 |
|          | Split afstand  | $e_{2,roof}$  | 8.000  | m                 |
|          | Split afstand  | $e_{roof}$    | 8.000  | m                 |
|          | Split afstand  | $e_{1,walls}$ | 8.000  | m                 |
|          | Split afstand  | $e_{2,walls}$ | 8.000  | m                 |
|          | Split afstand  | $e_{walls}$   | 8.000  | m                 |

## 5.2.5

## WINDLASTEN - RESULTATEN

| Last Nr. | Omschrijving  | Symbool     | Waarde | Eenheid           |
|----------|---|-------------|--------|-------------------|
|          | Dak 1 helling                                       | $\alpha_1$  | 0.00   | deg               |
|          | Zone afmetingen                                     |             |        |                   |
|          | Zone A diepte                                       | $d_{A,1}$   | 1.600  | m                 |
|          | Zone A diepte                                       | $d_{A,2}$   | 1.600  | m                 |
|          | Zone B diepte                                       | $d_{B,1}$   | 6.400  | m                 |
|          | Zone B diepte                                       | $d_{B,2}$   | 6.400  | m                 |
|          | Zone C diepte                                       | $d_{C,1}$   | 7.900  | m                 |
|          | Zone C diepte                                       | $d_{C,2}$   | 7.900  | m                 |
|          | Zone F breedte                                      | $b_{F,1}$   | 2.000  | m                 |
|          | Zone F breedte                                      | $b_{F,2}$   | 2.000  | m                 |
|          | Zone F diepte                                       | $d_F$       | 0.800  | m                 |
|          | Zone G breedte                                      | $b_{G,1}$   | 11.375 | m                 |
|          | Zone G breedte                                      | $b_{G,2}$   | 11.375 | m                 |
|          | Zone G diepte                                       | $d_G$       | 0.800  | m                 |
|          | Zone H diepte                                       | $d_H$       | 3.200  | m                 |
|          | Zone I diepte                                       | $d_{I,1}$   | 11.900 | m                 |
|          | Zone I diepte                                       | $d_{I,2}$   | 11.900 | m                 |
|          | Snelheid druk                                       |             |        |                   |
|          | Piek snelheidsdruk                                  | $q_p(h)$    | 0.90   | kN/m <sup>2</sup> |
|          | Zone A  |             |        |                   |
|          | Externe drukcoëfficiënt                             | $C_{pe,1}$  | -1.20  | --                |
|          | Externe drukcoëfficiënt                             | $C_{pe,2}$  | -1.20  | --                |
|          | Interne druk coëfficiënt                            | $C_{pi}$    | -0.30  | --                |
|          | Externe en inwendige drukcoëfficiënt                | $C_{net,1}$ | -0.90  | --                |
|          | Externe en inwendige drukcoëfficiënt                | $C_{net,2}$ | -0.90  | --                |
|          | Externe winddruk                                    | $W_{e,1}$   | -1.08  | kN/m <sup>2</sup> |
|          | Externe winddruk                                    | $W_{e,2}$   | -1.08  | kN/m <sup>2</sup> |
|          | Interne druk  | $W_i$       | -0.27  | kN/m <sup>2</sup> |
|          | Externe en inwendige druk - enkel verhogende lasten | $W_{net,1}$ | -1.08  | kN/m <sup>2</sup> |
|          | Externe en inwendige druk - enkel verhogende lasten | $W_{net,2}$ | -1.08  | kN/m <sup>2</sup> |
|          | Zone B  |             |        |                   |
|          | Externe drukcoëfficiënt                             | $C_{pe,1}$  | -0.80  | --                |
|          | Externe drukcoëfficiënt                             | $C_{pe,2}$  | -0.80  | --                |
|          | Interne druk coëfficiënt                            | $C_{pi}$    | -0.30  | --                |
|          | Externe en inwendige drukcoëfficiënt                | $C_{net,1}$ | -0.50  | --                |
|          | Externe en inwendige drukcoëfficiënt                | $C_{net,2}$ | -0.50  | --                |
|          | Externe winddruk                                    | $W_{e,1}$   | -0.72  | kN/m <sup>2</sup> |
|          | Externe winddruk                                    | $W_{e,2}$   | -0.72  | kN/m <sup>2</sup> |
|          | Interne druk  | $W_i$       | -0.27  | kN/m <sup>2</sup> |
|          | Externe en inwendige druk - enkel verhogende lasten | $W_{net,1}$ | -0.72  | kN/m <sup>2</sup> |
|          | Externe en inwendige druk - enkel verhogende lasten | $W_{net,2}$ | -0.72  | kN/m <sup>2</sup> |
|          | Zone C  |             |        |                   |
|          | Externe drukcoëfficiënt                             | $C_{pe,1}$  | -0.50  | --                |
|          | Externe drukcoëfficiënt                             | $C_{pe,2}$  | -0.50  | --                |
|          | Interne druk coëfficiënt                            | $C_{pi}$    | -0.30  | --                |
|          | Externe en inwendige drukcoëfficiënt                | $C_{net,1}$ | -0.20  | --                |
|          | Externe en inwendige drukcoëfficiënt                | $C_{net,2}$ | -0.20  | --                |
|          | Externe winddruk                                    | $W_{e,1}$   | -0.45  | kN/m <sup>2</sup> |
|          | Externe winddruk                                    | $W_{e,2}$   | -0.45  | kN/m <sup>2</sup> |
|          | Interne druk  | $W_i$       | -0.27  | kN/m <sup>2</sup> |
|          | Externe en inwendige druk - enkel verhogende lasten | $W_{net,1}$ | -0.45  | kN/m <sup>2</sup> |
|          | Externe en inwendige druk - enkel verhogende lasten | $W_{net,2}$ | -0.45  | kN/m <sup>2</sup> |
|          | Zone D  |             |        |                   |
|          | Externe drukcoëfficiënt                             | $C_{pe}$    | 0.80   | --                |
|          | Interne druk coëfficiënt                            | $C_{pi}$    | -0.30  | --                |
|          | Externe en inwendige drukcoëfficiënt                | $C_{net}$   | 1.10   | --                |
|          | Externe winddruk                                    | $W_e$       | 0.61   | kN/m <sup>2</sup> |
|          | Interne druk  | $W_i$       | -0.27  | kN/m <sup>2</sup> |
|          | Externe en inwendige druk - enkel verhogende lasten | $W_{net}$   | 0.88   | kN/m <sup>2</sup> |
|          | Zone E  |             |        |                   |
|          | Externe drukcoëfficiënt                             | $C_{pe}$    | -0.50  | --                |
|          | Interne druk coëfficiënt                            | $C_{pi}$    | -0.30  | --                |
|          | Externe en inwendige drukcoëfficiënt                | $C_{net}$   | -0.20  | --                |
|          | Externe winddruk                                    | $W_e$       | -0.38  | kN/m <sup>2</sup> |
|          | Interne druk  | $W_i$       | -0.27  | kN/m <sup>2</sup> |
|          | Externe en inwendige druk - enkel verhogende lasten | $W_{net}$   | -0.38  | kN/m <sup>2</sup> |
|          | Zone F  |             |        |                   |
|          | Externe drukcoëfficiënt                             | $C_{pe}$    | -1.80  | --                |
|          | Interne druk coëfficiënt                            | $C_{pi}$    | -0.30  | --                |
|          | Externe en inwendige drukcoëfficiënt                | $C_{net}$   | -1.50  | --                |
|          | Externe winddruk                                    | $W_e$       | -1.62  | kN/m <sup>2</sup> |
|          | Interne druk  | $W_i$       | -0.27  | kN/m <sup>2</sup> |

## MODEL

## 5.2.5

## WINDLASTEN - RESULTATEN

| Last Nr. | Omschrijving   | Symbol        | Waarde | Eenheid           |
|----------|--|---------------|--------|-------------------|
|          | Externe en inwendige druk - enkel verhogende lasten    | $W_{net}$     | -1.62  | kN/m <sup>2</sup> |
|          | Zone G   |               |        |                   |
|          | Externe drukcoëfficiënt                                | $C_{pe}$      | -1.20  | --                |
|          | Interne druk coëfficiënt                               | $C_{pi}$      | -0.30  | --                |
|          | Externe en inwendige drukcoëfficiënt                   | $C_{net}$     | -0.90  | --                |
|          | Externe winddruk                                       | $W_e$         | -1.08  | kN/m <sup>2</sup> |
|          | Interne druk   | $W_i$         | -0.27  | kN/m <sup>2</sup> |
|          | Externe en inwendige druk - enkel verhogende lasten    | $W_{net}$     | -1.08  | kN/m <sup>2</sup> |
|          | Zone H   |               |        |                   |
|          | Externe drukcoëfficiënt                                | $C_{pe}$      | -0.70  | --                |
|          | Interne druk coëfficiënt                               | $C_{pi}$      | -0.30  | --                |
|          | Externe en inwendige drukcoëfficiënt                   | $C_{net}$     | -0.40  | --                |
|          | Externe winddruk                                       | $W_e$         | -0.63  | kN/m <sup>2</sup> |
|          | Interne druk   | $W_i$         | -0.27  | kN/m <sup>2</sup> |
|          | Externe en inwendige druk - enkel verhogende lasten    | $W_{net}$     | -0.63  | kN/m <sup>2</sup> |
|          | Zone I   |               |        |                   |
|          | Externe drukcoëfficiënt                                | $C_{pe}$      | 0.20   | --                |
|          | Interne druk coëfficiënt                               | $C_{pi}$      | -0.30  | --                |
|          | Externe en inwendige drukcoëfficiënt                   | $C_{net}$     | 0.50   | --                |
|          | Externe winddruk                                       | $W_e$         | 0.18   | kN/m <sup>2</sup> |
|          | Interne druk   | $W_i$         | -0.27  | kN/m <sup>2</sup> |
|          | Externe en inwendige druk - enkel verhogende lasten    | $W_{net}$     | 0.45   | kN/m <sup>2</sup> |
|          | BG9 - Wind Loodrecht op Wand 3 (C-D)   180°   Geval w- |               |        |                   |
|          | Gebouwafmetingen                                       |               |        |                   |
|          | Constructie hoogte                                     | $h$           | 4.000  | m                 |
|          | Constructie breedte                                    | $b_1$         | 15.375 | m                 |
|          | Constructie breedte                                    | $b_2$         | 15.375 | m                 |
|          | Constructie diepte                                     | $d_1$         | 15.900 | m                 |
|          | Constructie diepte                                     | $d_2$         | 15.900 | m                 |
|          | Split afstand  | $e_{1,roof}$  | 8.000  | m                 |
|          | Split afstand  | $e_{2,roof}$  | 8.000  | m                 |
|          | Split afstand  | $e_{roof}$    | 8.000  | m                 |
|          | Split afstand  | $e_{1,walls}$ | 8.000  | m                 |
|          | Split afstand  | $e_{2,walls}$ | 8.000  | m                 |
|          | Split afstand  | $e_{walls}$   | 8.000  | m                 |
|          | Dak 1 helling  | $\alpha_1$    | 0.00   | deg               |
|          | Zone afmetingen  |               |        |                   |
|          | Zone A diepte  | $d_{A,1}$     | 1.600  | m                 |
|          | Zone A diepte  | $d_{A,2}$     | 1.600  | m                 |
|          | Zone B diepte  | $d_{B,1}$     | 6.400  | m                 |
|          | Zone B diepte  | $d_{B,2}$     | 6.400  | m                 |
|          | Zone C diepte  | $d_{C,1}$     | 7.900  | m                 |
|          | Zone C diepte  | $d_{C,2}$     | 7.900  | m                 |
|          | Zone F breedte   | $b_{F,1}$     | 2.000  | m                 |
|          | Zone F breedte   | $b_{F,2}$     | 2.000  | m                 |
|          | Zone F diepte  | $d_F$         | 0.800  | m                 |
|          | Zone G breedte   | $b_{G,1}$     | 11.375 | m                 |
|          | Zone G breedte   | $b_{G,2}$     | 11.375 | m                 |
|          | Zone G diepte  | $d_G$         | 0.800  | m                 |
|          | Zone H diepte  | $d_H$         | 3.200  | m                 |
|          | Zone I diepte  | $d_{I,1}$     | 11.900 | m                 |
|          | Zone I diepte  | $d_{I,2}$     | 11.900 | m                 |
|          | Snelheid druk  |               |        |                   |
|          | Piek snelheidsdruk                                     | $q_p(h)$      | 0.90   | kN/m <sup>2</sup> |
|          | Zone A   |               |        |                   |
|          | Externe drukcoëfficiënt                                | $C_{pe,1}$    | -1.20  | --                |
|          | Externe drukcoëfficiënt                                | $C_{pe,2}$    | -1.20  | --                |
|          | Interne druk coëfficiënt                               | $C_{pi}$      | -0.30  | --                |
|          | Externe en inwendige drukcoëfficiënt                   | $C_{net,1}$   | -0.90  | --                |
|          | Externe en inwendige drukcoëfficiënt                   | $C_{net,2}$   | -0.90  | --                |
|          | Externe winddruk                                       | $W_{e,1}$     | -1.08  | kN/m <sup>2</sup> |
|          | Externe winddruk                                       | $W_{e,2}$     | -1.08  | kN/m <sup>2</sup> |
|          | Interne druk   | $W_i$         | -0.27  | kN/m <sup>2</sup> |
|          | Externe en inwendige druk - enkel verhogende lasten    | $W_{net,1}$   | -1.08  | kN/m <sup>2</sup> |
|          | Externe en inwendige druk - enkel verhogende lasten    | $W_{net,2}$   | -1.08  | kN/m <sup>2</sup> |
|          | Zone B   |               |        |                   |
|          | Externe drukcoëfficiënt                                | $C_{pe,1}$    | -0.80  | --                |
|          | Externe drukcoëfficiënt                                | $C_{pe,2}$    | -0.80  | --                |
|          | Interne druk coëfficiënt                               | $C_{pi}$      | -0.30  | --                |
|          | Externe en inwendige drukcoëfficiënt                   | $C_{net,1}$   | -0.50  | --                |
|          | Externe en inwendige drukcoëfficiënt                   | $C_{net,2}$   | -0.50  | --                |
|          | Externe winddruk                                       | $W_{e,1}$     | -0.72  | kN/m <sup>2</sup> |



MODEL

5.2.5

WINDLASTEN - RESULTATEN

| Last Nr. | Omschrijving  | Symbool       | Waarde | Eenheid           |
|----------|---|---------------|--------|-------------------|
|          | Externe winddruk  | $W_{e,2}$     | -0.72  | kN/m <sup>2</sup> |
|          | Interne druk  | $W_i$         | -0.27  | kN/m <sup>2</sup> |
|          | Externe en inwendige druk - enkel verhogende lasten     | $W_{net,1}$   | -0.72  | kN/m <sup>2</sup> |
|          | Externe en inwendige druk - enkel verhogende lasten     | $W_{net,2}$   | -0.72  | kN/m <sup>2</sup> |
|          | Zone C  |               |        |                   |
|          | Externe drukcoëfficiënt                                 | $C_{pe,1}$    | -0.50  | --                |
|          | Externe drukcoëfficiënt                                 | $C_{pe,2}$    | -0.50  | --                |
|          | Interne druk coëfficiënt                                | $C_{pi}$      | -0.30  | --                |
|          | Externe en inwendige drukcoëfficiënt                    | $C_{net,1}$   | -0.20  | --                |
|          | Externe en inwendige drukcoëfficiënt                    | $C_{net,2}$   | -0.20  | --                |
|          | Externe winddruk  | $W_{e,1}$     | -0.45  | kN/m <sup>2</sup> |
|          | Externe winddruk  | $W_{e,2}$     | -0.45  | kN/m <sup>2</sup> |
|          | Interne druk  | $W_i$         | -0.27  | kN/m <sup>2</sup> |
|          | Externe en inwendige druk - enkel verhogende lasten     | $W_{net,1}$   | -0.45  | kN/m <sup>2</sup> |
|          | Externe en inwendige druk - enkel verhogende lasten     | $W_{net,2}$   | -0.45  | kN/m <sup>2</sup> |
|          | Zone D  |               |        |                   |
|          | Externe drukcoëfficiënt                                 | $C_{pe}$      | 0.80   | --                |
|          | Interne druk coëfficiënt                                | $C_{pi}$      | -0.30  | --                |
|          | Externe en inwendige drukcoëfficiënt                    | $C_{net}$     | 1.10   | --                |
|          | Externe winddruk  | $W_e$         | 0.61   | kN/m <sup>2</sup> |
|          | Interne druk  | $W_i$         | -0.27  | kN/m <sup>2</sup> |
|          | Externe en inwendige druk - enkel verhogende lasten     | $W_{net}$     | 0.88   | kN/m <sup>2</sup> |
|          | Zone E  |               |        |                   |
|          | Externe drukcoëfficiënt                                 | $C_{pe}$      | -0.50  | --                |
|          | Interne druk coëfficiënt                                | $C_{pi}$      | -0.30  | --                |
|          | Externe en inwendige drukcoëfficiënt                    | $C_{net}$     | -0.20  | --                |
|          | Externe winddruk  | $W_e$         | -0.38  | kN/m <sup>2</sup> |
|          | Interne druk  | $W_i$         | -0.27  | kN/m <sup>2</sup> |
|          | Externe en inwendige druk - enkel verhogende lasten     | $W_{net}$     | -0.38  | kN/m <sup>2</sup> |
|          | Zone F  |               |        |                   |
|          | Externe drukcoëfficiënt                                 | $C_{pe}$      | -1.80  | --                |
|          | Interne druk coëfficiënt                                | $C_{pi}$      | -0.30  | --                |
|          | Externe en inwendige drukcoëfficiënt                    | $C_{net}$     | -1.50  | --                |
|          | Externe winddruk  | $W_e$         | -1.62  | kN/m <sup>2</sup> |
|          | Interne druk  | $W_i$         | -0.27  | kN/m <sup>2</sup> |
|          | Externe en inwendige druk - enkel verhogende lasten     | $W_{net}$     | -1.62  | kN/m <sup>2</sup> |
|          | Zone G  |               |        |                   |
|          | Externe drukcoëfficiënt                                 | $C_{pe}$      | -1.20  | --                |
|          | Interne druk coëfficiënt                                | $C_{pi}$      | -0.30  | --                |
|          | Externe en inwendige drukcoëfficiënt                    | $C_{net}$     | -0.90  | --                |
|          | Externe winddruk  | $W_e$         | -1.08  | kN/m <sup>2</sup> |
|          | Interne druk  | $W_i$         | -0.27  | kN/m <sup>2</sup> |
|          | Externe en inwendige druk - enkel verhogende lasten     | $W_{net}$     | -1.08  | kN/m <sup>2</sup> |
|          | Zone H  |               |        |                   |
|          | Externe drukcoëfficiënt                                 | $C_{pe}$      | -0.70  | --                |
|          | Interne druk coëfficiënt                                | $C_{pi}$      | -0.30  | --                |
|          | Externe en inwendige drukcoëfficiënt                    | $C_{net}$     | -0.40  | --                |
|          | Externe winddruk  | $W_e$         | -0.63  | kN/m <sup>2</sup> |
|          | Interne druk  | $W_i$         | -0.27  | kN/m <sup>2</sup> |
|          | Externe en inwendige druk - enkel verhogende lasten     | $W_{net}$     | -0.63  | kN/m <sup>2</sup> |
|          | Zone I  |               |        |                   |
|          | Externe drukcoëfficiënt                                 | $C_{pe}$      | -0.20  | --                |
|          | Interne druk coëfficiënt                                | $C_{pi}$      | -0.30  | --                |
|          | Externe en inwendige drukcoëfficiënt                    | $C_{net}$     | 0.10   | --                |
|          | Externe winddruk  | $W_e$         | -0.18  | kN/m <sup>2</sup> |
|          | Interne druk  | $W_i$         | -0.27  | kN/m <sup>2</sup> |
|          | Externe en inwendige druk - enkel verhogende lasten     | $W_{net}$     | -0.18  | kN/m <sup>2</sup> |
|          | BG10 - Wind Loodrecht op Wand 4 (D-A)   270°   Geval w+ |               |        |                   |
|          | Gebouwafmetingen  |               |        |                   |
|          | Constructie hoogte                                      | $h$           | 4.000  | m                 |
|          | Constructie breedte                                     | $b_1$         | 15.900 | m                 |
|          | Constructie breedte                                     | $b_2$         | 15.900 | m                 |
|          | Constructie diepte                                      | $d_1$         | 15.375 | m                 |
|          | Constructie diepte                                      | $d_2$         | 15.375 | m                 |
|          | Split afstand   | $e_{1,roof}$  | 8.000  | m                 |
|          | Split afstand   | $e_{2,roof}$  | 8.000  | m                 |
|          | Split afstand   | $e_{roof}$    | 8.000  | m                 |
|          | Split afstand   | $e_{1,walls}$ | 8.000  | m                 |
|          | Split afstand   | $e_{2,walls}$ | 8.000  | m                 |
|          | Split afstand   | $e_{walls}$   | 8.000  | m                 |
|          | Dak 1 helling   | $\alpha_1$    | 0.00   | deg               |

## 5.2.5

## WINDLASTEN - RESULTATEN

| Last Nr. | Omschrijving  | Symbol      | Waarde | Eenheid           |
|----------|---|-------------|--------|-------------------|
|          | Zone afmetingen                                     |             |        |                   |
|          | Zone A diepte                                       | $d_{A,1}$   | 1.600  | m                 |
|          | Zone A diepte                                       | $d_{A,2}$   | 1.600  | m                 |
|          | Zone B diepte                                       | $d_{B,1}$   | 6.400  | m                 |
|          | Zone B diepte                                       | $d_{B,2}$   | 6.400  | m                 |
|          | Zone C diepte                                       | $d_{C,1}$   | 7.375  | m                 |
|          | Zone C diepte                                       | $d_{C,2}$   | 7.375  | m                 |
|          | Zone F breedte                                      | $b_{F,1}$   | 2.000  | m                 |
|          | Zone F breedte                                      | $b_{F,2}$   | 2.000  | m                 |
|          | Zone F diepte                                       | $d_F$       | 0.800  | m                 |
|          | Zone G breedte                                      | $b_{G,1}$   | 11.900 | m                 |
|          | Zone G breedte                                      | $b_{G,2}$   | 11.900 | m                 |
|          | Zone G diepte                                       | $d_G$       | 0.800  | m                 |
|          | Zone H diepte                                       | $d_H$       | 3.200  | m                 |
|          | Zone I diepte                                       | $d_{I,1}$   | 11.375 | m                 |
|          | Zone I diepte                                       | $d_{I,2}$   | 11.375 | m                 |
|          | Snelheid druk                                       |             |        |                   |
|          | Piek snelheidsdruk                                  | $q_p(h)$    | 0.90   | kN/m <sup>2</sup> |
|          | Zone A  |             |        |                   |
|          | Externe drukcoëfficiënt                             | $C_{pe,1}$  | -1.20  | --                |
|          | Externe drukcoëfficiënt                             | $C_{pe,2}$  | -1.20  | --                |
|          | Interne druk coëfficiënt                            | $C_{pi}$    | -0.30  | --                |
|          | Externe en inwendige drukcoëfficiënt                | $C_{net,1}$ | -0.90  | --                |
|          | Externe en inwendige drukcoëfficiënt                | $C_{net,2}$ | -0.90  | --                |
|          | Externe winddruk                                    | $W_{e,1}$   | -1.08  | kN/m <sup>2</sup> |
|          | Externe winddruk                                    | $W_{e,2}$   | -1.08  | kN/m <sup>2</sup> |
|          | Interne druk  | $W_i$       | -0.27  | kN/m <sup>2</sup> |
|          | Externe en inwendige druk - enkel verhogende lasten | $W_{net,1}$ | -1.08  | kN/m <sup>2</sup> |
|          | Externe en inwendige druk - enkel verhogende lasten | $W_{net,2}$ | -1.08  | kN/m <sup>2</sup> |
|          | Zone B  |             |        |                   |
|          | Externe drukcoëfficiënt                             | $C_{pe,1}$  | -0.80  | --                |
|          | Externe drukcoëfficiënt                             | $C_{pe,2}$  | -0.80  | --                |
|          | Interne druk coëfficiënt                            | $C_{pi}$    | -0.30  | --                |
|          | Externe en inwendige drukcoëfficiënt                | $C_{net,1}$ | -0.50  | --                |
|          | Externe en inwendige drukcoëfficiënt                | $C_{net,2}$ | -0.50  | --                |
|          | Externe winddruk                                    | $W_{e,1}$   | -0.72  | kN/m <sup>2</sup> |
|          | Externe winddruk                                    | $W_{e,2}$   | -0.72  | kN/m <sup>2</sup> |
|          | Interne druk  | $W_i$       | -0.27  | kN/m <sup>2</sup> |
|          | Externe en inwendige druk - enkel verhogende lasten | $W_{net,1}$ | -0.72  | kN/m <sup>2</sup> |
|          | Externe en inwendige druk - enkel verhogende lasten | $W_{net,2}$ | -0.72  | kN/m <sup>2</sup> |
|          | Zone C  |             |        |                   |
|          | Externe drukcoëfficiënt                             | $C_{pe,1}$  | -0.50  | --                |
|          | Externe drukcoëfficiënt                             | $C_{pe,2}$  | -0.50  | --                |
|          | Interne druk coëfficiënt                            | $C_{pi}$    | -0.30  | --                |
|          | Externe en inwendige drukcoëfficiënt                | $C_{net,1}$ | -0.20  | --                |
|          | Externe en inwendige drukcoëfficiënt                | $C_{net,2}$ | -0.20  | --                |
|          | Externe winddruk                                    | $W_{e,1}$   | -0.45  | kN/m <sup>2</sup> |
|          | Externe winddruk                                    | $W_{e,2}$   | -0.45  | kN/m <sup>2</sup> |
|          | Interne druk  | $W_i$       | -0.27  | kN/m <sup>2</sup> |
|          | Externe en inwendige druk - enkel verhogende lasten | $W_{net,1}$ | -0.45  | kN/m <sup>2</sup> |
|          | Externe en inwendige druk - enkel verhogende lasten | $W_{net,2}$ | -0.45  | kN/m <sup>2</sup> |
|          | Zone D  |             |        |                   |
|          | Externe drukcoëfficiënt                             | $C_{pe}$    | 0.80   | --                |
|          | Interne druk coëfficiënt                            | $C_{pi}$    | -0.30  | --                |
|          | Externe en inwendige drukcoëfficiënt                | $C_{net}$   | 1.10   | --                |
|          | Externe winddruk                                    | $W_e$       | 0.61   | kN/m <sup>2</sup> |
|          | Interne druk  | $W_i$       | -0.27  | kN/m <sup>2</sup> |
|          | Externe en inwendige druk - enkel verhogende lasten | $W_{net}$   | 0.88   | kN/m <sup>2</sup> |
|          | Zone E  |             |        |                   |
|          | Externe drukcoëfficiënt                             | $C_{pe}$    | -0.50  | --                |
|          | Interne druk coëfficiënt                            | $C_{pi}$    | -0.30  | --                |
|          | Externe en inwendige drukcoëfficiënt                | $C_{net}$   | -0.20  | --                |
|          | Externe winddruk                                    | $W_e$       | -0.38  | kN/m <sup>2</sup> |
|          | Interne druk  | $W_i$       | -0.27  | kN/m <sup>2</sup> |
|          | Externe en inwendige druk - enkel verhogende lasten | $W_{net}$   | -0.38  | kN/m <sup>2</sup> |
|          | Zone F  |             |        |                   |
|          | Externe drukcoëfficiënt                             | $C_{pe}$    | -1.80  | --                |
|          | Interne druk coëfficiënt                            | $C_{pi}$    | -0.30  | --                |
|          | Externe en inwendige drukcoëfficiënt                | $C_{net}$   | -1.50  | --                |
|          | Externe winddruk                                    | $W_e$       | -1.62  | kN/m <sup>2</sup> |
|          | Interne druk  | $W_i$       | -0.27  | kN/m <sup>2</sup> |
|          | Externe en inwendige druk - enkel verhogende lasten | $W_{net}$   | -1.62  | kN/m <sup>2</sup> |

**MODEL**

5.2.5

**WINDLASTEN - RESULTATEN**

| Last Nr. | Omschrijving  | Symbool       | Waarde | Eenheid           |
|----------|---|---------------|--------|-------------------|
|          | Zone G  |               |        |                   |
|          | Externe drukcoëfficiënt                                 | $C_{pe}$      | -1.20  | --                |
|          | Interne druk coëfficiënt                                | $C_{pi}$      | -0.30  | --                |
|          | Externe en inwendige drukcoëfficiënt                    | $C_{net}$     | -0.90  | --                |
|          | Externe winddruk  | $W_e$         | -1.08  | kN/m <sup>2</sup> |
|          | Interne druk  | $W_i$         | -0.27  | kN/m <sup>2</sup> |
|          | Externe en inwendige druk - enkel verhogende lasten     | $W_{net}$     | -1.08  | kN/m <sup>2</sup> |
|          | Zone H  |               |        |                   |
|          | Externe drukcoëfficiënt                                 | $C_{pe}$      | -0.70  | --                |
|          | Interne druk coëfficiënt                                | $C_{pi}$      | -0.30  | --                |
|          | Externe en inwendige drukcoëfficiënt                    | $C_{net}$     | -0.40  | --                |
|          | Externe winddruk  | $W_e$         | -0.63  | kN/m <sup>2</sup> |
|          | Interne druk  | $W_i$         | -0.27  | kN/m <sup>2</sup> |
|          | Externe en inwendige druk - enkel verhogende lasten     | $W_{net}$     | -0.63  | kN/m <sup>2</sup> |
|          | Zone I  |               |        |                   |
|          | Externe drukcoëfficiënt                                 | $C_{pe}$      | 0.20   | --                |
|          | Interne druk coëfficiënt                                | $C_{pi}$      | -0.30  | --                |
|          | Externe en inwendige drukcoëfficiënt                    | $C_{net}$     | 0.50   | --                |
|          | Externe winddruk  | $W_e$         | 0.18   | kN/m <sup>2</sup> |
|          | Interne druk  | $W_i$         | -0.27  | kN/m <sup>2</sup> |
|          | Externe en inwendige druk - enkel verhogende lasten     | $W_{net}$     | 0.45   | kN/m <sup>2</sup> |
|          | BG11 - Wind Loodrecht op Wand 4 (D-A)   270°   Geval w- |               |        |                   |
|          | Gebouwafmetingen  |               |        |                   |
|          | Constructie hoogte                                      | $h$           | 4.000  | m                 |
|          | Constructie breedte                                     | $b_1$         | 15.900 | m                 |
|          | Constructie breedte                                     | $b_2$         | 15.900 | m                 |
|          | Constructie diepte                                      | $d_1$         | 15.375 | m                 |
|          | Constructie diepte                                      | $d_2$         | 15.375 | m                 |
|          | Split afstand   | $e_{1,roof}$  | 8.000  | m                 |
|          | Split afstand   | $e_{2,roof}$  | 8.000  | m                 |
|          | Split afstand   | $e_{roof}$    | 8.000  | m                 |
|          | Split afstand   | $e_{1,walls}$ | 8.000  | m                 |
|          | Split afstand   | $e_{2,walls}$ | 8.000  | m                 |
|          | Split afstand   | $e_{walls}$   | 8.000  | m                 |
|          | Dak 1 helling   | $\alpha_1$    | 0.00   | deg               |
|          | Zone afmetingen   |               |        |                   |
|          | Zone A diepte   | $d_{A,1}$     | 1.600  | m                 |
|          | Zone A diepte   | $d_{A,2}$     | 1.600  | m                 |
|          | Zone B diepte   | $d_{B,1}$     | 6.400  | m                 |
|          | Zone B diepte   | $d_{B,2}$     | 6.400  | m                 |
|          | Zone C diepte   | $d_{C,1}$     | 7.375  | m                 |
|          | Zone C diepte   | $d_{C,2}$     | 7.375  | m                 |
|          | Zone F breedte  | $b_{F,1}$     | 2.000  | m                 |
|          | Zone F breedte  | $b_{F,2}$     | 2.000  | m                 |
|          | Zone F diepte   | $d_F$         | 0.800  | m                 |
|          | Zone G breedte  | $b_{G,1}$     | 11.900 | m                 |
|          | Zone G breedte  | $b_{G,2}$     | 11.900 | m                 |
|          | Zone G diepte   | $d_G$         | 0.800  | m                 |
|          | Zone H diepte   | $d_H$         | 3.200  | m                 |
|          | Zone I diepte   | $d_{I,1}$     | 11.375 | m                 |
|          | Zone I diepte   | $d_{I,2}$     | 11.375 | m                 |
|          | Snelheid druk   |               |        |                   |
|          | Piek snelheidsdruk                                      | $q_p(h)$      | 0.90   | kN/m <sup>2</sup> |
|          | Zone A  |               |        |                   |
|          | Externe drukcoëfficiënt                                 | $C_{pe,1}$    | -1.20  | --                |
|          | Externe drukcoëfficiënt                                 | $C_{pe,2}$    | -1.20  | --                |
|          | Interne druk coëfficiënt                                | $C_{pi}$      | -0.30  | --                |
|          | Externe en inwendige drukcoëfficiënt                    | $C_{net,1}$   | -0.90  | --                |
|          | Externe en inwendige drukcoëfficiënt                    | $C_{net,2}$   | -0.90  | --                |
|          | Externe winddruk  | $W_{e,1}$     | -1.08  | kN/m <sup>2</sup> |
|          | Externe winddruk  | $W_{e,2}$     | -1.08  | kN/m <sup>2</sup> |
|          | Interne druk  | $W_i$         | -0.27  | kN/m <sup>2</sup> |
|          | Externe en inwendige druk - enkel verhogende lasten     | $W_{net,1}$   | -1.08  | kN/m <sup>2</sup> |
|          | Externe en inwendige druk - enkel verhogende lasten     | $W_{net,2}$   | -1.08  | kN/m <sup>2</sup> |
|          | Zone B  |               |        |                   |
|          | Externe drukcoëfficiënt                                 | $C_{pe,1}$    | -0.80  | --                |
|          | Externe drukcoëfficiënt                                 | $C_{pe,2}$    | -0.80  | --                |
|          | Interne druk coëfficiënt                                | $C_{pi}$      | -0.30  | --                |
|          | Externe en inwendige drukcoëfficiënt                    | $C_{net,1}$   | -0.50  | --                |
|          | Externe en inwendige drukcoëfficiënt                    | $C_{net,2}$   | -0.50  | --                |
|          | Externe winddruk  | $W_{e,1}$     | -0.72  | kN/m <sup>2</sup> |
|          | Externe winddruk  | $W_{e,2}$     | -0.72  | kN/m <sup>2</sup> |
|          | Interne druk  | $W_i$         | -0.27  | kN/m <sup>2</sup> |



## MODEL

## 5.2.5

## WINDLASTEN - RESULTATEN

| Last Nr. | Omschrijving  | Symbool     | Waarde | Eenheid           |
|----------|---|-------------|--------|-------------------|
|          | Externe en inwendige druk - enkel verhogende lasten | $W_{net,1}$ | -0.72  | kN/m <sup>2</sup> |
|          | Externe en inwendige druk - enkel verhogende lasten | $W_{net,2}$ | -0.72  | kN/m <sup>2</sup> |
|          | Zone C  |             |        |                   |
|          | Externe drukcoëfficiënt                             | $C_{pe,1}$  | -0.50  | --                |
|          | Externe drukcoëfficiënt                             | $C_{pe,2}$  | -0.50  | --                |
|          | Interne druk coëfficiënt                            | $C_{pi}$    | -0.30  | --                |
|          | Externe en inwendige drukcoëfficiënt                | $C_{net,1}$ | -0.20  | --                |
|          | Externe en inwendige drukcoëfficiënt                | $C_{net,2}$ | -0.20  | --                |
|          | Externe winddruk                                    | $W_{e,1}$   | -0.45  | kN/m <sup>2</sup> |
|          | Externe winddruk                                    | $W_{e,2}$   | -0.45  | kN/m <sup>2</sup> |
|          | Interne druk  | $W_i$       | -0.27  | kN/m <sup>2</sup> |
|          | Externe en inwendige druk - enkel verhogende lasten | $W_{net,1}$ | -0.45  | kN/m <sup>2</sup> |
|          | Externe en inwendige druk - enkel verhogende lasten | $W_{net,2}$ | -0.45  | kN/m <sup>2</sup> |
|          | Zone D  |             |        |                   |
|          | Externe drukcoëfficiënt                             | $C_{pe}$    | 0.80   | --                |
|          | Interne druk coëfficiënt                            | $C_{pi}$    | -0.30  | --                |
|          | Externe en inwendige drukcoëfficiënt                | $C_{net}$   | 1.10   | --                |
|          | Externe winddruk                                    | $W_e$       | 0.61   | kN/m <sup>2</sup> |
|          | Interne druk  | $W_i$       | -0.27  | kN/m <sup>2</sup> |
|          | Externe en inwendige druk - enkel verhogende lasten | $W_{net}$   | 0.88   | kN/m <sup>2</sup> |
|          | Zone E  |             |        |                   |
|          | Externe drukcoëfficiënt                             | $C_{pe}$    | -0.50  | --                |
|          | Interne druk coëfficiënt                            | $C_{pi}$    | -0.30  | --                |
|          | Externe en inwendige drukcoëfficiënt                | $C_{net}$   | -0.20  | --                |
|          | Externe winddruk                                    | $W_e$       | -0.38  | kN/m <sup>2</sup> |
|          | Interne druk  | $W_i$       | -0.27  | kN/m <sup>2</sup> |
|          | Externe en inwendige druk - enkel verhogende lasten | $W_{net}$   | -0.38  | kN/m <sup>2</sup> |
|          | Zone F  |             |        |                   |
|          | Externe drukcoëfficiënt                             | $C_{pe}$    | -1.80  | --                |
|          | Interne druk coëfficiënt                            | $C_{pi}$    | -0.30  | --                |
|          | Externe en inwendige drukcoëfficiënt                | $C_{net}$   | -1.50  | --                |
|          | Externe winddruk                                    | $W_e$       | -1.62  | kN/m <sup>2</sup> |
|          | Interne druk  | $W_i$       | -0.27  | kN/m <sup>2</sup> |
|          | Externe en inwendige druk - enkel verhogende lasten | $W_{net}$   | -1.62  | kN/m <sup>2</sup> |
|          | Zone G  |             |        |                   |
|          | Externe drukcoëfficiënt                             | $C_{pe}$    | -1.20  | --                |
|          | Interne druk coëfficiënt                            | $C_{pi}$    | -0.30  | --                |
|          | Externe en inwendige drukcoëfficiënt                | $C_{net}$   | -0.90  | --                |
|          | Externe winddruk                                    | $W_e$       | -1.08  | kN/m <sup>2</sup> |
|          | Interne druk  | $W_i$       | -0.27  | kN/m <sup>2</sup> |
|          | Externe en inwendige druk - enkel verhogende lasten | $W_{net}$   | -1.08  | kN/m <sup>2</sup> |
|          | Zone H  |             |        |                   |
|          | Externe drukcoëfficiënt                             | $C_{pe}$    | -0.70  | --                |
|          | Interne druk coëfficiënt                            | $C_{pi}$    | -0.30  | --                |
|          | Externe en inwendige drukcoëfficiënt                | $C_{net}$   | -0.40  | --                |
|          | Externe winddruk                                    | $W_e$       | -0.63  | kN/m <sup>2</sup> |
|          | Interne druk  | $W_i$       | -0.27  | kN/m <sup>2</sup> |
|          | Externe en inwendige druk - enkel verhogende lasten | $W_{net}$   | -0.63  | kN/m <sup>2</sup> |
|          | Zone I  |             |        |                   |
|          | Externe drukcoëfficiënt                             | $C_{pe}$    | -0.20  | --                |
|          | Interne druk coëfficiënt                            | $C_{pi}$    | -0.30  | --                |
|          | Externe en inwendige drukcoëfficiënt                | $C_{net}$   | 0.10   | --                |
|          | Externe winddruk                                    | $W_e$       | -0.18  | kN/m <sup>2</sup> |
|          | Interne druk  | $W_i$       | -0.27  | kN/m <sup>2</sup> |
|          | Externe en inwendige druk - enkel verhogende lasten | $W_{net}$   | -0.18  | kN/m <sup>2</sup> |

## 6 Lasten

## 6.1.1

## VLAKLASTEN

## BG1: Eigen Gewicht + Per...

G

| Last Nr. | Vlakken Nr. | Last Type | Last Richting | Coord. Stelsel | Last Richting  | Symbool | Parameters Waarde | Eenheid           |
|----------|-------------|-----------|---------------|----------------|----------------|---------|-------------------|-------------------|
| 1        | 1           | Kracht    | Gelijkmatig   | 1              | Z <sub>A</sub> | p       | 1.80              | kN/m <sup>2</sup> |

## 6.1.2 BG1: BELASTING, IN AXONOMETRISCHE RICHTING

Zichtbaarheidsmodus

BG1 - Eigen Gewicht + Permanent

Lasten [kN/m], [kN/m<sup>2</sup>]

In Axonometrische Richting

Kleuren van weergegeven objecten

Knoop | Beeldscherm eigenschappen

Lijn | Beeldscherm eigenschappen

Staal | Doorsnede

1 - SHS 140x140x5

2 - IPE 400

3 - R\_M1 400/500

4 - HE 140 A

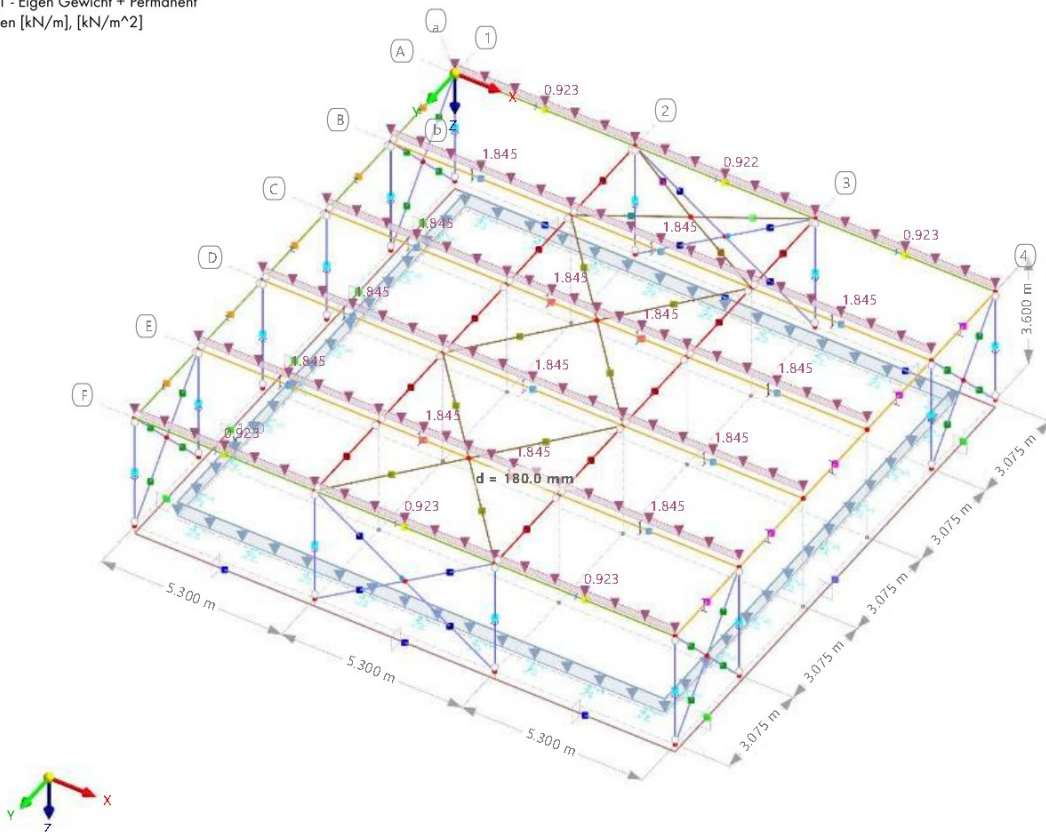
5 - CHS 76.1x3

6 - FL 60x8

7 - L 60x60x6

Vlak | Materiaal

2 - C30/37



## 6.2.1 BG2: BELASTING, IN AXONOMETRISCHE RICHTING

Zichtbaarheidsmodus

BG2 - Sneeuw

Lasten [kN/m]

In Axonometrische Richting

Kleuren van weergegeven objecten

Knoop | Beeldscherm eigenschappen

Lijn | Beeldscherm eigenschappen

Staal | Doorsnede

1 - SHS 140x140x5

2 - IPE 400

3 - R\_M1 400/500

4 - HE 140 A

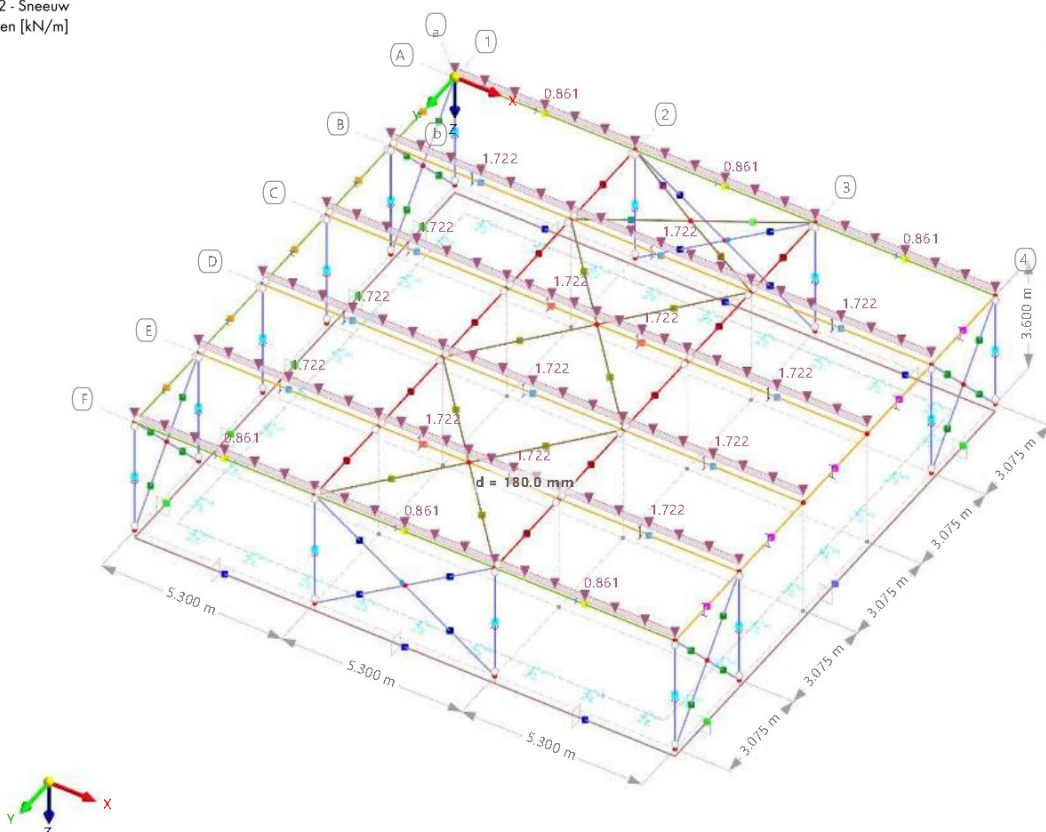
5 - CHS 76.1x3

6 - FL 60x8

7 - L 60x60x6

Vlak | Materiaal

2 - C30/37





## 6.3.1 BG3: BELASTING, IN AXONOMETRISCHE RICHTING

Zichtbaarheidsmodus

BG3 - Wind Loodrecht op Wand 1 (A-B) | 0° | Geval w+  
Lasten [kN/m]

In Axonometrische Richting

Kleuren van weergegeven objecten

Knoop | Beeldscherm eigenschappen

Lijn | Beeldscherm eigenschappen

Staal | Doorsnede

1 - SHS 140x140x5

2 - IPE 400

3 - R\_M1 400/500

4 - HE 140 A

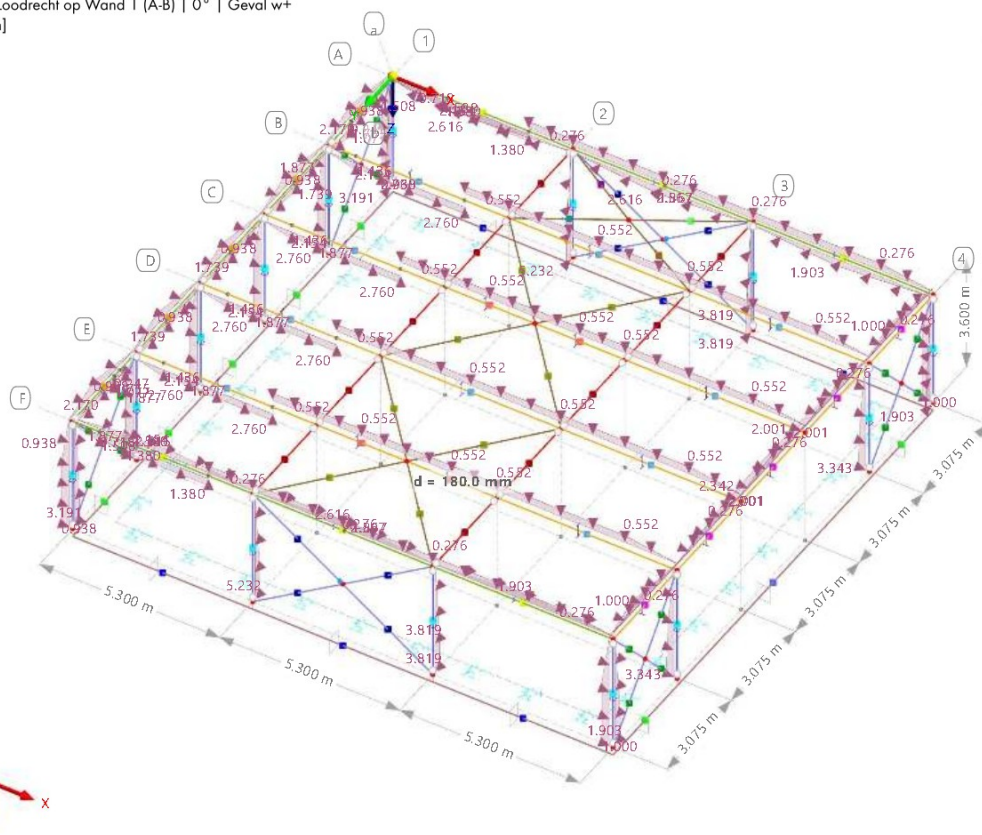
5 - CHS 76.1x3

6 - FL 60x8

7 - L 60x60x6

Vlak | Materiaal

2 - C30/37



## 6.4.1 BG4: BELASTING, IN AXONOMETRISCHE RICHTING

Zichtbaarheidsmodus

BG4 - Wind Loodrecht op Wand 1 (A-B) | 0° | Geval w-  
Lasten [kN/m]

In Axonometrische Richting

Kleuren van weergegeven objecten

Knoop | Beeldscherm eigenschappen

Lijn | Beeldscherm eigenschappen

Staal | Doorsnede

1 - SHS 140x140x5

2 - IPE 400

3 - R\_M1 400/500

4 - HE 140 A

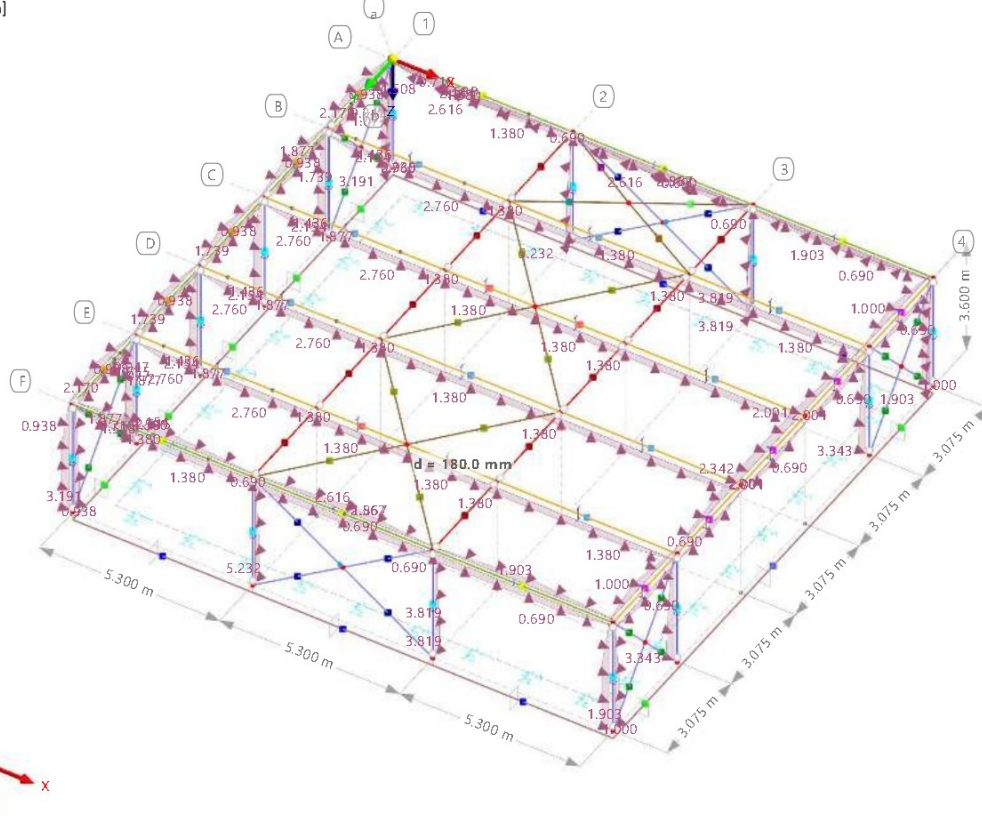
5 - CHS 76.1x3

6 - FL 60x8

7 - L 60x60x6

Vlak | Materiaal

2 - C30/37



## 6.5.1

## BG5: BELASTING, IN AXONOMETRISCHE RICHTING

Zichtbaarheidsmodus

BG5 - Wind Loodrecht op Wand 2 (B-C) | 90° | Geval w+  
Lasten [kN/m]

In Axonometrische Richting

## Kleuren van weergegeven objecten

Knoop | Beeldscherm eigenschappen

Lijn | Beeldscherm eigenschappen

Staal | Doorsnede

1 - SHS 140x140x5

2 - IPE 400

3 - R\_M1 400/500

4 - HE 140 A

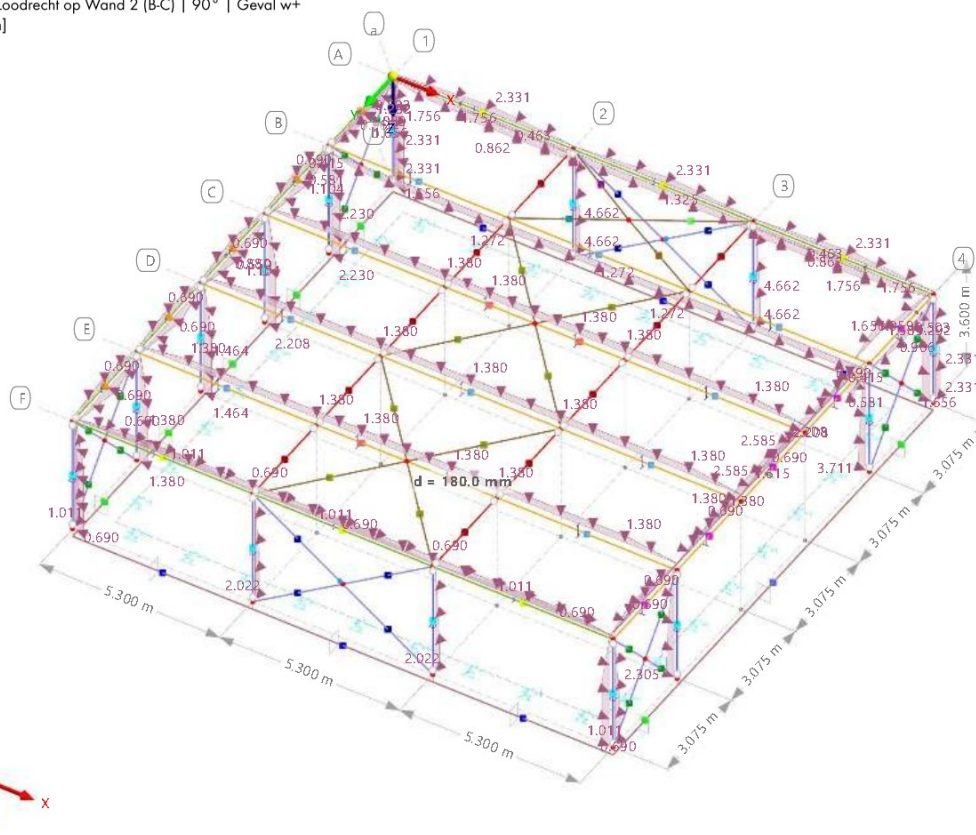
5 - CHS 76.1x3

6 - FL 60x8

7 - L 60x60x6

Vlak | Materiaal

2 - C30/37



## 6.6.1

## BG6: BELASTING, IN AXONOMETRISCHE RICHTING

Zichtbaarheidsmodus

BG6 - Wind Loodrecht op Wand 2 (B-C) | 90° | Geval w-  
Lasten [kN/m]

In Axonometrische Richting

## Kleuren van weergegeven objecten

Knoop | Beeldscherm eigenschappen

Lijn | Beeldscherm eigenschappen

Staal | Doorsnede

1 - SHS 140x140x5

2 - IPE 400

3 - R\_M1 400/500

4 - HE 140 A

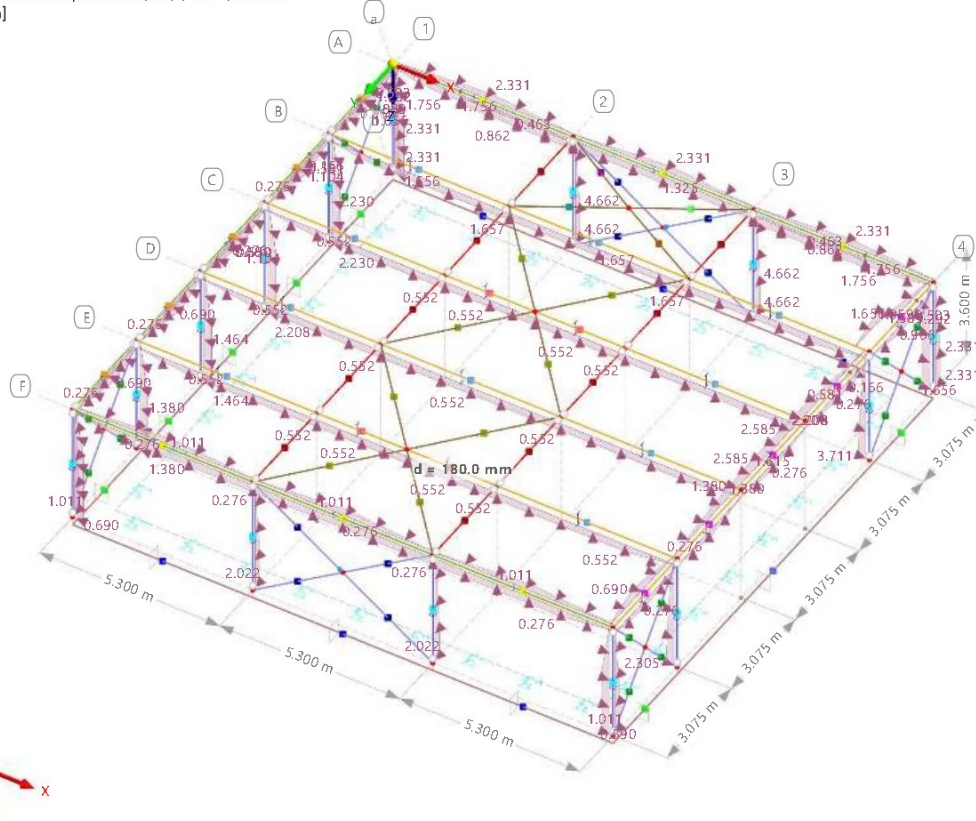
5 - CHS 76.1x3

6 - FL 60x8

7 - L 60x60x6

Vlak | Materiaal

2 - C30/37





## BELASTINGEN

## 6.7.1

## KNOOPLASTEN

BG7: personen

QI H

| Last Nr. | Op Knopen Nr. | Last Type | Coord. Stelsel | Richting | Symbol | Lastparameters Waarde | Eenheid |
|----------|---------------|-----------|----------------|----------|--------|-----------------------|---------|
| 1        | 472,476       | Kracht    | 1              | Z        | Fz     | 2.000                 | kN      |

## 6.7.2

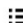
## STA AFLASTEN

BG7: personen

QI H

| Last Nr. | Staven Nr. | Last Type | Last Richting  | Coord. Stelsel | Last Richting  | Symbol         | Parameters Waarde | Eenheid | Opties  |
|----------|------------|-----------|----------------|----------------|----------------|----------------|-------------------|---------|---|
| 1        | 2,89-91    | Kracht    | Trapez. vormig | 1              | Z <sub>L</sub> | A              | 5.300             | m       |  |
|          |            |           |                |                |                | B              | 10.600            | m       |   |
|          |            |           |                |                |                | p <sub>1</sub> | 3.075             | kN/m    |   |
|          |            |           |                |                |                | p <sub>2</sub> | 3.075             | kN/m    |   |
| 2        | 9,97,98    | Kracht    | Trapez. vormig | 1              | Z <sub>L</sub> | A              | 5.300             | m       |  |
|          |            |           |                |                |                | B              | 10.600            | m       |   |
|          |            |           |                |                |                | p <sub>1</sub> | 1.550             | kN/m    |   |
|          |            |           |                |                |                | p <sub>2</sub> | 1.550             | kN/m    |   |

## Legenda

 Verwijzing naar lijst van staven

## 6.7.3

## BG7: BELASTING, IN AXONOMETRISCHE RICHTING

Zichtbaarheidsmodus  
BG7 - personen  
Lasten [kN], [kN/m]

In Axonometrische Richting

## Kleuren van weergegeven objecten

Knoop | Beeldscherm eigenschappen

Lijn | Beeldscherm eigenschappen

Staal | Doorsnede

1 - SHS 140x140x5

2 - IPE 400

3 - R\_M1 400/500

4 - HE 140 A

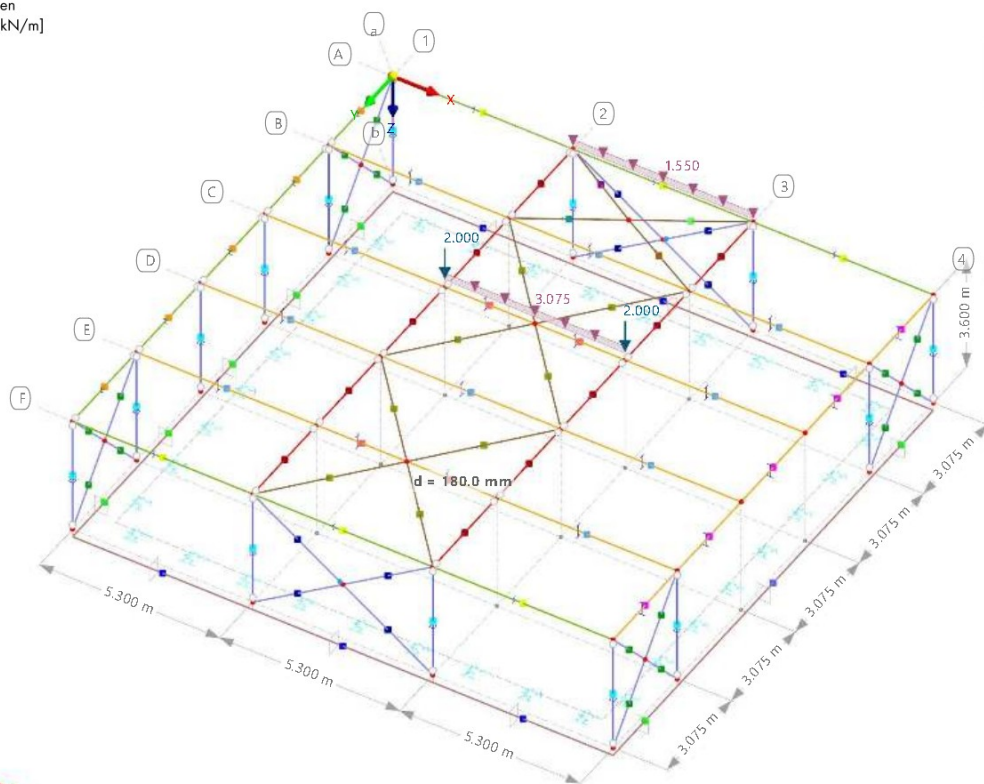
5 - CHS 76.1x3

6 - FL 60x8

7 - L 60x60x6

Vlak | Materiaal

2 - C30/37



2 - C30/37



## 6.10.1 BG10: BELASTING, IN AXONOMETRISCHE RICHTING

Zichtbaarheidsmodus

BG10 - Wind Loodrecht op Wand 4 (D-A) | 270° | Geval w+  
Lasten [kN/m]

In Axonometrische Richting

## Kleuren van weergegeven objecten

Knoop | Beeldscherm eigenschappen

Lijn | Beeldscherm eigenschappen

Staal | Doorsnede

1 - SHS 140x140x5

2 - IPE 400

3 - R\_M1 400/500

4 - HE 140 A

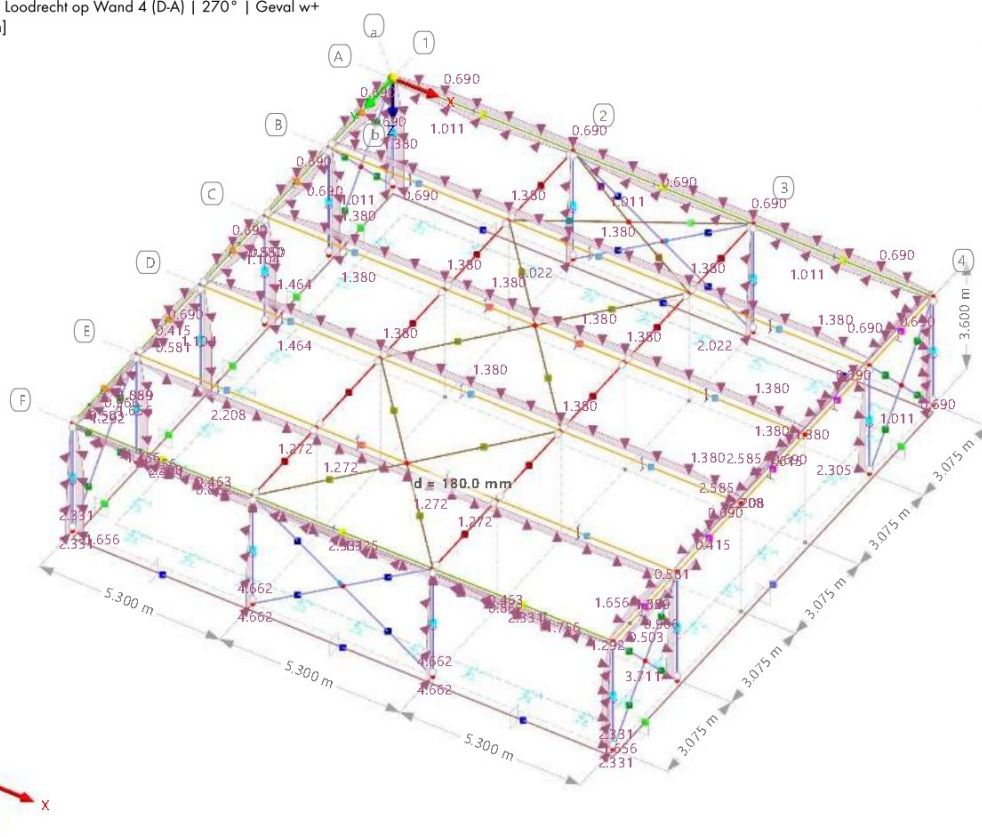
5 - CHS 76.1x3

6 - FL 60x8

7 - L 60x60x6

Vlak | Materiaal

2 - C30/37



## 6.11.1 BG11: BELASTING, IN AXONOMETRISCHE RICHTING

Zichtbaarheidsmodus

BG11 - Wind Loodrecht op Wand 4 (D-A) | 270° | Geval w-  
Lasten [kN/m]

In Axonometrische Richting

## Kleuren van weergegeven objecten

Knoop | Beeldscherm eigenschappen

Lijn | Beeldscherm eigenschappen

Staal | Doorsnede

1 - SHS 140x140x5

2 - IPE 400

3 - R\_M1 400/500

4 - HE 140 A

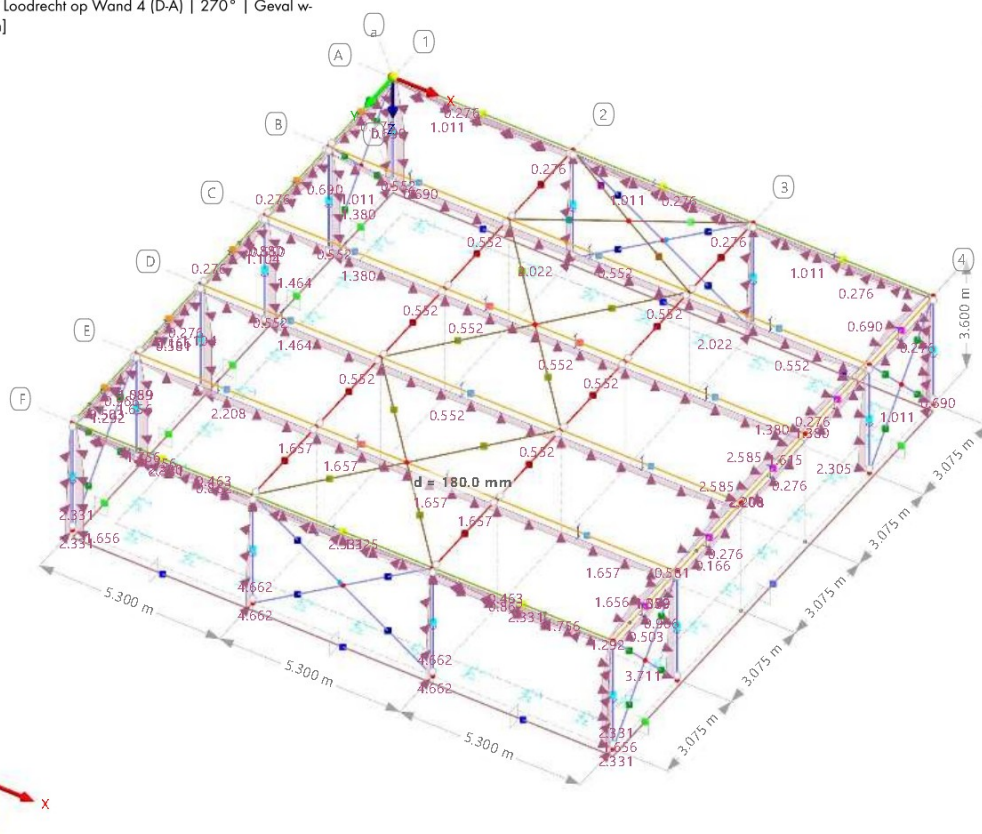
5 - CHS 76.1x3

6 - FL 60x8

7 - L 60x60x6

Vlak | Materiaal

2 - C30/37



## BELASTINGEN

## 6.12.1

## VLAKLASTEN

BG16: Veranderlijk b.g.

QI D

| Last Nr. | Vlakken Nr. | Last Type | Last Richting | Coord. Stelsel | Last Richting  | Symbol | Parameters Waarde | Eenheid           |
|----------|-------------|-----------|---------------|----------------|----------------|--------|-------------------|-------------------|
| 1        | 1           | Kracht    | Gelijkmatig   | 1              | Z <sub>A</sub> | p      | 4.00              | kN/m <sup>2</sup> |

## 6.12.2

## VRIJE GECONCENTREERDE LASTEN

BG16: Veranderlijk b.g.

QI D

| Last Nr. | Vlakken Nr. | Last Type | Coord. Stelsel | Last Projectie | Last Richting | Symbol | Parameters Waarde | Eenheid | Regio waarin Belasting werkt Vanaf [m] | Tot [m] |
|----------|-------------|-----------|----------------|----------------|---------------|--------|-------------------|---------|--|---------|
| 1        | 1           | Kracht    | 1              | XY Vlak        | Z             | P      | 10.000            | kN      | -∞                                     | +∞      |
|          |             |           |                |                |               | X      | 10.600            | m       |  |         |
|          |             |           |                |                |               | Y      | 3.075             | m       |  |         |

## 6.12.3

## VRIJE RECHTHOEKIGE LASTEN

BG16: Veranderlijk b.g.

QI D

| Last Nr. | Vlakken Nr. | Last Richting | Coord. Stelsel | Last Projectie | Last Richting  | Parameters [kN/m <sup>2</sup> ] | p | p <sub>1</sub> | p <sub>2</sub> |
|----------|-------------|---------------|----------------|----------------|----------------|---------------------------------|---|----------------|----------------|
| 1        |             | Gelijkmatig   | 1              | XY Vlak        | Z <sub>A</sub> | 10.00                           |   |                |                |
| 2        |             | Gelijkmatig   | 1              | XY Vlak        | Z <sub>A</sub> | 10.00                           |   |                |                |
| 3        | 1           | Gelijkmatig   | 1              | XY Vlak        | Z <sub>A</sub> | 5.00                            |   |                |                |
| 4        |             | Gelijkmatig   | 1              | XY Vlak        | Z <sub>A</sub> | 10.00                           |   |                |                |

## 6.12.4

## BG16: BELASTING, IN AXONOMETRISCHE RICHTING

Zichtbaarheidsmodus  
BG16 - Veranderlijk b.g.  
Lasten [kN], [kN/m<sup>2</sup>]

In Axonometrische Richting

## Kleuren van weergegeven objecten

Knoop | Beeldscherm eigenschappen

Lijn | Beeldscherm eigenschappen

Staal | Doorsnede

1 - SHS 140x140x5

2 - IPE 400

3 - R\_M1 400/500

4 - HE 140 A

5 - CHS 76.1x3

6 - FL 60x8

7 - L 60x60x6

Vlak | Materiaal

2 - C30/37

